

Ing. František V O J T A

Simulace brzdění automobilu s regulátorem brzdné síly

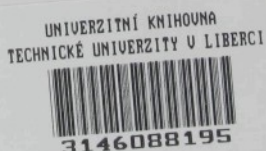
Kandidátská disertační práce

U 259 S

VYSOKÁ ŠKOLA STROJNÍ A TEXTILNÍ  
Ústřední knihovna  
LIBEREC 1, STUDENTSKÁ 6  
PSČ 461 17

Vědní obor : 23 - 01 - 9

Části strojů a mechanizmů



Obsah

Přehled označení .....	3
Úvod .....	7
a) Přehled o současném stavu řešení problematiky, která je předmětem disertace a odborné literatury, jež se zabývá zkoumanými otázkami .....	7
b) Cíl disertace .....	9
c) Izvolené metody zpracování .....	10
1.0. Simulační model vozidla .....	11
1.1. Výchozí předpoklady pro návrh modelu .....	11
1.2. Mechanický model vozidla .....	12
1.3. Základní matematický model vozidla .....	13
1.4. Metoda výpočtu při simulaci .....	14
1.5. Blokové schema simulačního obvodu .....	15
2.0. Akční člen v systému brzdy .....	16
2.1. Mechanický model akčního člena .....	16
2.2. Matematický model akčního člena .....	17
2.3. Blokové schema výpočtu akčního zásahu .....	19
3.0. Brzdový moment .....	21
3.1. Náběh brzdového momentu .....	21
3.2. Odbrzdrování akčním členem .....	22
4.0. Skluzové charakteristiky třecí dvojice pneumatika-vozovka .....	25
4.1. Výpočet přilnavosti v průběhu simulace .....	25
5.0. Definice regulační odchylky při brzdění .....	28
6.0. Regulátor PID .....	31
7.0. Kriteria kvality regulace .....	32
8.0. Historie vzniku simulačního modelu .....	34
9.0. Počítačový program pro simulaci brzdného procesu .....	35
9.1. Přehled řešených rovnic a jejich realizace v programu .....	35
9.2. Krok výpočtu .....	35
9.3. Vstupní data .....	35
9.4. Manipulace s programem .....	39
9.5. Uložení vypočtených hodnot na magnetickou pásku .....	42
9.6. Interní význam a požití proměnných v programu .....	43
9.7. Program tisku tabulek vybraných funkcí .....	44
9.8. Program tisku grafických průběhů vybraných funkcí .....	46
Závěr .....	48
a) Výsledky disertace s uvedením nových poznatků .....	48
b) Konkrétní závěry pro realizaci ve společenské praxi .....	49
c) Konkrétní závěry pro další rozvoj vědy .....	49
Literatura .....	50
Seznam příloh .....	51
Poznámky .....	51

Přehled označení

- b<sub>v</sub> - translační zrychlení (zpoždění) vozidla
- b<sub>v</sub> - střední hodnota translačního zrychlení (zpoždění) vozidla v průběhu simulace
- c<sub>3</sub> - tuhost brzdové soustavy před hlavním brzdovým válcem
- c<sub>y</sub> - tuhost brzdové soustavy v mechanickém modelu akčního členu
- c<sub>y1</sub> - tuhost brzdové soustavy před pístem akčního členu
- c<sub>y2</sub> - tuhost brzdové soustavy za pístem akčního členu
- C<sub>1</sub> -
- C<sub>2</sub> -
- C<sub>3</sub> - } konstanty stavových rovnic akčního zásahu
- C<sub>4</sub> -
- C<sub>5</sub> -
- C<sub>6</sub> -
- D - zesílení derivační složky regulátoru PID
- e - základ přirozených logaritmů  $2,71828\dots$
- f<sub>i</sub> - funkce momentové rovnováhy na nápravě vozidla
- f<sub>ii</sub> - upravená funkce momentové rovnováhy na nápravě vozidla
- f<sub>bv</sub> - funkce translačního zpoždění vozidla
- f<sub>N</sub> - obecná časová funkce pro náběh brzdového momentu
- f<sub>v</sub> - obecná objemová charakteristika brzdy
- F - hodnota funkce přilnavosti vypočtená lineární interpolací tabulky v nalezené oblasti pro (viz.  $\lambda$ , v)
- F<sub>1</sub> -
- F<sub>2</sub> -
- F<sub>A</sub> - } hodnoty funkce přilnavosti v krajních bodech nalezené
- F<sub>B</sub> - oblasti  $\lambda_2 \leq \lambda \leq \lambda_3 \quad v_2 \leq v \leq v_3$
- F<sub>C</sub> -
- F<sub>D</sub> -

F( $\lambda_i$ , vv) - funkce přilnavosti pneumatika-vozovka

- g - tíhové zrychlení
- G - váha vozidla
- h - výška těžiště vozidla nad vozovkou v klidovém stavu
- I - zesílení integrační složky regulátoru PID
- I<sub>i</sub> - moment setrvačnosti kola
- k - konstanta úměrnosti při lineární a kvadratické objemové charakteristice brzdy (vztah mezi vytlačeným objemem a tlakem v brzdě)
- k<sub>1</sub> - konstanta úměrnosti při lineární závislosti zdvihu hlavního brzdového válce a vytlačeného objemu

- $k_2$  - konstanta úměrnosti při lineární závislosti zdvihu akčního členu a vytlačeného objemu
- $k_3$  - konstanta úměrnosti při lineární tlakové charakteristice brzdy (vztah mezi tlakem v brzdě a brzdovým momentem)
- $K_{ACK}$  - konstanta při výpočtu odbrždovacího momentu akčního členu (kvadratická objemová charakteristika brzdy)
- $K_{ACL}$  - konstanta při výpočtu odbrždovacího momentu akčního členu (lineární objemová charakteristika brzdy)
- $k_B$  - koeficient přebrzdění přední nápravy k zadní nápravě
- $k_i$  - konstanty v definicích regulační odchylky při brzdění, konstanty úměrnosti pro tlakovou charakteristiku brzdy
- $k_{Pi}$  - koeficient přebytku síly elektromagnetu akčního členu
- $k_y$  - konstanta tlumení v brzdovém systému
- $l$  - rozvor náprav vozidla
- $l_1$  - vzdálenost těžiště vozidla od přední nápravy
- $l_2$  - vzdálenost těžiště vozidla od zadní nápravy
- $m$  - hmotnost vozidla
- $m_{AC}$  - hmotnost pístu akčního členu
- $m_n$  - hmotnost pístové soustavy hlavního brzdového válce
- $M$  - počet rychlostních řezů v tabulce funkce přilnavosti
- $M_{ACi}$  - odbrždění vyvolané akčním zásahem
- $M_{Bi}$  - okamžitý brzdný moment
- $\bar{M}_B$  - střední poměrný brzdový moment v průběhu simulace
- $M_{Ni}$  - okamžitý nášlapový brzdový moment
- $\Delta M_N$  - přírůstek nášlapového brzdového momentu v intervalu  $\Delta t$  při číslicové simulaci (viz. časový krok výpočtu)
- $M_{NiMAX}$  - maximální nášlapový brzdový moment po době náběhu  $t_B$
- $M_{Si}$  - setrvačníkový moment kola
- $M_{Ti}$  - třecí moment na kole
- $M_{Vi}$  - moment odporu valení
- $N$  - počet bodů v řádce tabulky funkce přilnavosti  
(počet bodů v rychlostním řezu funkce přilnavosti)
- $N_M$  - norma brzdného momentu pro poměrné hodnoty akčního zásahu
- $\Delta P_{AC}$  - rozdíl tlaku v brzdě vytvořený zásahem akčního členu
- $P_B$  - tlak v kolovém válečku (viz. okamžitý brzdový moment)
- $P_{max}$  - maximální tlak v brzdové soustavě při kvadratické objemové charakteristice brzdy
- $P_N$  - tlak v brzdové soustavě, vzniklý nášlapem brzového pedálu
- $p_i$  - tlaky v brzdovém systému před akčním zásahem
- $p_{io}$  - tlaky v brzdovém systému při akčním zásahu
- $P$  - síla elektromagnetu akčního členu,  
proporcionální zesílení regulátoru PID

- P<sub>oi</sub> - předpětí vratné pružiny pístu akčního členu  
P<sub>B</sub> - síla tuhosti brzdové soustavy  
P<sub>L</sub> - tlumící síla v brzdovém systému  
P<sub>max</sub> - maximální síla elektromagnetu akčního členu  
P<sub>Ti</sub> - třecí síla při pohybu pístu akčního členu (pasivní odpor)  
r<sub>ci</sub> - poloměr valivého odporu kola  
r<sub>di</sub> - dynamický poloměr kola (poloměr působení třecího momentu)  
R<sub>aci</sub> - regulační rozsah (objemová účinnost) akčního členu  
s - brzdná dráha  
S - pomocná proměnná stavové rovnice akčního zásahu  
  
 $s_x^2$  - rozptyl skluzu kola  
  
 $s_{MB}^2$  - rozptyl poměrného brzdového momentu  
t - čas  
 $\Delta t$  - časový krok výpočtu při simulaci  
t<sub>B</sub> - doba náběhu brzdového momentu  
t<sub>i</sub> - časová souřadnice inflexního bodu přechodové funkce  
t<sub>R</sub> - doba brzdění do odstavení regulátoru  
t<sub>Z</sub> - doba brzdění do zastavení vozidla  
T<sub>1</sub> - časová konstanta přechodové funkce soustavy akčního členu  
T<sub>2</sub> - časová konstanta přechodové funkce soustavy akčního členu  
T<sub>d</sub> - dopravní zpoždění přechodové funkce soustavy akčního členu  
T<sub>m</sub> - doplňková doba přechodu přechodové funkce  
T<sub>n</sub> - doba náběhu přechodové funkce  
T<sub>p</sub> - doba přechodu přechodové funkce  
T<sub>u</sub> - doba průtahu přechodové funkce  
u(t) - výstupní signál z regulátoru PID  
          (signál pro vybuzení elektromagnetu akčního členu)  
v<sub>0</sub> - počáteční translační rychlosť vozidla před nášlapem brzdy  
v - okamžitá translační rychlosť vozidla - vstup interpolace  
v<sub>2</sub> - } translační rychlosť vozidla ve dvou sousedních  
v<sub>3</sub> - } rychlostních řezech tabulky přilnavosti  
v<sub>Ki</sub> - obvodová rychlosť kola  
v<sub>v</sub> - translační rychlosť vozidla  
  
v<sub>v</sub> - translační rychlosť vozidla měřená při brzdění reálného  
          systému  
 $\Delta V_1$  - objem brzdové kapaliny vytlačený akčním členem  
          v mechanickém modelu  
 $\Delta V_2$  - objem brzdové kapaliny vytlačený hlavním brzdovým válcem  
          v mechanickém modelu  
V<sub>max</sub> - maximální objem vytlačený hlavním brzdovým válcem při  
          kvadratické objemové charakteristice brzdy

- $V_N$  - objem vytlačený hlavním brzdovým válcem při zvoleném  
 nášlapovém brzdovém momentu  
 $V_{AC}$  - objem vytlačený akčním členem v matematickém modelu  
 $w$  - řídící veličina výkonové regulace  
 $\Delta x_i$  - regulační odchylka vypočtená dle zadáné definice  
 $y(t)$  - přechodová funkce zdvihu akčního členu v matematickém modelu  
 $y_{AC}$  - zdvih akčního členu v matematickém modelu  
 $y_i(t_i)$  - hodnota přechodové funkce v inflexním bodě  
 $Y_{ACi}$  - poměrný zdvih akčního členu
- 

- $\epsilon_i$  - úhlové zrychlění kola  
 $\lambda_i$  - skluz kola, t.j. doplněk podílu obvodové rychlosti kola  
 k translační rychlosti vozidla  
 $\lambda$  - okamžitá hodnota skluzu - vstup do interpolace  
 $\bar{\lambda}$  - střední hodnota skluzu kola v průběhu simulace  
 $\lambda_2$  - } skluz kola ve dvou sousedních skluzových  
 $\lambda_3$  - } řezech tabulky přilnavosti  
 $\left(\frac{d\bar{\lambda}}{dt}\right)^2$  - střední kvadratická změna skluzu kola  
 $\bar{\mu}$  - střední hodnota přilnavosti v průběhu simulace  
 $\mu_i$  - přilnavost třecí dvojice pneumatika-vozovka jako hodnota  
 funkce  $F(\lambda, vv)$  pro určité  $\lambda$  a  $vv$   
 $\omega_i$  - úhlová rychlosť kola

### Indexy

- $i$  - index nápravy vozidla, indexy konstant regulační odchylky,  
 indexy pro tlaky a tuhosti v brzdovém systému před a za  
 pístem akčního členu, označení souřadnice inflexního bodu  
 $j$  - index kroku výpočtu  
 $k$  - indexy rychlostních řezů v tabulce funkce přilnavosti  
 $n$  - indexy bodů  $\lambda$  v tabulce funkce přilnavosti  $F(\lambda, vv)$

## Ú V O D

Při řešení problémů z oblasti ovlivňování vlastností dynamických soustav je neodmyslitelnou etapou ověřování výsledků na modelech. Modelovými zkouškami lze ověřit správnost teoretických předpokladů a závěry pro další postup řešení. Simulační modely umožňují určit optimální parametry pro následnou konstrukci dílů a podsystémů, tj. v podstatě definovat požadované dynamické vlastnosti jednotlivých konstrukčních bloků a celků. Lze tak předem vyloučit taková konstrukční řešení, která nesplňují požadované dynamické vlastnosti.

Simulační modely jsou tedy efektivním nástrojem pro racionalizaci výzkumně vývojové a konstrukční práce, umožňují bezrizikové ověřování vlastností dynamických systémů a přinášejí významné ekonomické efekty v procesu výzkum-vývoj-konstrukce-výroba-užití.

Regulace brzdných sil je rozsáhlý soubor dílčích vývojových úkolů, zejména z oblasti konstrukční. Tyto úkoly mezi sebou vzájemně úzce souvisí prostřednictvím požadovaných dynamických vlastností, ověřovaných simulací na počítači.

Předkládaná práce se zabývá dílčí částí úkolu "Problematika protiblokovacího brzdového systému silničních motorových vozidel", řešeného v n.p Autobrzdý Jablonec v rámci oborového úkolu č. 02 288.

Výchozím teoretickým materiálem pro sestavení simulačního modelu jsou výzkumné zprávy vedoucího úkolu Ing. Barbory /1/, /2/, /3/, /4/, vycházející z původních zahraničních prací /5/, /6/, /7/, /8/ a dalších. Hlavními souvisejícími dílčími úkoly byly návrh a konstrukce snímačů dynamických veličin v procesu brzdění, vývoj a konstrukce akčních členů ovládajících brzdnou sílu /9/, /10/, vývoj elektronické části /11/, /12/, laboratorní a jízdní zkoušky vozidel osazených regulátorem brzdné síly /13/, /14/, /15/, /16/.

a) Přehled o současném stavu řešení problematiky, která je předmětem disertace a odborné literatury, jež se zabývá zkoumanými otázkami

Výzkum a vývoj systémů pro regulované brzdění motorových vozidel zaznamenal bouřlivý rozvoj v druhé polovině 60.let a v první polovině 70.let souběžně s rozvojem polovodičové elektroniky schopné pracovat v podmínkách provozu motorového vozidla. Intenzivní práce probíhají především v USA, vyspělých státech Evropy a Japonsku. Výzkum protiblokovacích systémů probíhá v obrovské konkurenci řešitelů, s vysokými finančními dotacemi a podporovaný vyspělou výpočetní technikou a elektronickou součástkovou základnou.

Publikování výsledků prací se však soustředuje víceméně na propagaci a popis funkce zařízení, ale skutečné teoretické a praktické zkušenosti dráze získané miliónovými výdaji se vyskytují velmi zřídka.

V ČSSR se začíná řešit problematika protiblokovacího systému ve druhé polovině 60.let ve VUT Brno, katedře motorových vozidel a v ÚVMV Praha. Ve VUT Brno šlo o pokus aplikovat elektroniku na systém s jednou hladinou úhlového zpoždění a použití přímočinného akčního členu /17/, /18/. K experimentálnímu ověření na vozidle však nedošlo. Rovněž počítačová simulace nebyla použita. Ve VÚMV Praha byla zpočátku řešena mechanická soustava se setrvačníkem; pracujícím jako snímací i akční člen /19/, /20/. Ověřování na vozidle bylo prováděno v roce 1971. V dalších letech pak bylo při řešení použito počítačové simulace na analogovém počítači a experimentováno s elektronickou řídící jednotkou.

V n.p. Autobrzdy Jablonec n.N. byly zahájeny práce na vývoji regulovaného brzdového systému v roce 1969. Cílem byl návrh systému, umožňujícího ověření základních algoritmů s využitím elektronického řídícího systému. Mezi pracoviště n.p. Autobrzdy a ÚVMV se rozvíjí jistá "konkurence" v řešení problému, která svým způsobem nahrazovala nedostatek kontaktu se zahraničními řešiteli. Rozsáhlá výměna názorů probíhala v otázce použitého algoritmu řízení, včetně společného porovnávacího experimentálního ověřování. Nadřízený orgán však tento stav považoval za dvoukolejnou a jeden z důvodů k pozdějšímu zastavení dalších vývojových prací.

Časové horizonty řešení úkolu lze zhruba shrnout do dvou etap :

1) Výzkum 1970-1973 charakterizuje

- studie stavu techniky,
- teoretické rozboru dynamiky brzděného kola,
- hledání formulace regulované veličiny,
- specifikování požadavků na vlastnosti regulátorů,
- sestavení simulačního modelu na počítači,
- ověření teoretických úvah na simulačním modelu,
- provedení laboratorních a jízdních zkoušek.

2) Vývoj 1974-1980 charakterizuje

- návrh prototypu
- výrobu a zabudování do dalších vozidel
- průběžné ověřování konstrukčních změn na simulačním modelu
- provedení zkoušek
- zhodnocení výsledků

Od roku 1975 se již prakticky na zdokonalování systému přestalo pracovat, dokončila se výroba prototypů v omezeném rozsahu, uskutečnilo se osazení na autobus, tahač-návěs a vozidlo VAZ 1500.

Původní záměr osadit 20 vozidel nebyl realizován. Zkušenosti se podařilo uplatnit při aplikaci regulátoru na letadlo, kde pravděpodobně dojde v blízké době k praktické realizaci. Poslední zkoušky algoritmu řízení na simulačním modelu pro letadlo byly provedeny v roce 1983.

Předložená práce se zabývá popisem a sestavením simulačního počítačového modelu, který byl průběžně využíván při ověřování algoritmu řízení a upřesňování požadavků na konstrukci dílčích celků systému. Odkazy na odbornou literaturu jsou uváděny průběžně v textu.

b) Cíl disertace

Jak již bylo naznačeno v úvodu a předcházejících odstavcích, hlavním cílem předložené práce bylo poskytnout řešitelům účinný nástroj pro efektivní ověřování teoretických závěrů při řešení složité problematiky.

Cílem jednotlivých kapitol disertace je podrobný popis všech bloků simulačního modelu a diskuse možných variant řešení, v praktické části je uveden způsob provozního využívání modelu a předloženy některé výsleky ze simulace.

Cílem první kapitoly je stanovení výchozích předpokladů pro návrh modelu, seznámení s mechanickým a matematickým modelem vozidla, popis metody výpočtu při simulaci brzdného procesu a ukázka blokového schématu simulačního obvodu.

Druhá kapitola se zabývá modelem akčního členu, tj. systémem ovlivňujícím brzdnou sílu na základě povelů z elektronické řídící jednotky.

Třetí kapitola popisuje způsob náběhu brzdného momentu a vztahy mezi vytlačeným objemem a tlakem v brzdě.

Kapitola čtvrtá je věnována popisu jednotlivých typů skluzových charakteristik třecí dvojice pneumatika-vozovka a způsobu výpočtu aktuální hodnoty součinitele přilnavosti v průběhu simulace.

V kapitolách 5, 6, 7 jsou uvedeny matematické definice regulačních odchylek, vytypovaných a ověřovaných na základě teoretických úvah. Dále je popsán model regulátoru PID a kriteria pro posouzení kvality různých brzdných režimů.

Kapitola 8 zachycuje časový vývoj simulačního modelu, vysvětluje problémy řešení a důvody zvolených metod výpočtu.

Poslední devátá kapitola je věnována řešení praktických otázek provozního využívání simulačního modelu, zadávání vstupních dat, popisu výsledků a sestav.

V přílohách jsou uvedeny vzory vstupních dat, výstupních tabulek a grafů, výpis podprogramů pro jednotlivé definice regulačních

odchylek a výpis programu v autokódu MAT pro počítač MINSK 22.

Práce neobsahuje celkové hodnocení úkolu ani závěry pro další postup. Tyto jsou součástí zprávy hlavního řešitele.

c) Zvolené metody zpracování

Požadavky kladené na simulační model lze stručně shrnout do několika bodů:

- využít dostupné výpočetní techniky (analogové, hybridní, číslicové) tak, aby praktická realizace modelu mohla být sladěna s termíny řešení nadřazeného úkolu
- vzhledem k vývojovému charakteru úkolu umožnit snadnou změnu struktury dílčích bloků systému (akční člen, regulátor, brzdný moment)
- snadná změna definice regulační odchylky
- operativnost při změně parametrů vozidla, konstant regulace, skluzových charakteristik, apod.
- přijatelná reálná doba výpočtu
- opakovatelnost výpočtů a možnost porovnávání průběhů vybraných brzdných režimů.

Po počátečních pokusech a modelování na analogovém počítači, později na hybridním systému, se podařilo uvedené požadavky splnit v konečné podobě matematickým modelem na číslicovém počítači MINSK 22 v autokódu MAT-4. Podrobněji viz kapitola 8.0.

Výchozí soustava nelineárních diferenciálních pohybových rovnic je řešena trojnásobnou iterací s hledáním kořenů modifikovanou metodou regula falsi. Diferenciální rovnice akčních členů byly řešeny metodou postupných kroků z předcházejících stavových hodnot. Pro diferenční a integrační výpočty bylo použito jednoduché lichoběžníkové metody, která se pro daný účel ukázala jako dostačující.

## 1.0. SIMULAČNÍ MODEL VOZIDLA

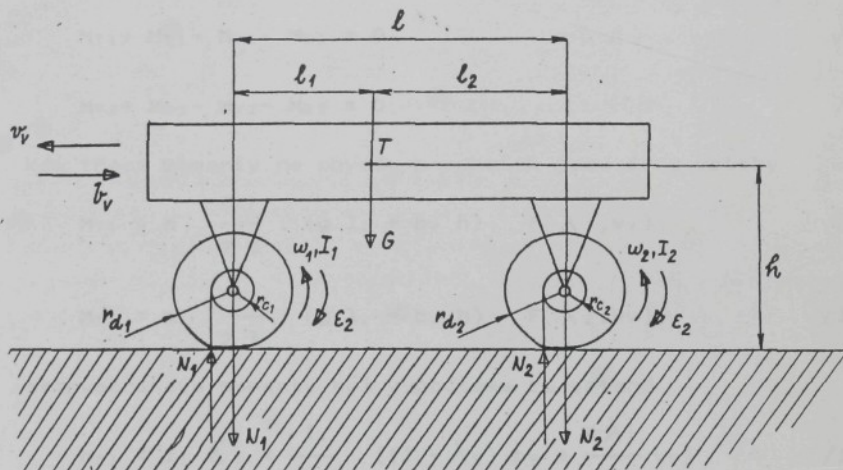
### 1.1. Výchozí předpoklady pro návrh modelu

Model řeší rovinný případ brzdění dvounápravového vozidla s regulátorem brzdné síly. Pro simulaci uvedeného systému byly navrženy tyto zjednodušující předpoklady :

- 1) Mechanický systém dvounápravového vozidla je řešen jako tříhmotová roviná soustava se třemi stupni volnosti  $\mathbf{v}_v$ ,  $\lambda_1$ ,  $\lambda_2$ , viz obr 1.1.
- 2) Brzdění probíhá za přímočarého pohybu vozidla z ustáleného volnoběžného stavu na zvolené rychlosť (nejsou uvažovány boční síly, skuz kola je vypočten z rovnováhy momentových rovnic přední a zadní nápravy)
- 3) Nápravy nejsou vzhledem k rámu vozidla odpruženy a rovněž pneumatiky jsou dokonale tuhé. Především je zanedbáno zpoždění podélného klopného momentu; změny normálních sil vozovka-kolo je však možno považovat za změny ve skuzové charakteristice  $F(\lambda, vv)$ , a proto se zanedbání změn těchto sil prakticky neprojeví. Skuzové charakteristiky se obecně uplatňují jako významný stabilizační prvek celého simulačního modelu.
- 4) Skuzové charakteristiky  $F(\lambda, vv)$  jsou uloženy v paměti počítače ve formě tabulky a průběžná hodnota přilnavosti  $\mu = F(\lambda, vv)$  se pro určité  $\lambda$  a  $vv$  vypočítává lineární interpolací.
- 5) Při výpočtu brzdného momentu se předpokládá lineární závislost objemových a tlakových charakteristik brzdy :
  - a) vytlačený objem - tlak (objemy vytlačené brzdovým válcem a akčním členem)
  - b) tlak - brzdový moment
  - c) hysterese charakteristiky objem - tlak je nulová (zabrzdění a odbrzدení probíhá po stejně křivce)Tyto závislosti je však možno podle potřeby snadno změnit úpravou příslušného podprogramu. V blokovém schematu simulačního obvodu viz. obr.1.2. jsou tyto bloky nakresleny čárkovaně.

### 1.2. Mechanický model vozidla

Základní mechanický model vozidla bez brzdové soustavy je na obr. 1.1.,



Obr. 1.1. Mechanický model vozidla

kde pro dynamické a kinematické veličiny platí :

$$l_2 = l - l_1 \quad /1.1/$$

$$v_v = v_0 - \int_0^t b_v \, dt \quad /1.2/$$

$$\omega = \frac{v_v (1 - \lambda)}{r_d} \quad /1.3/$$

$$\lambda = \frac{v_v - r_d \omega}{v_v}, \quad 0 \leq \lambda \leq 1 \quad /1.4/$$

$$\mathcal{E} = \frac{1}{r_d} [(1 - \lambda) b_v + \frac{d\lambda}{dt} v_v] \quad /1.5/$$

$$b_v \stackrel{def}{=} g \frac{l_2 F(\lambda_1, v_v) + l_1 F(\lambda_2, v_v)}{1 - h [F(\lambda_1, v_v) - F(\lambda_2, v_v)]} \quad /1.6/$$

### 1.3. Základní matematický model vozidla

Podstatou modelu je rovnováha dvou momentových rovnic /1.7/, /1.8/, doplněných soustavou nelineárních algebraických a diferenciálních pohybových rovnic, vycházejících ze zprávy /2/ a požadavků /4/.

Pro rovnováhu momentů na kolech přední a zadní nápravy platí :

$$M_{T1} + M_{S1} - M_{V1} - M_{B1} = 0 \quad /1.7/$$

$$M_{T2} + M_{S2} - M_{V2} - M_{B2} = 0, \quad /1.8/$$

kde třecí momenty na obvodu pneumatik jsou dány vztahy

$$M_{T1} = m \frac{r_{d1}}{2l} (g l_2 + b_v h) F(\lambda_1, v_v) \quad /1.9/$$

$$M_{T2} = m \frac{r_{d2}}{2l} (g l_1 - b_v h) F(\lambda_2, v_v), \quad /1.10/$$

setrvačníkové momenty kol vypočteme ze vztahů

$$M_{S1} = I_1 \dot{\epsilon}_1 = \frac{I_1}{r_{d1}} [(1 - \lambda_1) b_v + \frac{d\lambda_1}{dt} v_v] \quad /1.11/$$

$$M_{S2} = I_2 \dot{\epsilon}_2 = \frac{I_2}{r_{d2}} [(1 - \lambda_2) b_v + \frac{d\lambda_2}{dt} v_v], \quad /1.12/$$

momenty odporu valení jsou dány vztahy

$$M_{V1} = m \frac{r_{c1}}{2l} (g l_2 + b_v h) \quad /1.13/$$

$$M_{V2} = m \frac{r_{c2}}{2l} (g l_1 - b_v h), \quad /1.14/$$

brzdrové momenty na kolech jsou definovány jako

$$M_{B1} = M_{N1} - MAC_1 \geq 0 \quad /1.15/$$

$$M_{B2} = M_{N2} - MAC_2 \geq 0 \quad /1.16/$$

nášlapové brzdrové momenty

$$M_{N1} = M_{N1MAX} \frac{t}{t_B}, \quad \text{pro } t < t_B \quad /1.17/$$

$$M_{N1} = M_{N1MAX}, \quad \text{pro } t \geq t_B \quad /1.18/$$

$$M_{N2} = M_{N1} \frac{1}{k_B} \quad /1.19/$$

odbrždění akčním členem

$$MAC_1 = RAC_1 NM YAC_1$$

/1.20/

$$MAC_2 = RAC_2 NM YAC_2$$

/1.21/

Soustava rovnic /1.1/ až /1.21/ tvoří základní matematický model vozidla. Model akčního člena a jeho působení na brzdovou soustavu, způsoby brzdění a jeho řízení, výpočet regulační odchylky a kriteria kvality regulace jsou uvedeny v dalších kapitolách.

#### 1.4. Metoda výpočtu při simulaci

Základním problémem předloženého matematického modelu je nalezení vhodné strategie pro řešení soustavy dvou nelineárních diferenciálních momentových rovnic 1.řádu, vzniklých dosazením odpovídajících vztahů za momenty do rovnic /1.7/, /1.8/. Obecně lze vzniklou soustavu rovnic zapsat ve tvaru :

$$f_1(\lambda_1, \frac{d\lambda_1}{dt}, \lambda_2) = 0 \quad /1.22/$$

$$f_2(\lambda_1, \lambda_2, \frac{d\lambda_2}{dt}) = 0. \quad /1.23/$$

Pro výpočet na počítači lze rovnice upravit na

$$f_{11}(\lambda_1, \frac{d\lambda_1}{dt}, bv) = 0 \quad /1.24/$$

$$f_{12}(\lambda_2, \frac{d\lambda_2}{dt}, bv) = 0, \quad /1.25/$$

kde

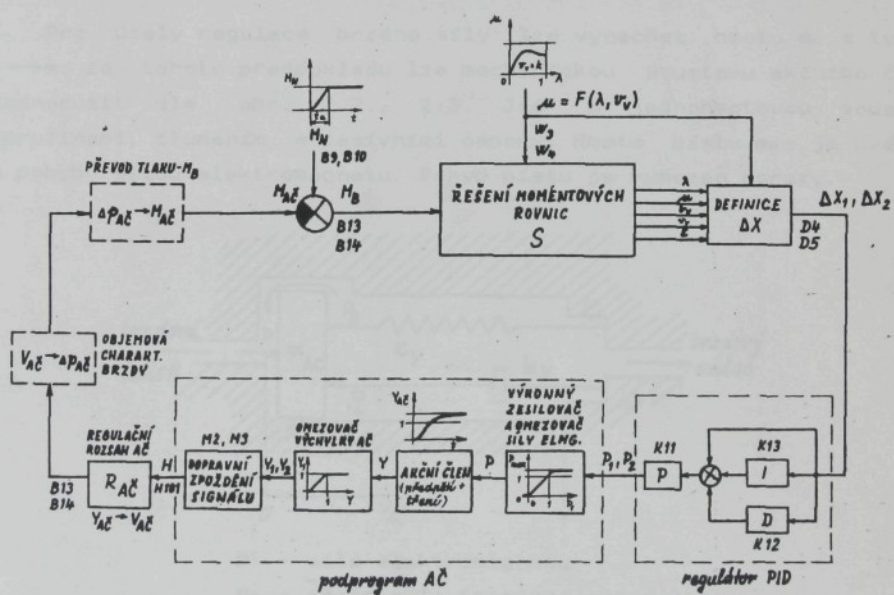
$$bv = f_{bv}[F(\lambda_1, vv), F(\lambda_2, vv)] \quad /1.26/$$

Jednotlivé rychlostní řezy funkcí přilnavosti  $F(\lambda, vv)$  mohou mít jeden z charakteristických průběhů, viz obr. 4.1., přičemž při změnách rychlosti mohou tvary funkce přecházet z jednoho tvaru na druhý. Pro řešení soustavy momentových rovnic /1.24/, /1.25/ nelze provést linearizaci v celém rozsahu  $\lambda$  nebo jednoznačně využít vlastnosti : rostoucí, klesající, nerostoucí, neklesající. Aproximace matematickou funkcí by nepřinesla žádné podstatné výhody. Skluzové charakteristiky  $F(\lambda, vv)$  jsou pro zvolený typ vozovky vkládány do počítače formou tabulky. Podrobněji viz kapitola 4.1.

Soustava momentových rovnic /1.24/, /1.25/ byla řešena iterací po předchozím odhadu  $bv$ . Pro výpočet kořenů  $\lambda_1, \lambda_2$  byla použita modifikovaná metoda sečen (s progresivním krokem). Následoval zpřesněný výpočet  $bv$  z vypočtených  $\lambda_1, \lambda_2$ , který se porovnal s odhadem. Při nesouhlasu odhadu s výpočtem byla za nový odhad dosazena vypočtená hodnota  $bv$  a znova se řešily rovnice /1.24/, /1.25/. Tento cyklus se opakoval tak dlouho, dokud nebylo dosaženo požadované přesnosti odhadu  $bv$  s následným výpočtem. Celý výpočetní cyklus je vlastně trojnásobná iterace. Experimentálně bylo ověřeno, že postačující absolutní přesnost při iteraci  $\lambda$  je  $10^{-4}$  a při iteraci  $bv$  vyhovuje  $10^{-3}$ .

### 1.5. Blokové schema simulačního obvodu

Přehledné schema simulačního obvodu je na obr. 1.2. Jednotlivé bloky jsou podrobněji řešeny v následujících kapitolách. Při simulaci je sledováno celkem 18 fyzikálních veličin vozidla :  $bv$ ,  $vv$ ,  $M_B1$ ,  $M_B2$ ,  $w_1$ ,  $w_2$ ,  $\epsilon_1$ ,  $\epsilon_2$ ,  $\lambda_1$ ,  $\lambda_2$ ,  $F(\lambda_1, vv)$ ,  $F(\lambda_2, vv)$ ,  $\Delta x_1$ ,  $\Delta x_2$ ,  $u_1$ ,  $u_2$ ,  $Y_{A1}$ ,  $Y_{A2}$ . Časové průběhy těchto veličin jsou ukládány do souboru na magnetické pásce.

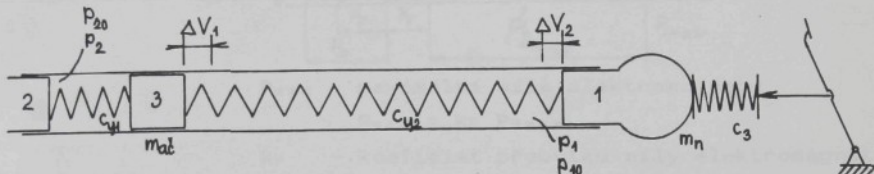


Obr. 1.2. Blokové schema simulačního obvodu

## 2.0. AKČNÍ ČLEN V SYSTÉMU BRZDY

### 2.1. Mechanický model akčního členu

Problematika akčního členu, umožňujícího řízené odbrzdrování kol byla řešena samostatným výzkumným a vývojovým úkolem, viz. /9/, /10/. Výchozí mechanický model brzdového systému s akčním členem je uveden na obr. 2.1.



1 - píst hlavního válce

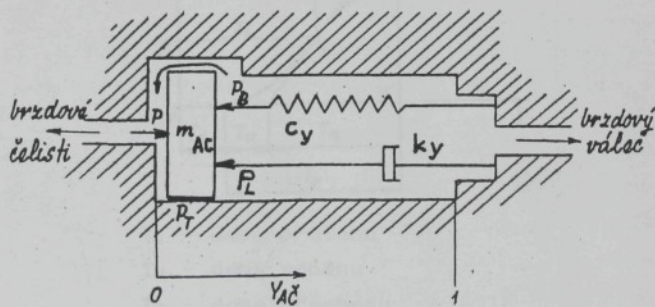
2 - píst kolového válce nebo třmenu

3 - píst akčního členu

$c_{yi}$  - tuhost brzdové soustavy před a za pístem  
akčního členu

Obr. 2.1. Výchozí mechanický model brzdového systému  
s akčním členem

Pro účely regulace brzdné síly lze vyněchat hmotu  $m_n$  a tuhost  $c_3 \rightarrow \infty$ . Za tohoto předpokladu lze mechanickou soustavu akčního členu zjednodušit dle obr. 2.2., 2.3. Jde o jednohmotovou soustavu s pružinami, tluměním a pasivními odpory. Hmotu pístu je uváděna do pohybu silou elektromagnetu. Pohyb pístu je vymezen dorazy.



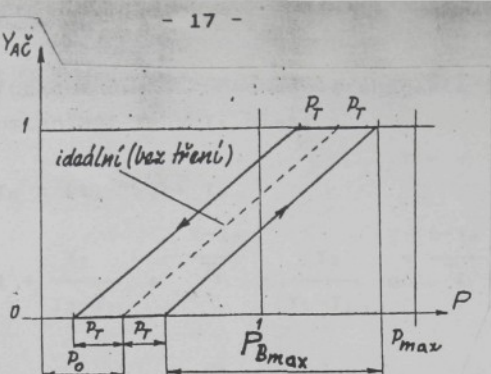
$P$  - síla elektromagnetu

$P_T$  - třecí síla (pasivní odpory)

$P_B$  - síla tuhosti brzdové soustavy

$P_L$  - tlumící síla v brzdové soustavě

Obr. 2.2. Zjednodušený mechanický model akčního členu



$P_{max}$  - maximální síla elektromagnetu

$$P_{max} = k_P \cdot P_{Bmax}$$

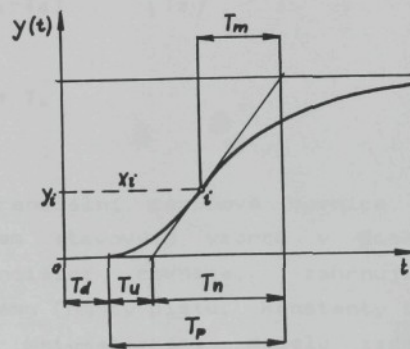
$k_P$  - koeficient přebytku síly elektromagnetu

$P_0$  - předpětí vratné pružiny pístu akčního členu

Obr. 2.3. Statická charakterika závislosti zdvihu pístu akčního členu na síle elektromagnetu

## 2.2. Matematický model akčního členu

Model je řešen jako dynamická soustava 2. řádu, nekmitající, s časovými konstantami  $T_1 \neq T_2$ , rozdílnými pro oba směry pohybu pístu, s pasivními odpory (třením, apod.), předpětím pružiny a dopravním zpožděním. Přechodová charakteristika takovéto soustavy je znázorněna na obr. 2.4.



$T_u$  - doba průtahu

$T_n$  - doba náběhu

$T_p$  - doba přechodu

$T_m$  - doplňková doba přechodu

$T_d$  - dopravní zpoždění

$t_i, y_i$  - souřadnice inflexního bodu

Obr. 2.4. Přechodová charakteristika dynamické soustavy 2. řádu, nekmitající, s dopravním zpožděním

Pro časové a funkční úseky přechodové charakteristiky 2. řádu s různými časovými konstantami  $T_2 > T_1$  platí :

$$T_P = T_u + T_n = (t_i - T_d) + T_m \quad /2.1/$$

$$y(t-T_d) = 1 + \frac{T_1}{T_2-T_1} e^{-\frac{t-T_d}{T_1}} - \frac{T_2}{T_2-T_1} e^{-\frac{t-T_d}{T_2}} \quad /2.2/$$

$$t_i - T_d = - \frac{T_2 - T_1}{T_2 - T_1} \ln \frac{T_1}{T_2} \quad /2.3/$$

$$y(t_i - T_d) = 1 + \frac{T_1}{T_2 - T_1} \frac{T_1}{T_2} \frac{\frac{T_2}{T_2 - T_1}}{} - \frac{T_2}{T_2 - T_1} \frac{T_1}{T_2} \frac{\frac{T_1}{T_2 - T_1}}{} \quad /2.4/$$

$$T_P = (t_i - T_d) + \frac{1 - y(t_i - T_d)}{\dot{y}(t_i - T_d)} = T_1 + T_2 - \frac{T_1 T_2}{T_2 - T_1} \ln \frac{T_1}{T_2} \quad /2.5/$$

$$T_n = \frac{1}{\dot{y}(t_i - T_d)} = T_1 \left( \frac{T_1}{T_2} \right)^{-\frac{T_2}{T_2 - T_1}} \quad /2.6/$$

$$T_m = T_2 + T_1 \quad /2.7/$$

Řešení diferenciální pohybové rovnice pístu akčního členu je nahrazeno vypočtem stavových vzorců v diskrétních bodech. Místo konstant diferenciální rovnice, zahrnujících reálné hodnoty mechanického systému (hmoty pístu, konstanty tlumení, tuhosti pružin, apod.), jsou do matematického modelu zadávány časové konstanty přechodové funkce soustavy (převrácené hodnoty z absolutních hodnot kořenů charakteristické rovnice). Časové konstanty přechodové funkce se snadno zjistí z přenosových vlastností soustavy, nejlépe ze změřené přechodové charakteristiky, viz. rovnice /2.1/ až /2.7/.

Pro poměrné bezrozměrné veličiny platí stavové rovnice :

$$Y_{AC}(j) = C_1 S + C_2 Y_{AC}(j-1) + C_3 Y_{AC}(j-1) \quad /2.8/$$

$$\dot{Y}_{AC}(j) = C_4 S + C_5 Y_{AC}(j-1) + C_6 \dot{Y}_{AC}(j-1) \quad /2.9/$$

kde

$$S = P(j-1) - P_0 - \text{sign } \dot{Y}_{AC}(j-1) P_T \quad /2.10/$$

$$C_1 = 1 - C_2 \quad /2.11/$$

$$C_2 = \frac{T_2}{T_2 - T_1} e^{-\frac{\Delta t}{T_2}} - \frac{T_1}{T_2 - T_1} e^{-\frac{\Delta t}{T_1}} \quad /2.12/$$

$$C_3 = T_1 \quad T_2 \quad C_4 \quad /2.13/$$

$$C_4 = \frac{1}{T_2 - T_1} \left( e^{-\frac{\Delta t}{T_2}} - e^{-\frac{\Delta t}{T_1}} \right) \quad /2.14/$$

$$C_5 = - C_4 \quad /2.15/$$

$$C_6 = \frac{T_2}{T_2 - T_1} e^{-\frac{\Delta t}{T_1}} - \frac{T_1}{T_2 - T_1} e^{-\frac{\Delta t}{T_2}} \quad /2.16/$$

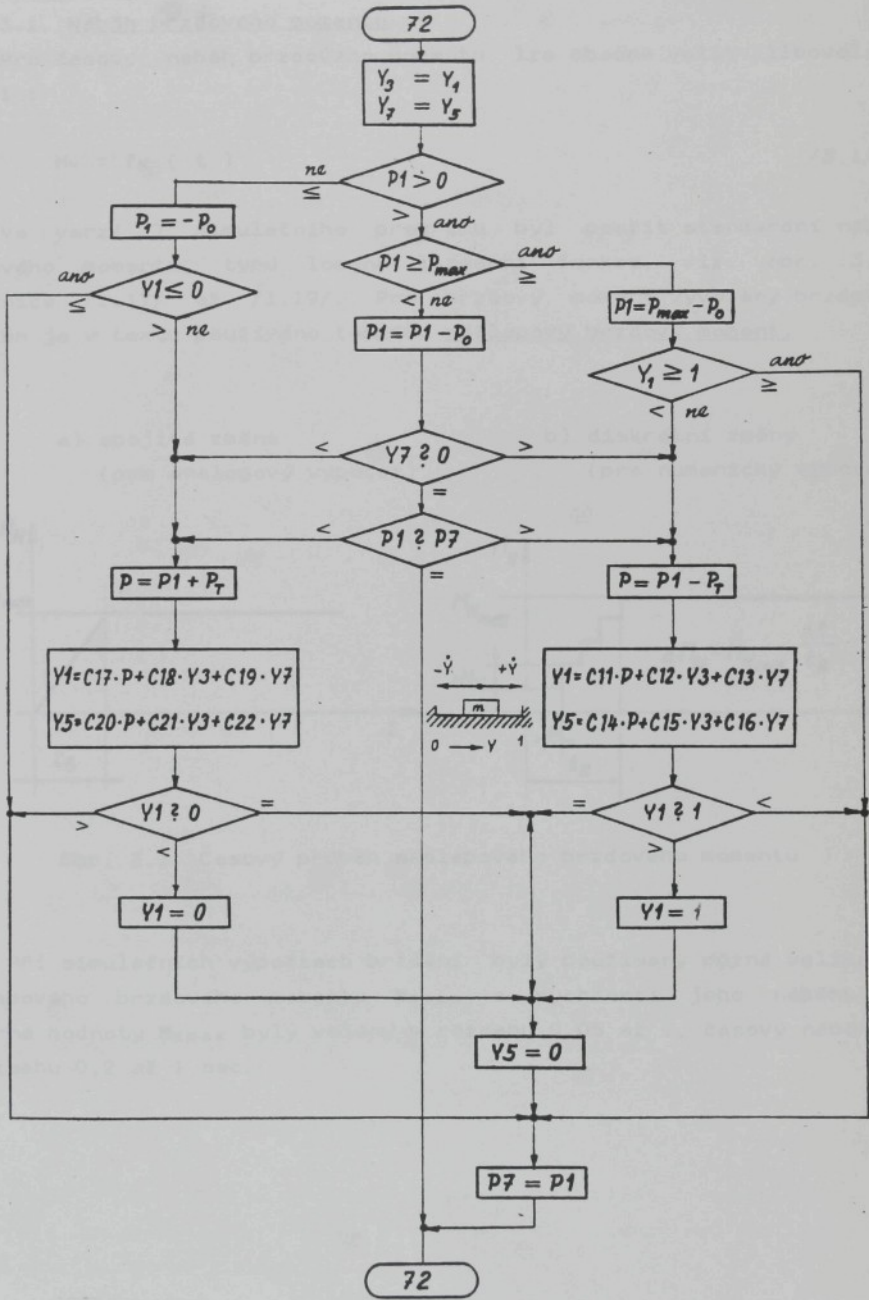
Dopravní zpoždění soustavy akční člen - brzda je v simulačním programu realizováno diskrétním časovým posuvem výstupního signálu z akčního členu.

Regulační rozsah akčního členu (objemová účinnost) určuje poměr objemu vytlačeného akčním členem při plném zdvihu, k objemu vytlačenému brzdrovým válcem při dosažení maximálního provozního tlaku.

Regulační rozsahy akčních členů, dopravní zpoždění a časové konstanty přechodových charakteristik jsou součástí vstupních dat simulačního výpočtu.

### 2.3. Blokové schema výpočtu akčního zásahu

Příklad simulačního výpočtu zásahu akčního členu je uveden v blokovém schematu na obr. 2.5. Ve verzi 7 simulačního programu je výpočet zařazen jako podprogram 72. Výpočet konstant /2.11/ až /2.16/ pro stavové vzorce /2.8/, /2.9/ je v podprogramu 71. Výpočet je prováděn v poměrných hodnotách. Použité symboly jsou shodné s programem (akční člen přední nápravy).



Obr. 2.5. Blokové schema výpočtu zásahu akčního členu  
(akční člen přední nápravy)

### 3.0. BRZDOVÝ MOMENT

#### 3.1. Náběh brzdového momentu

Pro časový náběh brzdového momentu lze obecně volit libovolnou funkci :

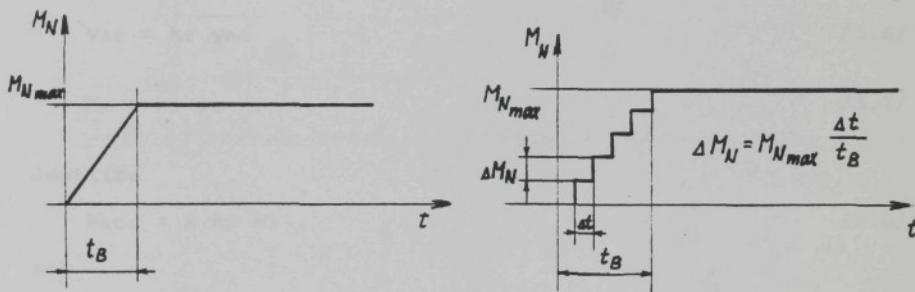
$$M_N = f_N(t)$$

/3.1/

Ve verzi 7 simulačního programu byl použit standardní náběh brzdového momentu, typu lomené lineární funkce, viz. obr. 3.1. a rovnice /1.17/ až /1.19/. Pro brzdový moment vyvozený brzdovým pedálem je v textu používáno termínu nášlapový brzdový moment.

- a) spojitá změna  
(pro analogový výpočet)

- b) diskrétní změny  
(pro numerický výpočet)



Obr. 3.1. Časový průběh nášlapového brzdového momentu

Při simulačních výpočtech brzdění byly používány různé velikosti nášlapového brzdového momentu  $M_{Nmax}$  a rychlosti jeho náběhu  $t_B$ . Poměrné hodnoty  $M_{Nmax}$  byly voleny v rozsahu 0,05 až 1, časový náběh  $t_B$  v rozsahu 0,2 až 1 sec.

### 3.2. Odbrždování akčním členem

Platí-li bod 5 výchozích předpokladů pro návrh simulačního modelu, tj. lineární závislost objemových a tlakových charakteristik brzdy, pak při výpočtu odbrždování akčním členem nezáleží na velikosti nášlapového brzdového momentu, z kterého se začíná odbrždovat. Pro fyzikální veličiny v brzdové soustavě a okamžitý brzdový moment na kole pak platí :

$$k = \frac{p_{max}}{v_{max}} \quad /3.2/$$

$$p_N = k v_N \quad /3.3/$$

$$v_N = k_1 y_N \quad /3.4/$$

$$p_{AC} = k v_{AC} \quad /3.5/$$

$$v_{AC} = k_2 y_{AC} \quad /3.6/$$

$$M_B = k_3 p_S \quad . \quad /3.7/$$

Jestliže

$$k_{ACL} = k k_2 k_3 , \quad /3.8/$$

pak

$$M_{AC} = k_{ACL} y_{AC} \quad /3.9/$$

a okamžitý brzdný moment na kole je dán vztahem

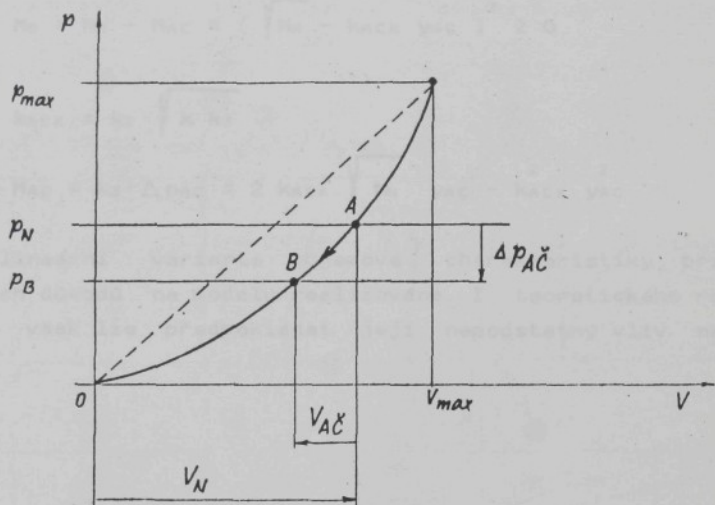
$$M_B = M_N - M_{AC} = M_N - k_{ACL} \cdot y_{AC} \quad /3.10/$$

Není-li objemová charakteristika brzdy lineární, t.j. mezi vytlačeným objemem a vzniklým tlakem v brzdě platí nelineární vztah, např. :

$$p = f(v) , \quad /3.11/$$

je výpočet odbrždování akčním členem složitější, neboť velikost odbrzdění závisí kromě zdvihu pistu akčního členu též na výchozím nášlapovém brzdovém momentu.

Příklad výpočtu velikosti odbrzdění pro kvadratickou objemovou charakteristiku brzdy lze sledovat na obr. 3.2. Odbrzdění probíhá z bodu A do bodu B.



Obr. 3.2. Příklad kvadratické objemové charakteristiky brzdy

Platí :

$$p_N = f_V (V_N) = k V_N^2 \quad /3.12/$$

$$V_N = \sqrt{\frac{p_N}{k}} \quad /3.13/$$

$$k = \frac{p_{\max}}{V_{\max}^2} \quad /3.14/$$

$$p_B = p_N - \Delta p_{AC} = f_V (V_N - V_{AC}) = k (V_N - V_{AC})^2 \quad /3.15/$$

po dosazení za  $V_N$  z /3.13/ dostaneme

$$p_B = (\sqrt{p_N} - V_{AC} \sqrt{k})^2, \quad p_B \geq 0 \quad /3.16/$$

a tedy s pomocí /3.12/, /3.16/

$$\Delta p_{AC} = p_N - p_B = 2 V_{AC} \sqrt{k p_N - k^2 V_{AC}} \quad /3.17/$$

Za předpokladu, že tlaková charakteristika brzdy je lineární, viz bod 5b v kapitole 1.1., tj. platí vztahy /3.4/, /3.6/, /3.7/, můžeme okamžitý brzdotový moment vyjádřit jako :

$$M_B = M_N - M_{AC} = (\sqrt{M_N - K_{ACK} Y_{AC}})^2 \geq 0 \quad /3.18/$$

kde

$$K_{ACK} = k_2 \sqrt{k_1 k_3} \quad /3.19/$$

$$M_{AC} = k_3 \cdot \Delta p_{AC} = 2 K_{ACK} \sqrt{M_N^2 - K_{ACK}^2 Y_{AC}^2} \quad /3.20/$$

Nelineární varianta objemové charakteristiky brzdy nebyla z časových důvodů na modelu realizována. Z teoretického rozboru této varianty však lze předpokládat její nepodstatný vliv na simulační proces.



Obr. 4.1. Příklady objemových charakteristik brzdy

V různých případech je používáno různého druhu několik přibližně lineárních funkcí  $F(A, v)$  v celém rozsahu A, nebo v jeho určitém rozsahu. Vzhledem k tomu, že vliv jednotlivých charakteristik funkce "funkce" využití v určitém rozsahu při simulaci reálného fungování může být i významný, je vhodné modelu zprostít určitých podmínek.

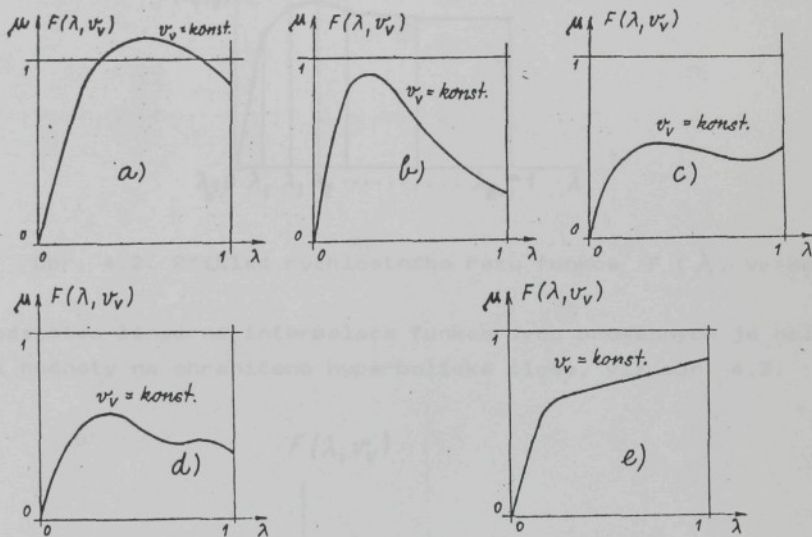
#### 4.2. Vliv tlakové charakteristiky brzdy

Měřené charakteristiky tlakového výkonu v určitých rozsazích jsou v jiném rozsahu, než je to uvedeno v tabulce, t.j. v určitých rozsazích mohou být mimořádně odlišné. Vzhledem k tomu, že vliv jednotlivých charakteristik funkce "funkce" v určitém rozsahu při simulaci reálného fungování může být i významný, je vhodné modelu zprostít určitých podmínek.

- typ 1 - suchý zadník s volnou koncovou silou
- typ 2 - suchý zadník s určitou koncovou silou
- typ 3 - klidová sila
- typ 4 - suchý výkroj určitou koncovou silou

#### 4.0. SKLUZOVÉ CHARAKTERISTIKY TŘECÍ DVOJICE PNEUMATIKA-VOZOVKA

Skluzové charakteristiky  $F(\lambda, vv)$  jsou významnou částí simulačního modelu. Mohou podstatně ovlivnit celý brzdný proces (vozovka suchá, mokrá, náledí, písek, apod). Rychlostní řezy funkce  $F(\lambda, vv = \text{konst.})$ , mohou mít jeden z tvarů, viz. obr. 4.1. Při změnách rychlosti mohou jednotlivé řezy přecházet z jednoho tvaru na druhý.



Obr. 4.1. Příklady skluzových charakteristik ( $vv = \text{konst.}$ )

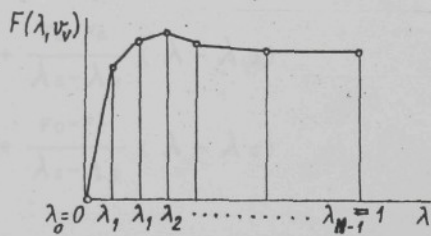
Ve všech případech je patrný počáteční prudký nárůst přilnavosti. Linearizaci funkce  $F(\lambda, vv)$  v celém rozsahu  $\lambda$  nelze z důvodu velkého zkreslení charakteru funkce využít. V úvahu přichází approximace matematickou funkcí nebo tabulkou. V simulačním modelu byla použita druhá možnost.

#### 4.1. Výpočet přilnavosti v průběhu simulace

Skluzové charakteristiky  $F(\lambda, vv)$  vycházejí z výzkumné zprávy /6/ a jsou do počítače zadávány formou tabulky. Při simulaci byly používány 4 typy skluzových charakteristik (třecích dvojic pneumatika-vozovka) pro diagonální pneumatiku běžné seriové výroby, viz. příloha A :

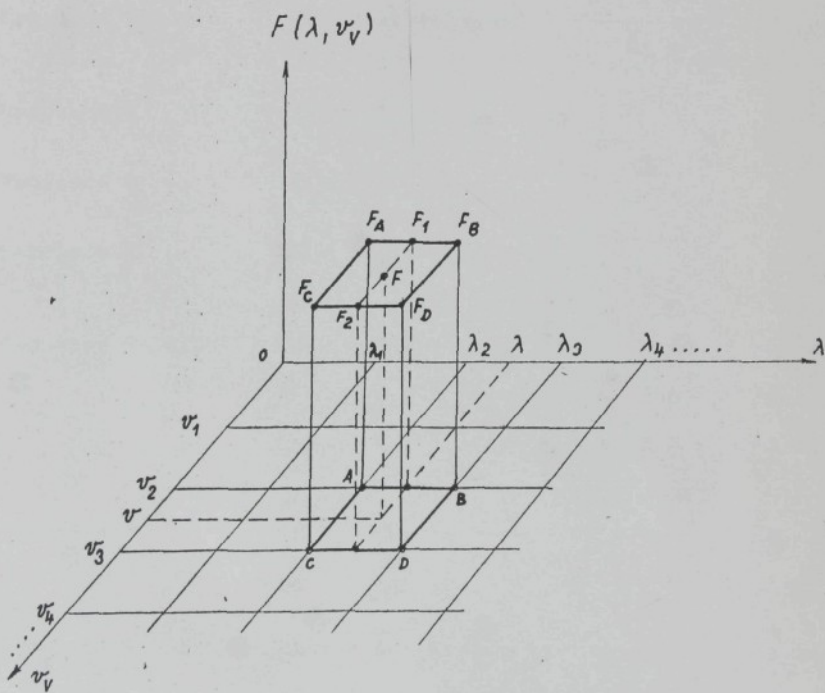
- typ 1 - suchý asfaltový beton s jemnou kamennou drtí
- typ 2 - mokrý měkký asfalt, vrstva vody 1 mm
- typ 3 - hladké náledí  $-4^\circ C$
- typ 4 - suchý sypký stěrk střední zrnitosti .

V průběhu simulace se hodnoty přilnavosti  $\mu = F(\lambda, vv)$  pro určité  $\lambda$  a  $vv$  vypočítává lineární interpolací z tabulky. Hodnoty přilnavosti jsou uloženy po řádcích pro  $vv = \text{konst}$ . Funkce přilnavosti  $F(\lambda, vv = \text{konst})$  jsou tedy nahrazeny lomenou čarou s  $(N - 2)$  body zlomu  $\lambda_1, \lambda_2, \dots, \lambda_{N-2}$ , viz obr. 4.2.



Obr. 4.2. Příklad rychlostního řezu funkce  $F(\lambda, vv = \text{konst})$

Podstatou lineární interpolace funkce dvou proměnných je nalezení funkční hodnoty na ohrazené hyperbolické ploše, viz obr. 4.3.



Obr. 4.3. Prostorové zobrazení ohrazené plochy pro lineární interpolaci přilnavosti  $\mu = F(\lambda, vv)$

Po nalezení oblasti, např. obdélníka ABCD, vypočteme funkční hodnotu ze vzorce :

$$\mu = F = F_1 + \frac{F_2 - F_1}{v_3 - v_2} (v - v_2) \quad /4.1/$$

kde

$$F_1 = F_A + \frac{F_B - F_A}{\lambda_3 - \lambda_2} (\lambda - \lambda_2) \quad /4.2/$$

$$F_2 = F_C + \frac{F_D - F_C}{\lambda_3 - \lambda_2} (\lambda - \lambda_2) \quad /4.3/$$

### 5.0. Definice regulační odchylky při brzdění

Výchozím materiálem pro definici regulační odchylky při brzdění vozidla byly zprávy /1/, /2/, průběžně doplňované osobním kontaktem s hlavním řešitelem. Podrobný rozbor, hodnocení a závěry jsou uvedeny v závěrečné zprávě /3/. Dále je uvedeno 19 různých regulačních soustav.

$$\frac{dF(\lambda, vv)}{dt} \quad z \\ vv$$

1) Výkonová regulace :  $\Delta x = w - \frac{\frac{dF(\lambda, vv)}{dt}}{(E \cdot vv - w \cdot bv) \cdot rd}$  /5.1/

kde  $w = k_1 F(\lambda, vv)$  /5.2/

a vždy platí  $E \cdot vv > w \cdot bv$  /5.3/

2) Regulace 1 :  $\Delta x = E - k_1$  /5.4/

3) Regulace 2 :  $\Delta x = E - k_1 \frac{dE}{dt} - k_2$  /5.5/

4) Regulace 3 :  $\Delta x = k_1 F(\lambda, vv) - \left| \frac{dF(\lambda, vv)}{dt} \right|$  /5.6/

5) Regulace 4 :  $\Delta x = E - k_1 bv - k_2$  /5.7/

6) Regulace 5 :  $\Delta x = \lambda - k_1$  /5.8/

7) Regulace 6 :  $\Delta x = E + k_1 \lambda - k_2$  /5.9/

8) Regulace 7-TELDIX :  $\Delta x = A \vee B$  /5.10/

$A = 1$  pro  $E - k_1 \geq 0$  /5.11/

$B = 1$  pro  $E - k_2 \geq 0$  /5.12/

9) Regulace 8 :  $\Delta x = \lambda + k_1 \frac{d\lambda}{dt} - k_2$  /5.13/

10) Regulace 9 :  $\Delta x = E - k_1 w - k_2$  /5.14/

11) Regulace 10 :  $\Delta x = \lambda + k_1 \frac{dE}{dt} - k_2$  /5.15/

12) Regulace 10A :  $\Delta x = \lambda + k_1 \frac{d \mathcal{E}}{dt} - k_2$  /5.16/

jen pro  $\frac{d \mathcal{E}}{dt} > 0$  /5.17/

13) Regulace 11 :  $\Delta x = C v D$  /5.18/

C = 1 pro  $k_1 v v - k_2 w \geq 0$  /5.19/

D = 1 pro  $\frac{d \mathcal{E}}{dt} - k_3 \geq 0$  /5.20/

14) Regulace 12 :  
(Kubricht 1)

jeli  $\Delta x(j-1) = 1$

-----  
pak  $\Delta x(j) = 1$

pro  $w(j) - k_3 w(j-1) < 0$  /5.21/

a  $\Delta x(j) = 0$

pro  $w(j) - k_3 w(j-1) \geq 0$  /5.22/

jeli  $\Delta x(j-1) = 0$

-----  
pak  $\Delta x(j) = 1$

pro  $\mathcal{E} - k_1 w - k_2 \geq 0$  /5.23/

a  $\Delta x(j) = 0$

pro  $\mathcal{E} - k_1 w - k_2 < 0$  /5.24/

15) Regulace 13 :  
(Kubricht 2)

jeli  $\Delta x(j-1) = 1$

-----  
pak  $\Delta x(j) = 1$

pro  $k_3 v v - k_4 w < 0$  /5.25/

a  $\Delta x(j) = 0$

pro  $k_3 v v - k_4 w \geq 0$  /5.26/

jeli  $\Delta x(j-1) = 0$

-----  
pak  $\Delta x(j) = 1$

pro  $k_1 v v - k_2 w \geq 0$  /5.27/

a  $\Delta x(j) = 0$

pro  $k_1 v v - k_2 w < 0$  /5.28/

$$16) \text{ Regulace 14 : } \Delta x = (k_1 vv - v_k) + k_2 \frac{d(k_1 vv - v_k)}{dt} \quad /5.29/$$

kde  $v_k$  je obvodová rychlosť kola

$$v_k = r_d \cdot \omega$$

/5.30/

$$17) \text{ Regulace 15 : } \Delta x = (k_1 \overline{vv} - v_k) + k_2 \frac{d(k_1 \overline{vv} - v_k)}{dt} \quad /5.31/$$

kde  $\overline{vv} = \max(v_{k1}, v_{k2}) + k_3$

/5.32/

$$18) \text{ Regulace 14E : } \Delta x = (k_1 vv - v_k) + k_2 \epsilon \quad /5.33/$$

$$19) \text{ Regulace 15E : } \Delta x = (k_1 \overline{vv} - v_k) + k_2 \epsilon \quad /5.34/$$

Rychlosť  $\overline{vv}$ , použitá ve vzorcích /5.31/, /5.34/ nahrazuje na reálném systému translační rychlosť vozidla  $vv$ , která se jinak dá zjišťovat velmi obtížně (např. pátým nebrzděným kolem, radarovým systémem, apod.).

Pro regulační zásah platí, že akční člen je vybuzen pouze je-li  $\Delta x > 0$ . Regulace uvedené v bodech 2 až 19 pracovaly většinou jako dvoustavové (zadáváno vysoké zesílení PID regulátoru).

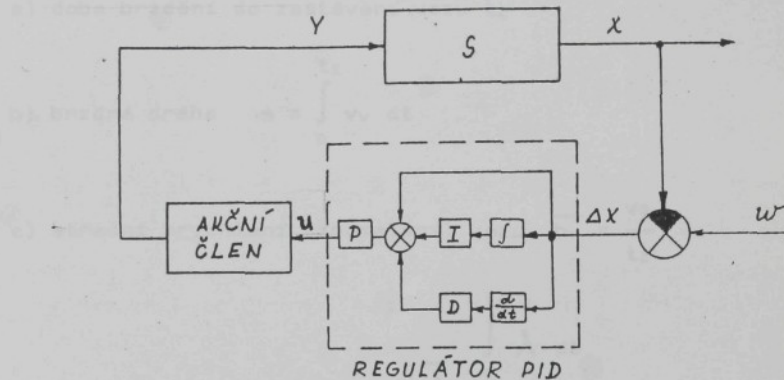
Výpočet regulační odchylky dle zvolené definice je v programu realizován jako podprogram 50, text pro označení typu definice regulační odchylky v záhlavích tabulek a grafů je v programu uložen jako podprogram 85. Oba tyto podprogramy je nutno vytvářet současně. Podprogram 85 slouží jako dokumentační parametr simulačního procesu.

Regulace brzdného procesu není prováděna až do zastavení vozidla. Regulátor je odstavován při rychlosti  $vv = 1$  km/hod. Je to z důvodu vysoké nestability brzdného procesu, způsobené malými hodnotami zrychlení a setrvačných momentů, porovnatelnými se zvolenou přesností iterace. Příklady podprogramů 50 a 85 pro některé definice regulační odchylky jsou uvedeny v příloze K.

Regulace 6, viz formule /5.9/, byla použita při zkouškách antiblokovacího brzdového systému na letadle s nebrzděným přídovým kolem (možnost přesného měření translační rychlosti  $vv$ ). Odstavení regulátoru bylo v tomto případě prováděno na rychlosti  $vv = 15$  km/hod. Úpravy podprogramů pro zkoušky simulace brzdění letadla jsou uvedeny v příloze J.

#### 6.0. Regulátor PID

Výpočet regulačního zásahu je zařazen za výpočtem regulační odchylky, viz. obr. 6.1.



Obr. 6.1. Blokové schéma regulátoru PID v obvodu simulace

$$u(t) = P \left[ \Delta x + D \frac{d(\Delta x)}{dt} \right] + I \int_0^t (\Delta x) dt \quad /6.1/$$

Výstup z regulátoru  $u(t)$  je signál pro vybuzení elektromagnetu akčního členu. Regulátor PID nebyl při simulaci využíván v plném rozsahu. Integrační a derivační složky regulátoru nebyly využívány. Jejich vliv byl prakticky kompenzován definicí regulační odchylky.

## 7.0. KRITERIA KVALITY REGULACE

Pro posouzení různých brzdných režimů simulace při použití různých typů regulátorů, vozovek, nášlapových brzdných momentů, apod. byla zvolena tato základní kriteria kvality brzdného procesu :

a) doba brzdění do zastavení vozu  $t_z$

$$b) \text{brzdná dráha } s = \int_0^{t_z} v_v \, dt \quad /7.1/$$

$$c) \text{střední zrychlení (zpomalení) vozu } \bar{b}_v = \frac{v_0}{t_z} \quad /7.2/$$

$$d) \text{střední hodnota skluzu } \bar{\lambda} = \frac{\int_0^{t_R} \lambda \cdot dt}{t_R} \quad /7.3/$$

$$e) \text{rozptyl skluzu kola } S_{\lambda}^2 = \frac{\int_0^{t_R} (\lambda - \bar{\lambda})^2 \, dt}{t_R} \quad /7.4/$$

f) střední kvadratická změna skluzu kola

$$\left( \frac{d \bar{\lambda}}{dt} \right)^2 = \frac{\int_0^{t_R} \left( \frac{d \lambda}{dt} \right)^2 \, dt}{t_R} \quad /7.5/$$

$$g) \text{střední hodnota přilnavosti } \bar{\mu} = \frac{\int_0^{t_R} \mu \cdot dt}{t_R} \quad /7.6/$$

$$h) \text{střední poměrný brzdrový moment } \bar{M_B} = \frac{\int_0^{t_R} M_B \, dt}{t_R} \quad /7.7/$$

i) rozptyl poměrného brzdového momentu

$$S_{MB}^2 = \frac{\int_0^{t_R} (M_B - \bar{M}_B)^2 dt}{t_R}$$

/7.8/

kde  $t_R$  je doba brzdění do zastavení vozidla  
 $t_R$  je doba do odstavení regulátoru.

Výpočty kriteriálních veličin uvedených pod d) až i) jsou prováděny v průběhu simulace do odstavení regulátoru (jen v průběhu regulace) samostatně pro každou nápravu. Hodnoty kriteriálních veličin jsou ukládány a tištěny automaticky za každou tabulkou.

## 8.0. HISTORIE VZNIKU SIMULAČNÍHO MODELU

Na možnosti sestavení matematického modelu a simulaci procesu brzdění se začalo pracovat v automatizačním středisku VŠST Liberec v roce 1970. První pokus byl proveden s modelem na analogovém počítači TESLA AP3M pro jednu nápravu a statickou sluzovou charakteristiku  $F(\lambda)$ , která byla snímána optickým sledovačem křivek z grafu. Na tomto analogovém modelu byla ověřena platnost základních rovnic a sejmuty charakteristiky pro vybrané režimy brzdění /21/. Regulátor brzdné síly ještě nebyl použit.

Po zkušenostech z tohoto modelu byl v roce 1971 sestaven program pro číslicový počítač MINSK 22 pro dvounápravové vozidlo a dynamické skluzové charakteristiky. Byly provedeny výpočty vybraných režimů na různých typech vozovek bez regulátoru (prosté brzdění srovnatelné s měřením na vozidle). Současně se provádělo odladění akčních členů pro regulaci brzdné síly na analogovém počítači AP3M. Modelování na analogových počítačích viz lit. /27/.

V další etapě byl program upraven pro simulaci brzdění s regulátorem na hybridním systému MINSK 22 - AP3M, viz programovací jazyk MAT-4-HYBRID /28/. Na analogovém počítači AP3M byly namodelovány pohybové rovnice akčních členů a na číslicovém počítači byly iterací řešeny rovnice vozidla, výpočet přilnavosti pneumatika-vozovka, výpočet regulační odchylky a akčních zásahů, prováděl se tisk vypočtených hodnot a celé řízení výpočtu. Byly provedeny výpočty jen pro ověření reálnosti metody řešení. Jednotlivé kroky výpočtu na číslicovém počítači (0,001 sec) trvaly 0,4 až 2 sec. Hybridní systém pracoval v reálném čase a tak jednotlivé kroky výpočtu na hybridním systému musely být zvoleny podle nejdélšího času, tj. 2 sec. Výpočet trval velmi dlouho a obsluha celého systému byla vzhledem k požadavku časté opakovatelnosti dosti náročná.

Proto byl program přepracován celý na číslicový počítač a tento byl dále využíván a vyvíjen. Doba výpočtu se zkrátila zhruba na 1/3 a obsluha je velmi jednoduchá. Průměrná doba výpočtu pro jedno regulované zabrzdění je cca 30 minut, dalších 30 minut trvá tisk tabulek vypočtených hodnot a grafů ze souboru na magnetické pásmu. Použitý programovací jazyk je autokód MAT-4 /24/ metodicky blízký moderním jazykům FORTRAN nebo BASIC.

Společně s hlavním řešitelem Ing. Barborou byla práce /22/ pod názvem "Regulace brzdných sil" oceněna 2. cenou v Krajské ceně v technické tvůrčí práci za rok 1972.

Program byl do konečné podoby vyvíjen asi 3 roky. Zpráva /23/ popisuje jeho zatím konečnou 7. verzi.

## 9.0. POČÍTAČOVÝ PROGRAM PRO SIMULACI BRZDNÉHO PROCESU

Výpis poslední verze simulačního programu v jazyce MAT-4 je v příloze H. Během simulačního výpočtu je průběžně tištěna tabulka vypočtených hodnot a současně jsou vypočtené hodnoty ukládány na magnetickou pásku. Ukázka průběžného tisku tabulky vypočtených hodnot a konečná tabulka kriteriálních veličin brzdného procesu jsou v příloze S.

Součástí programového balíku simulace brzdění vozidla jsou programy pro tisk tabulek a grafů vybraných hodnot ze souboru vypočtených hodnot, uloženého na magnetické pásce, viz. přílohy L, M. Ukázky výsledků simulace brzdění, t.j. tabulky a grafy vypočtených hodnot jsou v přílohách F, G.

### 9.1. Přehled řešených rovnic a jejich realizace v programu

Pro lepší orientaci v návrhu matematického modelu a jeho realizaci v programu simulace byla sestavena přehledná tabulka, viz. příloha P. V příloze R je přehled interního označení proměnných a veličin v programu.

### 9.2. Krok výpočtu

S ohledem na dynamické vlastnosti systému se doporučuje volit časový krok výpočtu takto :

- pro brzdění bez regulace max. 0,01 sec
- pro regulované brzdění max. 0,001 sec  
(brzdění s regulátorem)

Při delším časovém kroku výpočtu vznikají problémy v iteracním cyklu simulačního výpočtu (dynamika kola, zejména skluz může snadno dosáhnout mezních hodnot).

### 9.3. Vstupní data

Data pro simulační výpočet jsou rozdělena do tří skupin :

- a) snímač DP1 - základní parametry vozidla a brzdy  
(jde v podstatě o konstrukční, prakticky neměnné parametry, charakterizující dynamický systém)
- b) snímač DP2 - skluzové charakteristiky pneumatika-vozovka
- c) sprázený dálnopis - operativní údaje o výpočtu a protokol  
(jde o datum, krok výpočtu, konstanty pro definici regulační odchylky, zesílení regulátoru, časové konstanty akčních členů, počáteční translační rychlosť vozidla, nášlapový brzdový moment, atd.)

ad a) Data pro snímač DP1 (vzor dat viz. příloha B )

= TYP VOZIDLA \* ... označení dat (děrovat jako "jmennovku")  
G ... váha vozidla [kg]  
l ... rozvor náprav [m]  
l<sub>1</sub> ... vzdálenost těžiště vozidla od přední nápravy [m]  
r<sub>d1</sub> ... dynamický poloměr kol přední nápravy [m]  
I<sub>1</sub> ... moment setrvačnosti kol přední nápravy [kp m sec<sup>2</sup>]  
r<sub>d2</sub> ... dynamický poloměr kol zadní nápravy [m]  
I<sub>2</sub> ... moment setrvačnosti kol zadní nápravy [kp m sec<sup>2</sup>]  
r<sub>c1</sub> ... poloměr valivého odporu kol přední nápravy [m]  
r<sub>c2</sub> ... poloměr valivého odporu kol zadní nápravy [m]  
h ... výška těžiště vozidla nad vozovkou [m]  
k<sub>B</sub> ... koeficient přebrzdění přední nápravy k zadní  
RAC<sub>1</sub> ... regulační rozsah (objemová účinnost) akčních členů  
RAC<sub>2</sub> ...  
k<sub>P1</sub> ... koeficienty přebytku síly elektromagnetu akč.členů  
k<sub>P2</sub> ...  
P<sub>O1</sub> ... poměrné předpětí vratných pružin akčních členů  
P<sub>O2</sub> ...  
P<sub>T1</sub> ... poměrná třecí síla při pohybu akčních členů  
P<sub>T2</sub> ...  
N<sub>bv</sub> ... norma translačního zpoždění vozidla [m/sec<sup>2</sup>]  
N<sub>vv</sub> ... norma translační rychlosti vozidla [m/sec]  
N<sub>s</sub> ... původně norma brzdné dráhy, u verze 7 simulačního  
programu již nemá žádný význam (z důvodu  
kompatibility nutno děrovat libovolné číslo)  
N<sub>M</sub> ... norma momentu na kole [kp m]  
)

Vstupní data je vhodné zakončit stopovou závorkou "").

ad b) Data pro snímač DP2 (vzor dat viz. příloha A )

= DRUH VOZOVKY \* ... označení dat (děrovat jako "jmenovku")

N ... počet hodnot skluzu  $\lambda$  v tabulce, resp. počet  
bodů v rychlostním řezu funkce  $F(\lambda, vv)$

M ... počet rychlostních řezů funkce  $F(\lambda, vv)$

$\lambda_n$  ... hodnoty skluzu v procentech ( 0 - 100 )  
ve vzestupném pořadí (včetně počátečního  
a koncového)

vvk ... body rychlostních řezů vv [m/sec] vzestupně

$F(\lambda_{kn}, vv_k)$  ... matici funkčních hodnot přilnavosti  
po řádcích pro  $vv = \text{konst}$ , děrovat  
jako celé hodnoty v desetitisícinách !  
(od  $vv = 0$  do  $vv = vv_{\max}$ )

)

Vstupní data je vhodné zakončit stopovou závorkou ")".

ad c) Data ze spřaženého dálnopisu (vzor dat viz. příloha C )

Formou odpovídí na otázky se před zahájením výpočtu simulace zadává :

1. Datum výpočtu (jako alfanumerický text zakončený "\*")  
- pouze je-li zapnut klíč 100 (např.: "28.června 1974\* ")
2. Počáteční rychlosť vozidla  $v_0$  [km/hod]
3. Poměrný nášlapový brzdový moment  $M_{N\max}$  v rozsahu <0 , 1>
4. Doba náběhu brzdového momentu  $t_B$  [sec]
5. Krok výpočtu  $t$  [sec]
6. Krok tisku vzhledem ke kroku výpočtu  
(např. pro tisk po každém pátém kroku zadáme : 5 )
7. Počátek tisku vzhledem ke kroku tisku  
(zadáme-li nulu, provádí se tisk od začátku výpočtu,  
zadáme-li 100 , vynechá se prvních 100 tiskových řádků)
8. Rozhodovací konstanta I8 :  
 $I8 = 0$  ... nebudeme ukládat tabulky do souboru na MGP  
 $I8 = 1$  ... budeme ukládat tabulky do souboru na MGP  
Jeli  $I8 = 1$ , žádá se dále : - číslo kotouče MGP  
- číslo mechanizmu MGP  
- počáteční adresa souboru
9. Konstanty regulátoru  $K_1$  až  $K_4$ ,  $K_5$  až  $K_8$   
(podle definice regulační odchylky, viz. kapitola 5.0.  
a příloha K )
10. Zesílení regulátoru PID,  $K_{11}$   $K_{12}$   $K_{13}$ ,  $K_{14}$   $K_{15}$   $K_{16}$   
(viz. kapitola 6.0. a přílohy P, R )
11. Časové konstanty přechodové funkce akčních členů [sec]  
a dopravní zpoždění [vzhledem ke kroku výpočtu]. Maximální  
dopravní zpoždění je 100 výpočtových kroků !!  
Časové konstanty mohou být různé pro akční členy přední  
a zadní nápravy a různé pro oba směry pohybu pistu  
akčního členu. Zadáváme tedy celkem 10 konstant :  
 $+ + - - + + - -$   
 $T_1, T_2, T_3, T_4, T_{D1}, T_5, T_5, T_7, T_8, T_{D2}$

#### **9.4. Manipulace s programem simulace**

Příprava programu v symbolickém jazyce MAT-4 spočívá pouze ve volbě definice regulační odchylky, t.j. připojení podprogramů 50 a 85 k základní části zdvojového textu (viz. kapitola 5.0. a příloha K).

Po překladu kompletního programu je před spuštěním výpočtu nutno provést :

1. Zavést program do paměti počítače
2. Zvolit režim výpočtu nastavením klíčů, nejčastěji klíče 100 a 40 (viz. použití klíčů níže)
3. Vložit data do **SNI1** (parametry vozidla)
4. Vložit data do **SNI2** (tabulka skluzové charakteristiky pneumatika-vozovka)
5. Připravit magnetickou pásku pro uložení vypočtených hodnot (pouze budeme-li zapisovat na MGP - běžný režim)
6. Připravit děrovač **DER1**, popř. **DER2**, širokou řádkovou tiskárnu **ACPU** a úzkou rychlotiskárnu **TBPM**

Po odstartování programu pokračuje činnost obsluhy a práce počítače takto :

7. Start programu (36)s
8. Na spřaženém dálnopisu **DLPS** zadat datum (pouze je-li zapnut klíč 100)
9. Na **DLPS** se při čtení dat ze SNI1 a SNI2 kopírují texty, označující druh vložených dat (typ vozidla, typ definice regulační odchylky, typ vozovky)
10. Na **TBPM** se vytisknou konstanty vozidla, vypočítané z parametrů vozidla (pouze je-li klíč 40 zapnut)
11. Na **DLPS** zadat další údaje, viz kapitola 9.3. ad c)
12. Na **TBPM** se vytisknou konstanty stavových vzorců pro pohyb akčních členů (pouze je-li klíč 40 zapnut)

Tímto jsou provedeny všechny úvodní činnosti simulačního výpočtu a je zahájen výpočet :

13. Na **DER1** se vyděruje kopie záhlaví tabulky a na konci výpočtu ještě tabulka kriteriálních hodnot

14. Provádí se průběžný tisk tabulek poměrných hodnot veličin  $M_{B1}$ ,  $b_v$ ,  $v_v$ ,  $\varepsilon_1$ ,  $w_1$ ,  $\varepsilon_2$ ,  $w_2$ ,  $\lambda_1$ ,  $\lambda_2$ ,  $\Delta x_1$ ,  $u_1$ ,  $Y_{AC1}$ ,  $\Delta x_2$ ,  $u_2$ ,  $Y_{AC2}$  na **ACPU** nebo na **DER2** (viz. klíč 2). Průběžný tisk tabulek možno potlačit zapnutím klíče 10.
15. Současně se ukládají tabulky všech vypočtených poměrných veličin na zvolenou MGP!.
16. Jeli klíč 40 zapnut, tiskne se na **TBPM** průběžně při každém výpočtovém kroku číslo výpočtového kroku a počet iteračních kroků při iteraci skluzu .
17. Na konci výpočtu se vypíše počet řádků tabulky a je-li prováděn zápis na MGP, vytiskne se první volná adresa na MGP a sdělení "Vlož DP se záhlavím do SNI1"
18. STOP \*7777 3333 1111 - konec výpočtu

Další činnost se provádí pouze při ukládání tabulek na MGP :

19. Do **SNI1** vložit DP se záhlavím simulace, vyděrovanou **DER1**
20. START - přečte se záhlaví z děrné pásky, uloží na MGP a na **DLPS** se vypíše sdělení "ZAHLAVI TABULKY ULOZENO". (Záhlaví tabulky slouží dále pro dokumentační účely).
21. STOP \*7777 3333 1111 - koncový stop výpočtu.
22. Děrnou pásku z **DER1** vypsat a uchovat pro dokumentační účely.

Ukázka protokolu o výpočtu, vypisovaného na **DLPS** je v příloze C . Ukázka průběžného tisku vypočtených veličin a kriteriálních hodnot je v příloze S .

Použité zkratky zařízení výpočetní techniky :

- DP** ... děrná páska (v tomto případě 5-stopá v kódu CCITT)
- MGP** ... magnetická páska
- ACPU** ... široká řádková tiskárna
- DLPS** ... spřažený dálnopis (konzola s výpisem)
- TBPM** ... úzká rychlotiskárna (pro mezivýsledky)
- SNI1, SNI2** ... snímač děrné pásky č.1, č.2
- DER1, DER2** ... děrovač děrné pásky č.1, č.2

Použití klíčů pro větvení programu

Klíče na počítači MINSK 22 jsou hardwareové přepínače, umožňující operativní změny průběhu výpočtu, např. na základě průběžných výsledků nebo jiného okamžitého požadavku operátora. Použití klíčů je obecně možné obejít např. volbou řídících parametrů v datech na začátku výpočtu. Používání klíčů je většinou výhodnější a operativnější.

Klíč 2 vyp ... tisk tabulek na široké tiskárně ACPU  
zap ... tisk tabulek na děrovači DER2

Klíč 10 zap ... blokování průběžného tisku tabulky při  
simulačním výpočtu (používá se pro  
urychlení výpočtu v nezajímavých místech  
brzdného procesu)

Klíč 20 zap ... stop \*75 75 75 po každém zápisu na MGP  
(po každých 200 krocích tisku)

Klíč 40 zap ... tisk mezivýsledků na úzké rychlotiskárně

a) konstanty vozidla, konstanty stavových  
vzorců pro akční členy  
(tiskne se na začátku výpočtu)

b) krok výpočtu, počet iteračních kroků  
při iteraci  $\lambda$ ,  $b_v$   
(průběžně po každém výpočtovém kroku)

Klíč 100 zap ... požadavek na vložení datumu výpočtu na  
začátku výpočtu (alfanumerický text)

### 9.5. Uložení vypočtených hodnot na magnetickou pásku

Tabulky vypočtených poměrných hodnot veličin při simulačním výpočtu jsou ukládány po řádcích (řádcích), viz. operativní údaje ze spřaženého dálnopisu DLPS a řídicí konstanta I8. Poměrné hodnoty tištěných veličin jsou vztaženy ke zvoleným, popř. vypočteným normám, viz. data pro SNI1. V jednom řádku je celkem 18 údajů v pořadí :

1	2	3	4	5	6	7	8	9	10
M <sub>B1</sub>	$\varepsilon_1$	$\omega_1$	$\lambda_1$	$F_1(\lambda_1, vv)$	$\Delta x_1$	$u_1$	$Y_{AC1}$	$b_v$	$v_v$
M <sub>B2</sub>	$\varepsilon_2$	$\omega_2$	$\lambda_2$	$F_2(\lambda_2, vv)$	$\Delta x_2$	$u_2$	$Y_{AC2}$		
11	12	13	14	15	16	17	18		

Na začátku souboru vypočtených hodnot je programem rezervováno celkem 300 slov pro charakteristické údaje o režimu brzdění. Tyto dokumentační údaje jsou využívány při tisku tabulek a grafů a jsou rovněž tištěny v záhlaví sestav.

Prvních 290 slov je určeno pro text záhlaví, který se automaticky dříruje na DER1 na začátku simulačního výpočtu, viz. bod 13 kapitoly 9.4. Pro tento účel je text záhlaví na děrné pásce zakončen znakem s desítkovou hodnotou 05 v kódu CCITT, na dálnopisu SIEMENS je to znak "☒", písmenový ekvivalent je "H", na tiskárně ACPU znak "↑".

Za textem záhlaví následuje na děrné pásce popis sloupců tabulky průběžně tištěných veličin simulačního výpočtu. Konec popisu sloupců tabulky je označen znakem s hodnotou 22=(26)s, na dálnopisu SIEMENS znak "□", písmenový ekvivalent "F", na tiskárně ACPU znak ">". Znaku 22 lze využít pro vyněchání popisu sloupců tabulky při čtení vypočtených hodnot z DP pro další zpracování (např. pro graf nebo pro výběr pouze některých hodnot). Vzhledem k možnosti tisku tabulek a grafů ze souboru na magnetické páscce již není tato možnost prakticky využívána.

Posledních 10 rezervovaných slov je použito na uložení základních údajů o režimu brzdění :

- S 290 ... počet funkcí v tabulce I15 = 18 (délka věty)
- S 291 ... počet řádků tabulky I3 (počet vět)
- S 292 ... časový krok výpočtu C3 [sec]
- S 293 ... krok tisku ke kroku výpočtu I5
- S 294 ... počátek tisku ke kroku výpočtu I7
- S 295 ... nepoužito (rezerva)
- S 296 ... okamžik zastavení [sec]
- S 297 ... brzdná dráha R3 [m]
- S 298 ... střední zpomalení vozidla  $\bar{b}_v$  [ $m/sec^2$ ]
- S 299 ... počáteční adresa souboru na MGP

Výše uvedené údaje dále používají programy pro tisk tabulek a grafů.

#### 9.6. Interní význam a použití proměnných v programu

Znalost označení fyzikálních veličin vozidla a dalších proměnných a řídících parametrů v programu simulace je důležitým předpokladem pro studium, úpravy, popř. další vývoj programu. Rovněž případné převedení programu na nový počítač je bez znalosti používaných deklarováných proměnných velmi obtížné a časově náročné. Pro tyto účely byla vytvořena přehledná tabulka interního významu proměnných v programu, viz. příloha R .

### 9.7. Program tisku tabulek vybraných funkcí

Program **TISK** provádí tisk tabulek zvolených veličin ze souboru vypočtených hodnot na magnetické páscce, vytvořeného simulačním programem. Výpis programu **TISK** je v příloze L.

Data vstupují ze snímače děrné. pásky **SNI2** a spřaženého dálnopisu **DLPS**. Program využívá charakteristické údaje na začátku souboru, viz kapitola 9.5. Zredukuje se tak počet operativních údajů pro spuštění programu a sníží se riziko chyby. Ukázka tisku tabulky vybraných veličin je v příloze F.

Data ze snímače SNI2, viz příloha D.

Vstupuje pouze text pro označení sloupců v tabulce. Text je zakončen znakem "\*". Na každý sloupec je třeba počítat s 9 znaky.

Data ze spřaženého dálnopisu DLPS, viz příloha C.

Formou odpovědí na otázky zadáváme :

1. Číslo mechanismu MGP
2. počáteční adresa souboru (kontroluje se s údajem S 299)
3. Počet funkcí ve výběru (počet sloupců tabulky)
4. Indexy zvolených funkcí v libovolném pořadí  
( 1 až 18, viz. kapitola 9.5.)
5. Krok výběru vzhledem k uloženým větám  
(např. vybírat každou desátou větu - zadat 10)
6. Počátek výběru vzhledem k uloženým větám  
(od 0, např. výběr od začátku - zadat 0)

#### Manipulace s programem TISK

## 9.8. Program tisku grafických průběhů vybraných funkcí

Program **GRAF** tiskne grafické průběhy vybraných funkcí ze souboru vypočtených hodnot na magnetické pásmo, vytvořeného simulačním programem. Grafy jsou tištěny na řádkové tiskárnu ACPU zvolenými symboly bodově s odstupy dle řádkování tiskárny. Výpis programu **GRAF** je v příloze M.

Data vstupují ze snímače děrné pásky **SNI2** a spřaženého dálnopisu **DLPS**. Program využívá charakteristické údaje na začátku souboru, viz kapitola 9.5. Zredukuje se tak počet operativních údajů pro spuštění programu a sníží se riziko chyby. Ukázka tisku grafických průběhů vybraných hodnot je v příloze G.

Data ze snímače SNI2, viz příloha E.

Vstupuje pouze text pro popis zvolených funkcí. Text je zakončen znakem "\*". Uvedený text se tiskne pro informaci v záhlaví sestavy společně s přidělenými tiskovými symboly.

Data ze spřaženého dálnopisu DLPS, viz příloha C.

Formou odpovědí na otázky zadáváme :

1. Číslo mechanismu MGP
2. počáteční adresa souboru (kontroluje se s údajem S 299)
3. Počet funkcí ve výběru
4. Indexy zvolených funkcí v libovolném pořadí  
( 1 až 18, viz. kapitola 9.5.)
5. Krok výběru vzhledem k uloženým větám  
(např. vybírat každou desátou větu - zadat 10)
6. Měřítka pro graf (možnost automatického zjištění maximální a minimální hodnoty)
  - $Y_{min}$
  - $Y_{max}$
  - **ŘÁDKOVÁNÍ**  
(zadáme-li 1, tiskne se na každý řádek,  
zadáme-li 3, tiskne se na každý 3. řádek  
a graf je časově roztažený)

Použití klíčů v programu GRAF

Klíč 2 - vyp - tisk na rádkové tiskárně ACPU

zap - tisk na děrovači DER2

Klíč 10 - vyp - před volbou měřítka grafu se automaticky zjistí min a max hodnota z vybraných funkcí (měřítko se žádá až po zjištění rozsahu )

zap - nezjišťuje se min a max hodnota a přímo se žádá volba měřítka

Manipulace s programem GRAF

1. Program zavést do paměti počítače
2. Zvolit klíče
3. Při vypnutém klíči 2 - vypnout stránkování na tiskárně
4. Vložit data data do snímače SNI2 (alfanumerický text)
5. Start programu (36)s
6. Formou odpovědí na otázky zadat řídící udaje na DLPS
7. Na DLPS se vytiskne min a max hodnota jako návod pro určení měřítka grafu (pouze je-li klíč 10 vypnut)
8. Na DLPS zadat měřítka grafu (min a max souřadnici)
9. Program vytiskne grafy a na konci sestavy vypíše:
  - počátek tisku grafu
  - okamžik zastavení
  - brzdnou dráhu
  - počet vytištěných řádků grafu
10. Na DLPS se vypíše : počet vytištěných řádků grafu
11. STOP \* 7777 3333 1111 - koncový stop výpočtu

## ZÁVĚR

Práce je praktickou ukázkou aplikace moderních prostředků při řešení technických problémů. Rozhodujícím momentem efektivnosti metody simulace je možnost ověření způsobu řešení v době návrhu a konstrukce před etapou výroby.

Všechny zvolené zjednodušující předpokady pro návrh modelu se ukázaly jako vhodné a neměly podstatný negativní vliv na dosažené výsledky simulace. Požadavky kladené na simulační model byly prakticky splněny. Jediným handicapem celého řešení je relativně dlouhá doba výpočtu, podmíněná dostupnou výpočetní technikou v době řešení problému.

Průběhy funkcí získané simulací na počítači se až překvapivě shodovaly s charakterem a velikostí hodnot naměřených při provozních zkouškách na vozidle. Ukázalo se, že pro běžné ověřování vlastností brzděného systému není nutné zvyšovat počet stupňů volnosti modelu.

### a) Výsledky disertace s uvedením nových poznatků

Model byl účinným nástrojem při ověřování problematiky regulace brzdění vozidel a během celé doby řešení úkolu (částečně i po jeho ukončení) byl pruběžně využíván a vyvíjen.

Při simulačním procesu je možné sledovat časové průběhy 18 fyzikálních veličin vozidla, což dává řešiteli solidní představu o řešeném problému. Simulační režimy brzdění byly prováděny z různé počáteční rychlosti, různým nášlapovým brzdrovým momentem, na 4 typech vozovek, resp. adhezních funkcí  $F(\lambda, vv)$ . Jednotlivé režimy brzdění byly posuzovány dle stanovených kriterií, viz kap. 7.0.

Většina simulací brzdění s regulátorem byla prováděna s parametry vozidla ŠKODA S-720, později byly zkušenosti uplatněny s parametry letadla L-39 ALBATROS s přední a zadní centrází (dodal Moravan Otrokovice).

Bylo ověřeno celkem 19 typů regulačních soustav, viz. kapitola 5.0. a příloha K. Na odladění jednoho typu regulátoru bylo třeba cca 10 hodin strojového času počítače MINSK 22, což představovalo náklady 7800 Kčs za pronájem počítače. Uvedené finanční náklady lze považovat za přijatelné, neboť ověřování na reálném zařízení by bylo několikanásobně dražší a časově náročnější, nepočítáme-li problémy s měřením všech veličin z vozidla a jejich záznamem. Další nesporou výhodou simulace je vytvoření vždy stejných provozních a povětrnostních podmínek, což může na reálném zařízení dělat potíže.

Kromě brzdění s regulátorem byly dále ověřovány vlastnosti brzdění vozidel bez regulace (prosté zabrzdění). Šlo zejména o zjišťování náběhu brzdného momentu na kolech vozidla za různých skluzových podmínek blízkých reálné skutečnosti (reálné skluzové charakteristiky). Zkoušky byly prováděny s parametry osobních vozidel SKODA S-761 TUDOR, S-762 SEDAN, S-764 KOMBI, S-765 KOMBI SPECIAL a nákladních vozidel AVIA AN-20, AN-30K, AN-40, ROBUR LKW, ROBUR BUS, v režimech prázdný a plně naložený, brzděné nápravy obě, jen přední, jen zadní. Zajímavý byl i údaj brzdné dráhy. Při simulaci brzdění bez regulátoru odpadla zdlouhavá optimalizace parametrů seřízení regulátoru (definice regulační odchylky).

b) Konkrétní závěry pro realizaci ve společenské praxi

Předložená práce je přes svůj časový odstup stále aktuální a živá. Okamžité využití je např. možné při ověřování náběhu brzdného momentu a brzdné dráhy vozidel bez regulátoru na různých druzích povrchu, nebo různých typech pneumatik, viz. předchozí odstavec ad a).

Samozřejmě další využívání se předpokládá především při vývoji antiblokovacích brzdných systémů nejen u silničních vozidel, ale i v dalších oblastech dopravy, např. u letadel nebo na kolejových vozidlech.

c) Konkrétní závěry pro další rozvoj vědy

Vývoj a kvalitativní zdokonalování simulačního modelu není možno považovat za ukončené. Vzhledem k tomu, že byla zvládnuta problematika simulace brzdění jednoduchého základního modelu dvounápravového vozidla, je možné rozvíjet a do simulačního obvodu vkládat další konstrukční bloky a celky a zvyšovat počet stupňů volnosti. Jde zejména o odpružení náprav a použití řízených tlumičů, popř. různé konstrukce zavěšení náprav.

Současná výpočetní technika umožňuje nejen podstatně zrychlit dobu výpočtu brzdného režimu, ale i převedení celého problému na personální počítač. Tím vznikají pro řešitele dříve netušené možnosti. Předložený model je možné dle ověřené metody prakticky bez úprav snadno převést na moderní výpočetní prostředek a řešit s jeho pomocí dnešní a perspektivní problémy konstrukce automobilů, zejména z oblasti brzdrových systémů, konstrukce náprav a jízdních vlastností.

LITERATURA

- /1/ BARBORA, J.: Studie o regulátorech brzdné síly. Výzkumná zpráva n.p. Autobrzdý Jablonec n.N. k úkolu č. 1100665 za rok 1970.
- /2/ BARBORA, J.: Regulace brzdných sil. Výzkumná zpráva n.p. Autobrzdý Jablonec n.N. k úkolu č. 1100665 za rok 1971.
- /3/ BARBORA, J.: Regulace brzdné síly. Závěrečná zpráva o výzkumu protiblokovacího regulátoru. Autobrzdý Jablonec n.N., 1973.
- /4/ BARBORA, J.: Zadávací podklady pro výpočetní středisko VŠST Liberec. Dílčí materiál k úkolu č. 1100665 - Regulace brzdných sil. Autobrzdý Jablonec n.N., 1971.
- /5/ McHENRY, R.R.: Research in Automobile Dynamics - A Computer Simulation of General Three-Dimensional Motions. Výzkumná zpráva Cornell Aeronautical Laboratory. SAE Preprint 710361, 1971. UTEI-700 361.
- /6/ HARNED, J.L. - JONSTON, L.E. - SHARPF, G.: Measurement of Tire Brake Force Characteristics as Related to Wheel Slip (Antilock) Control System Design. Výzkumná zpráva General Motors Corp. SAE Preprint 690214, 1970. UTEI-700 907 261.
- /7/ MITSCHKE, M. - WIEGNER, P.: Der Blockiervorgang eines gebremsten Rades. Vortrag auf dem XIII. FISITA-Kongress, Brüssel, Juni 1970. ATZ 72 (1970), Nr. 10, s. 359-363.
- /8/ LEIBER, CZINCEL : Die elektronische Bremsregler und seine Problematik. ATZ 1972 č. 7, str. 269-282.
- /9/ KOVÁŘÍK, J.: Regulace brzdné síly pro hydraulické brzdy, řešení akčního členu. Dílčí zpráva úkolu za rok 1971. VUT Brno, Katedra spalovacích motorů.
- /10/ KOVÁŘÍK, J.: Výzkum akčního členu protiblokovací automatiky. Závěrečná zpráva úkolu. VUT Brno, 1972.
- /11/ HONZOVÁ, ADAMEC : Zpráva o vývoji elektronické části regulátoru brzdné síly. Výzkumná zpráva n.p. PAL Magnetron Kroměříž za rok 1971.
- /12/ ADAMEC : Závěrečná zpráva o vývoji elektronické části regulátoru brzdné síly. Úkol n.p. PAL Magnetron Kroměříž č. 9999.10.
- /13/ NOVÁK : Zkušební zpráva o laboratorních zkouškách na umělé vozovce č. Z-No-16-1172. Zkušební zpráva n.p. Autobrzdý Jablonec.
- /14/ NOVÁK : Zkušební zpráva o jízdních zkouškách č. Z-No-24-1272. Zkušební zpráva n.p. Autobrzdý Jablonec z první etapy zkoušek s vozidlem.
- /15/ NOVÁK : Zkušební zpráva o jízdních zkouškách č. Z-No-19-0673. Zkušební zpráva n.p. Autobrzdý Jablonec.

- /16/ NOVÁK : Zkušební zpráva o laboratorních zkouškách protiskluzového regulátoru s hydraulickou centrálou a leteckým kolem Z-No-19-10-73. Zkušební zpráva n.p. Autobrždy Jablonec a n.p. Moravan Otrokovice.
- /17/ KOVAŘÍK, KAŠEK: Regulační zařízení automatického protiblokovacího ústrojí hydraulických brzd vozidel. Patentní spis ČSR - 117 336.
- /18/ KOVAŘÍK : Otázky brzdění automobilového kola z hlediska funkce protiblokovací automatiky. Sborník VUT Brno 1966.
- /19/ ZEDNÍK : Výzkum protiblokovacího zařízení pro vzduchotlaké brzdy. Výzkumná zpráva ÚVMV Praha č. Z-1/67.
- /20/ KUBRICH : Výzkum protiblokovacího systému. Výzkumná zpráva ÚVMV Praha č. Z-54/69.
- /21/ BARBORA, RÉDOVÁ, MEVALD: Protokol o modelování dynamiky brzděného kola na vozovce s různými třecími vlastnostmi. Zpráva n.p. Autobrždy Jablonec a VŠST Liberec, 1970.
- /22/ VOJTA, F.: Simulace procesu brzdění automobilu s regulátorem brzdné síly na počítači. Zpráva pro soutěž "Krajská cena v technické tvůrčí práci", VŠST Liberec 1972.
- /23/ VOJTA, F.: Simulace brzdění automobilu s regulátorem brzdné síly. Závěrečná zpráva o programu P-0160. Automatizační středisko VŠST Liberec, 1974.
- /24/ FORMANDL, FORMANDLOVÁ : Autokód MAT-4. Ústav pro další vzdělávání v kontrole, evidenci a statistice Praha, 1966.
- /25/ REKTORYS : Přehled užité matematiky. SNTL Praha, 1968.
- /26/ ŠVEC, KOTEK : Teorie automatického řízení. SNTL Praha, 1969.
- /27/ BORSKÝ, MATYAŠ : Technika použití elektronických analogových počítačů. SNTL Praha, 1963.
- /28/ LINHART : Programovací jazyk pro hybridní počítač MINSK 22-AP3M. Výzkumná zpráva INORGA Praha, 1968.

## SEZNAM PŘÍLOH

Příloha A - Tabulky funkcí přilnavosti pneu-vozovka  $F(\lambda, vv)$

Příloha B - Vzory vstupních dat parametrů vozidla

Příloha C - Vzory zadávání operativních údajů vozidla pro simulaci brzdění a protokol o výpočtu

Příloha D - Vzory vstupních dat pro tisk tabulek vypočtených hodnot

Příloha E - Vzory vstupních dat pro tisk grafických průběhů sledovaných veličin

Příloha F - Ukázka tabulky vypočtených hodnot sledovaných veličin brzdného procesu

Příloha G - Ukázka grafických průběhů sledovaných veličin vozidla

Příloha H - Výpis poslední verze programu simulace brzdění vozidla v jazyce MAT-4

Příloha J - Výpis úprav podprogramů pro simulaci brzdění letadla

Příloha K - Výpisy podprogramů definic regulační odchylky

Příloha L - Výpis programu pro tisk tabulek vybraných veličin simulace

Příloha M - Výpis programu pro tisk grafických průběhů vybraných veličin simulace

Příloha P - Přehled řešených rovnic a jejich realizace v programu simulace

Příloha R - Interní význam a použití proměnných v programech simulace (verze 7)

Příloha S - Ukázka průběžného tisku vypočtených veličin při simulaci a tabulka kriteriálních hodnot

Poznámky

## -TYP 1 - SUCHY ASFALT, BETON+DIAGONALNI PNEU (USA)•

B 13

0 5	7,5	10	12,5	15	17,5	20	22,5	25	30	35	40	60	80	90	95	100
0 2,315	4,63	6,94	9,26	11,57	13,89	16,20	18,52	20,83	23,15	25,46	27,78					
0 4450	6700	9020	11800	11910	12280	12390	12320	12175	11900	11660	11430	10810				
0 620	10360	10250	10100													
0 4450	6670	8430	9720	10130	10450	10560	10610	10650	10650	10530	10370	9810	9400			
0 925	8930	8730														
0 4450	6640	8025	8570	8900	9130	9300	9390	9480	9520	9500	9420	8960	8425	7975		
7800	7575															
0 4450	6610	7950	8460	8760	8960	9075	9100	9080	9000	8775	8700	8200	7875	7560		
7420	7275															
0 4450	6580	7925	8360	8650	8830	8910	8870	8800	8625	8450	8300	7900	7650			
7490	7450	7300														
0 4450	6550	7900	8280	8550	8720	8750	8700	8625	8450	8270	8140	7900	7725			
7590	7575	7450														
0 4450	6520	7860	8220	8420	8540	8580	8540	8475	8300	8130	8020	7900	7870	7730		
7720	7610															
0 4450	6485	7810	8130	8310	8390	8410	8370	8320	8190	8060	7940	7900				
7970	7860	7830	7725													
0 4450	6450	7720	8050	8180	8210	8200	8175	8150	8060	7980	7890	7870	7875	7900		
7810	7800															
0 4450	6410	7580	7830	7950	8000	8000	7890	7950	7910	7860	7810	7850	7875			
7850	7925	7850														
0 4450	6375	7400	7630	7720	7760	7770	7750	7750	7720	7720	7700	7780	7875			
7945	7945	7890														
0 4450	6310	7120	7340	7450	7480	7500	7480	7500	7500	7530	7550	7720	7875			
7660	7961	7910														
0 4450	6250	6720	6920	7025	7110	7160	7200	7230	7300	7350	7420	7650	7875	7975		
7980	7930															

)

## -TYP 2 - MOKRY MEKKY ASFALT (1 MM VODY)+DIAGON. PNEU•

Z 7

0 2,5	3,75	5	7,5	10	12,5	15	17,5	20	25	30	35	40	60	70	80	90	95	100
0 4,63	9,26	13,89	18,52	23,15	27,78													

0 2370	3970	5430	7870	9375	10330	10775	10700	10475	10220	10000	9870	9630	7125					
0 750	4550	3170	2830	2275														
0 2370	3660	4850	6500	7420	7950	8130	8050	7875	7550	7325	7150	6900	4925	4870				
0 3670	2820	2530	2075															
0 2370	3450	4360	5370	5800	5975	5950	5825	5700	5450	5190	4980	4710	3350	3300				
0 2890	2500	2260	1880															
0 2370	3325	3920	4360	4500	4450	4350	4220	4060	3790	3520	3310	3070	2270	2225				
0 2160	2075	1930	1630															
0 2370	3200	3480	3560	3470	3340	3200	3025	2880	2600	2380	2200	2020	1600	1550				
0 1550	1530	1500	1330															
0 2370	2925	3060	2970	2720	2520	2350	2210	2100	1840	1625	1460	1325	1075	1030				
0 1000	970	970	900															
0 2370	2700	2650	2310.	2100	1900	1730	1570	1450	1220	1040	930	850	640	590	550			
0 530	500	420																

)

## -TYP 3 - HLADKE MALEDI (-4)+DIAGONALNI PNEU (USA)Φ

15

0	2,5	5	7,5	10	12,5	15	20	30	40	60	80	90	95	100
0	2,315	4,63	9,26	13,89										

0	580	715	840	905	910	905	875	793	660	430	465	525	610	725
0	600	760	900	970	980	965	935	845	750	585	620	675	730	795
0	622	820	955	1035	1050	1040	995	900	840	775	790	825	845	865
0	660	955	1055	1100	1115	1110	1060	990	960	1010	1070	1090	1070	990
0	695	1030	1080	1050	1010	975	940	935	955	1055	1080	1240	1220	1155

)

## -TYP 4 - SUCHY SYPKY STERK STREDNI + DIAGON. PNEUΦ

19

0	2,5	5	7,5	10	12,5	15	17,5	20	25	30	35	40	60	70	80	90	95	100
0	4,63	9,26	11,57	13,89	16,20	18,52	20,83	23,15										

0	1810	2300	2650	2780	2790	2800	2810	2820	2840	2880	2900	2930	3130	3400	3880	4050
0	460	5430														
0	1810	2450	2850	3100	3200	3250	3270	3300	3320	3350	3370	3400	3650	3900	4200	4600
0	4820	5100														
0	1810	2700	3100	3350	3470	3550	3620	3670	3750	3830	3890	3920	4180	4290	4620	4520
0	4670	4800														
0	1810	2690	3080	3480	3630	3730	3820	3880	4000	4090	4175	4250	4320	4450	4490	4550
0	4620	4700														
0	1810	2700	3250	3600	3750	3850	3940	4000	4140	4250	4330	4400	4530	4530	4530	4560
0	4600	4650														
0	1810	2800	3375	3750	3900	3980	4040	4090	4150	4230	4290	4330	4400	4410	4420	4525
0	4650	4750														
0	1810	2900	3570	3870	3980	4075	4120	4140	4175	4200	4225	4250	4325	4375	4400	4550
0	4600	4900														
0	1810	2940	3650	3950	4120	4200	4275	4300	4360	4400	4440	4460	4480	4500	4520	4600
0	4780	5010														
0	1810	2950	3700	4200	4400	4530	4600	4650	4750	4830	4870	4900	4900	4900	4980	
0	5050	5180														

)

Příloha B

Vzory vstupních dat parametrů vozidla

S - 720 } TYP VOZIDLA

S - 720 (1) +

1170	
2,55	1,23
0,295	0,15
0,295	0,15
0,0074	0,0074
0,6	

1,3809  
1 1  
1,1 1,1  
0,03 0,03  
0,02 0,02

13 27,78 150 100

1

## LETADLO-BRZDA K-36-1200 - PREDNI CENTRAZ\*

5200  
 4,42 3,78  
 0,2 0,03  
 0,26 0,12  
 0,015 0,025  
 1,205

1  
 1 1 1  
 0 0 0

6 27,77 1000 1000

)

## LETADLO-BRZDA K-36-1200 - PREDNI CENTRAZ-19.8.1982\*

5200  
 4,42 3,78  
 0,2 0,03  
 0,26 0,12  
 0,005 0,0065  
 1,205

1  
 1 1 1  
 0 0 0

6 27,77 1000 1000

)

## LETADLO-BRZDA K-36-1200 - ZADNI CENTRAZ-19.8.1982\*

4800  
 4,42 3,915  
 0,2 0,03  
 0,26 0,12  
 0,005 0,0065  
 1,205

1  
 1 1 1  
 0 0 0

6 27,77 1000 1000

)

AN=20 PRAZONYC

2680 G  
2,68 1,0 l  $l_1$   
388 0,17  $r_{d1}$   $I_1$   
0,388 0,17  $r_{d2}$   $I_2$   
0,025 0,025  $r_{c1}$   $r_{c2}$   
1,1 h

13 27,78 150 600  $N_{bv}$   $N_{V_V}$   $N_s$   $N_M$   
)

~~S-761 TUDOR PRAZDNY~~

985

2,5 1,1325

0,275 0,15

0,275 0,15

0,02 0,02

0,56

13 41,66 1 150

)

~~S-761 TUDOR PLNY~~

1250

2,5 1,38

0,275 0,15

0,275 0,15

0,02 0,02

0,56

13 41,66 1 150

)

~~S-762 SEDAN PRAZDNY~~

985

2,5 1,18

0,275 0,15

0,275 0,15

0,02 0,02

0,56

13 41,66 1 150

)

~~S-762 SEDAN PLNY~~

1310

2,5 1,4125

0,275 0,15

0,275 0,15

0,02 0,02

0,56

13 41,66 1 150

)

S-764 KOMBI PRAZDNY

035  
2,5 1,2247  
0,280 0,15  
0,280 0,15  
0,02 0,02  
0,58

13 41,66 1 150  
)

S-764 KOMBI PLNY

1450  
2,5 1,578  
0,28 0,15  
0,28 0,15  
0,02 0,02  
0,58

13 41,66 1 150  
)

S-765 KOMBI SPECIAL PRAZDNY

055  
2,6 1,3  
0,28 0,15  
0,28 0,15  
0,02 0,02  
0,58

13 41,66 1 150  
)

S-765 KOMBI SPECIAL PLNY

1480  
2,6 1,3  
0,28 0,15  
0,28 0,15  
0,02 0,02  
0,58

13 41,66 1 150  
)

Příloha C

Vzory zadávání operativních údajů vozidla pro simulaci  
brzdění a protokol o výpočtu

DATUM VYPOCTU : 18.11.1974

S - 720 (1)

SUSTAVA S AKCNIM CLENEM - REGULACE 6 : DX-EPS+K1,L-K2  
TYP 2 - MOKRY MEKKY ASFALT (1 MM VODY)+DIAGON. PNEU

POCAT. RYCHLOST (KM/HOD) : 50

BRZONY MOMENT : 0,8 DOBA NABEHU (SEC) : 0,2

KROK VYPOCTU (SEC) : 0,001

KROK TISKU (KE KROKU VYPOCTU) : 1

POCATEK TISKU (KE KROKU TISKU) : 0

BUDENE UKLADAT NA MGP? (ANO=1, NE=0) : 1

ZADEJ UDAJE PRO MGP :

G KOTOUCE : 045 CISLO MECHAN.: 2 POCAT. ADR.: 0

KONST. REG.:

K1= 0,33 K2= 0,082 K3= 0 K4= 0

K5= 0,33 K6= 0,082 K7= 0 K8= 0

ZES. REG.:

K11= 90000 K12= 0 K13= 0

K14= 90000 K15= 0 K16= 0

CAS. KONST. AC (SEC) :

T1= 0,02 T2= 0,04 T3= 0,02 T4= 0,04 TD1 (KE KROKU VYPOCTU)= 5

T5= 0,02 T6= 0,04 T7= 0,02 T8= 0,04 TD2 (KE KROKU VYPOCTU)= 5

POCET HODNOT = 2389 PRVNI VOLNA ADR. NA MGP : 43302

ULOZ DP SE ZAHĽAVIM DO SNI 1-PUSK

ZAHĽAVI TABULKY ULOZENO - OBSAZENO BUNEK : 195

SUBOR JE ULOZEN NA MGP : 2 OD ADRESY : 0

POCET FUNKCI VE VYBERU (MAX 12) : 10

ZVOL FUNKCE (1-12) : 1 2 3 4 5 6 7 8 9 10

KROK VYBERU (VZHLEDOM K ULOZENYM VETAM) : 10

POCATEK VYBERU : 0

POCET VYBRANYCH HODNOT : 239

SUBOR JE ULOZEN NA MGP : 2 OD ADRESY : 0

POCET FUNKCI VE VYBERU (MAX 12) : 8

ZVOL FUNKCE (1-12) : 1 2 3 4 5 8 9 10

KROK VYBERU (VZHLEDOM K ULOZENYM VETAM) : 10

Y MIN= -,0287 Y MAX= ,8000

MERITKO Y MIN= -0,03 Y MAX= 0,8 RAD= 1

POCET VYTISTENYCH RADKU GRAFU : 239

DATUM VYPOCTU : 18.11.1974

S = 720 (1)

SUSTAVA S AKCNIM CLENEM - REGULACE 6 : DX-EPS,K1,L-K2  
TYP 2 - MOKRY MEKKY ASFALT (1 MM VODY) + DIAGON. PNEU

POCAT. RYCHLOST (KM/HOD) : 50

BRZDNY MOMENT : 0,8      Doba nabehu (sec) : 0,2

KROK VYPOCTU (SEC) : 0,001

KROK TISKU (KE KROKU VYPOCTU) : 1

POCATEK TISKU (KE KROKU TISKU) : 0

BUDEME UKLADAT NA MGP? (ANO=1, NE=0) : 1

ZADEJ UDAJE PRO MGP :

C. KOTOUCE : 045      CIISLO MECHAN.: 2      POCAT. ADR.: 0

KONST. REG.:

K1= 0,33 K2= 0,082 K3= 0 K4= 0

K5= 0,33 K6= 0,082 K7= 0 K8= 0

ZES. REG.:

K11= 90000 K12= 0 K13= 0

K14= 90000 K15= 0 K16= 0

CAS. KONST. AC (SEC) :

T1= 0,02 T2= 0,04 T3= 0,02 T4= 0,04      TD1 (KE KROKU VYPOCTU) = 5

T5= 0,02 T6= 0,04 T7= 0,02 T8= 0,04      TD2 (KE KROKU VYPOCTU) = 5

POCET HODNOT = 2369      PRVNI VOLNA ADR. NA MGP : 43302

VLOZ OP SE ZAHĽAVIM DO SNI 1-PUSK

ZAHĽAVI TABULKY ULOŽENÉ - OBSAZENO BUNEK : 195

Soubor je uložen na MGP : 2      OD ADRESY : 0

POCET FUNKCI VE VYBERU (MAX 12) : 10

ZVOL FUNKCE (1-12) : 1 2 3 4 5 6 7 8 9 10

KROK VYBERU (VZHLEDOM K ULOŽENÝM VETAM) : 10

POCATEK VYBERU : 0

POCET VYBRANYCH HODNOT : 239

Soubor je uložen na MGP : 2      OD ADRESY : 0

POCET FUNKCI VE VYBERU (MAX 12) : 8

ZVOL FUNKCE (1-12) : 1 2 3 4 5 6 9 10

KROK VYBERU (VZHLEDOM K ULOŽENÝM VETAM) : 10

Y MIN= -0,0257      Y MAX= ,8000

MERITKO Y MIN= -0,03      Y MAX= 0,8      RAD= 1

POCET VYTISTENÝCH RADKU GRAFU : 239

DATUM VYPOCTU : 1.7.1981.

LETADLO-BRZDA K-36-1200 - PREDNI CENTRAZ  
SUSTAVA S AKCNIM CLENEM-REGULACE 6 : DX-EPS+K1,L-K2  
TYP 2 - MOKRY MEKKY ASFALT (1 MM VODY)+DIAGON. PNEU

POCAT. RYCHLOST (KM/HOD) : 50  
BRZDNY MOMENT : 1 DOBA NABEHU (SEC) : 0,5

KROK VYPOCTU (SEC) : 0,001  
KROK TISKU (KE KROKU VYPOCTU) : 10  
POCATEK TISKU (KE KROKU TISKU) : 0  
BUDEME UKLADAT NA MGP? (ANO=1,NE=0) : 1  
ZADEJ UDAJE PRO MGP :  
C KOTOUCE : 054 CISLO MECHAN.: 9 POCAT. ADR.: 1

KONST. REG.:  
K1= 0 K2= 0 K3= 0 K4= 0  
K5= 0,1759 K6= 0,0439 K7= 0 K8= 0

ZES. REG.:  
K11= 0 K12= 0 K13= 0  
K14= 10000 K15= 0 K16= 0

CAS. KONST. AC (SEC) :  
T1= 1 T2= 2 T3= 3 T4= 4 TD1 (KE KROKU VYPOCTU)= 0  
T5= 0,0165 T6= 0,01061 T7= 0,0106 T8= 0,0095 TD2 (KE KROKU VYPOCTU)= 30

POCET HODNOT = 416 PRVNI VOLNA ADR. NA MGP : 7789

VLOZ DP SE ZAHĽAVIM DO SNI 1-PUSK

ZAHĽAVI TABULKY ULOZENO - OBSAZENO BUNEK : 200

Soubor je ulozen na MGP : 9 OD ADRESY : 1

POCET FUNKCI VE VYBERU (MAX 12) : 8  
ZVOL FUNKCE (1-12) : 11 12 13 14 15 18 9 10

KROK VYBERU (VZHLEDEN K ULOZENYM VETAM) : 1  
Y MIN= -,2649 Y MAX= 1,000  
MERITKO Y MIN= -,27 Y MAX= 1 RAD= 1

POCET VYTISTENYCH RADKU GRAFU : 416

DATUM VYPOCTU : 28 .4.1983.

LETADLO-BRZDA K-36-1200 - PREDNI CENTRAZ-19.8.1982  
SUSTAVA S AKCNIM CLENEM-REGULACE 6 : DX-EPS+K1,L-K2  
TYP 2 - MOKRY MEKKY ASFALT (1 MM VODY)+DIAGON. PNEU

POCAT. RYCHLOST (KM/HOD) : 50  
BRZDNY MOMENT : 1 DOBA NABEHU (SEC) : 0,5

KROK VYPOCTU (SEC) : 0,001  
KROK TISKU (KE KROKU VYPOCTU) : 2  
POCATEK TISKU (KE KROKU TISKU) : 0  
BUDEME UKLADAT NA MGP? (ANO=1, NE=0) : 1  
ZADEJ UDaje PRO MGP :  
C. KOTOUCE : 035 CISLO MECHAN.: 8 POCAT. ADR.: 46000

KONST. REG.:  
K1= 0 K2= 0 K3= 0 K4= 0  
K5= 0,1759 K6= 0,033 K7= 0 K8= 0

ZES. REG.:  
K11= 0 K12= 0 K13= 0  
K14= 10000 K15= 0 K16= 0

CAS. KONST. AC (SEC) :  
T1= 1 T2= 2 T3= 3 T4= 4 TD1 (KE KROKU VYPOCTU)= 0  
T5= 0,0053 T6= 0,0047 T7= 0,016 T8= 0,0106 TD2 (KE KROKU VYPOCTU)= 18

POCET HOO NOT = 383 PRVNI VOLNA ADR. NA MGP : 53194

ULOZ DP SE ZAHĽAVIM DO SNI 1-PUSK

ZAHĽAVI TABULKY ULOZENO - OBSAZENO BUNEK : 202

SUBOR JE ULOZEN NA MGP : 8 OD ADRESY : 46000

POCET FUNKCI VE VYBERU (MAX 12) : 7  
ZVOL FUNKCE (1-12) : 11 12 13 14 16 9 10

KROK VYBERU (VZHLEDOM K ULOZENYM VETAM) : 1  
Y MIN= -,1575 Y MAX= 1,000  
MERITKO Y MIN= -,2 Y MAX= 1 RAD= 1

POCET VYTISTENYCH RADKU GRAFU : 383

Příloha D

Vzory vstupních dat pro tisk tabulek vypočtených hodnot

---

Příloha E

Vzory vstupních dat pro tisk grafických průběhů  
sledovaných veličin

D - 1

1	EPS 1	OMEGA1	LAMBDA1	F1	DX1	P1	Y1	BV	VV <sub>φ</sub>
2	EPS 2	OMEGA2	LAMBDA2	F2	DX2	P2	Y2	BV	VV <sub>φ</sub>

E - 1

1	2	3	4	5	6	7	8	9	
M1	EPSILON1	OMEGA1	LAMBDA1	F1	Y1	BV	VV	VV <sub>φ</sub>	

1	2	3	4	5	6	7	8	9	
M2	EPSILON2	OMEGA2	LAMBDA2	F2	Y2	BV	VV	VV <sub>φ</sub>	

1	2	3	4	5	6	7	8		
M1	EPSILON1	OMEGA1	LAMBDA1	F1	Y1	BV	VV <sub>φ</sub>		

1	2	3	4	5	6	7	8		
M2	EPSILON2	OMEGA2	LAMBDA2	F2	Y2	BV	VV <sub>φ</sub>		

1	2	3	4	5	6	7	8		
M2	EPSILON2	OMEGA2	LAMBDA2	DX2	BV	VV <sub>φ</sub>			

Příloha F

Ukázka tabulky vypočtených hodnot sledovaných veličin  
brzdného procesu

L L D E E I T G > C Z W P L L F L Z Z L C N K T C Z C F C

BP700F11 AUTOMOTIVE FIZZER SIV RISISTORI PER TUTTI I TIPI DI VETRI 7

۱۱ - ۷۲۰ : سیاست و اقتصاد

DATU VYPOCTI : 18.11.1974.  
 VYPOCTI FVODIT : TUP 2 - NOKRNU HCRVY DSRFAT (1 MM VONU) + DIRGEN, PHEN  
 VYPOCTI SISTEM : SISTEM SAVNCH-CLRFN-KEGH ACT 6 : LX=TPS+V.1-1-K2

THE JAPANESE IN CHINA 223

102 : *Wittgenstein and Wittgenstein*

"MATERIAL TESTIMONY" PROVIDED BY THE FEDERAL TRIBUNAL

FESTI-FESTI ATURU

THE JOURNAL OF CLIMATE

لعله ينفعكم: [العنوان](#)

UFF, ROZRÁM AR : A17= 1,00 nfp= 0,72

۱۰۰۱۰ : میرکوچیان

RPS MR 1 RPS 1 RPS 1 RPS 1

卷之三

• CCC452  
• CCCP10  
• CCC557  
• CCC790  
• CCC880  
• CCC155  
• CCC156

卷之三

THE JOURNAL OF CLIMATE

11750 11770 11780 11790 11800 11810 11820

CEES 51  
CEES 52

0.120 145970 102400 14600 109132  
0.120 171956 103455 14797 109132

0-180 123371 01970 04572F 0059P0  
0-180 12262 05693 04545F 0056S

THE JOURNAL OF CLIMATE

卷之三

卷之三

卷之三

卷之三

CC42E  
CC434

1970-71 1971-72 1972-73 1973-74 1974-75 1975-76 1976-77 1977-78 1978-79 1979-80



Příloha G

Ukázka grafických průběhů sledovaných veličin vozidla

卷之三

COMPARISON OF THE INFLUENCE OF VARIOUS POLYMERS ON THE CLEAVAGE OF CROWN ETHERS

THERMOELECTRICITY

110 TMI VYBORG : 4. 12. 1973

110 TMI VYBORG : 4. 12. 1973

UATIN VPOCTU : 4.12.1973 PNEU  
TRECI DVOJICE : TYP 2 - MORY SLEKY ASFAIT 11 MI. VODY ! DINGON.  
VADILANTA SCOUTA S AKRNIH CLENCHI-MGLACE 9 : UX=EPS-K-OMEGA-K?

PHCIT. RUCHIEST : 60 KIN/HOUR

BPZINN INFLUENZA VIRUS  
SNU-1

CAS-KONST. -C (SFC) 0,020  
UMR-KONST. 2070F (SFC) 0,020  
C-ABIC 0,020  
T-3 0,020  
T-3A 0,020  
T-3B 0,020

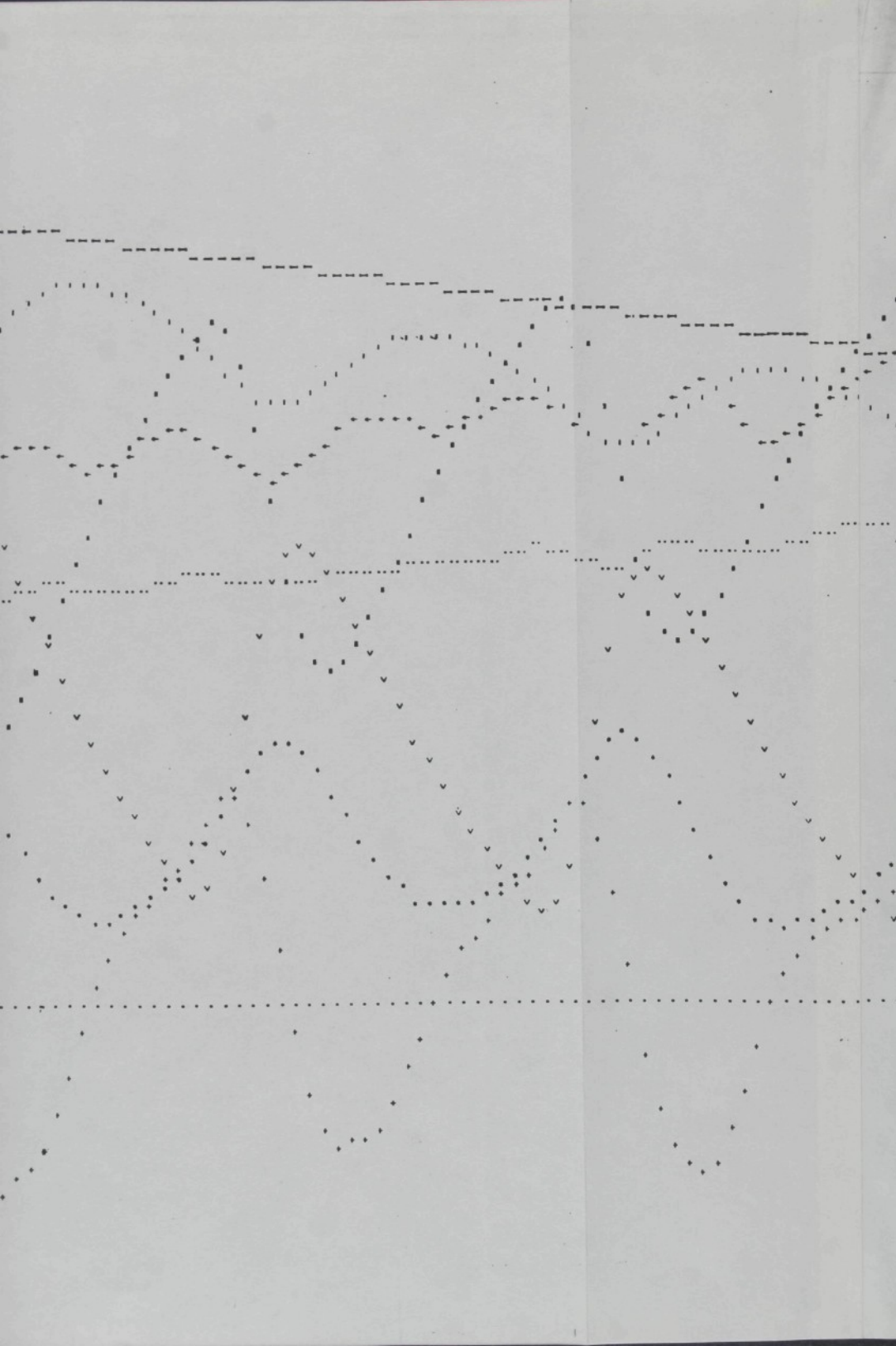
REF ID: A62501 SEC 1000 1960-01-01

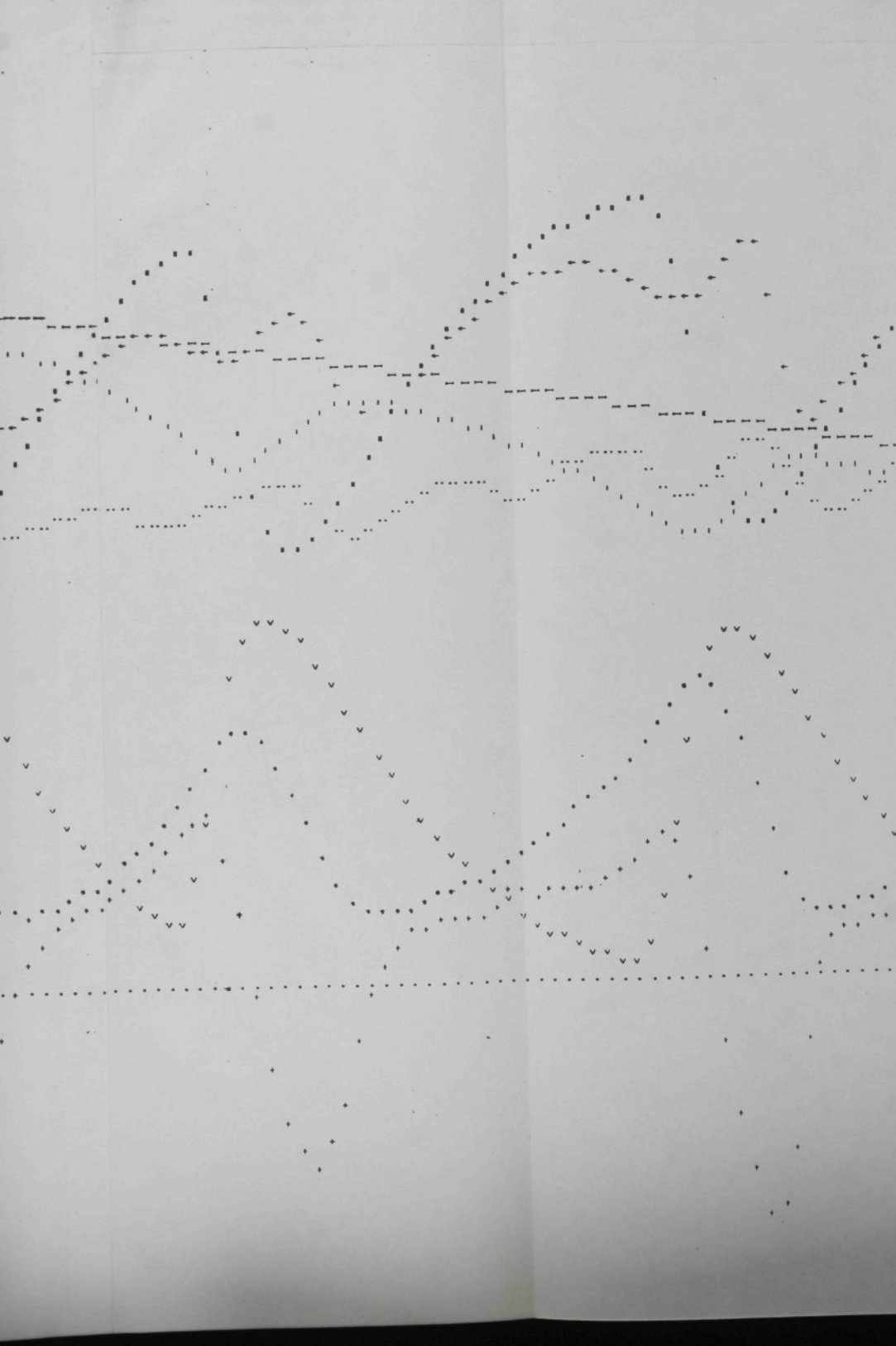
ARALI, WILHELM

† **GA'IN** **GUHNGCI** \*  
**1** **2** **3** **4** **5** **6** **7**  
**KA'** **GRG'TLNU2** **MTNGC2** **L.NHNGU2** **F2** **g2** **jv** **v**

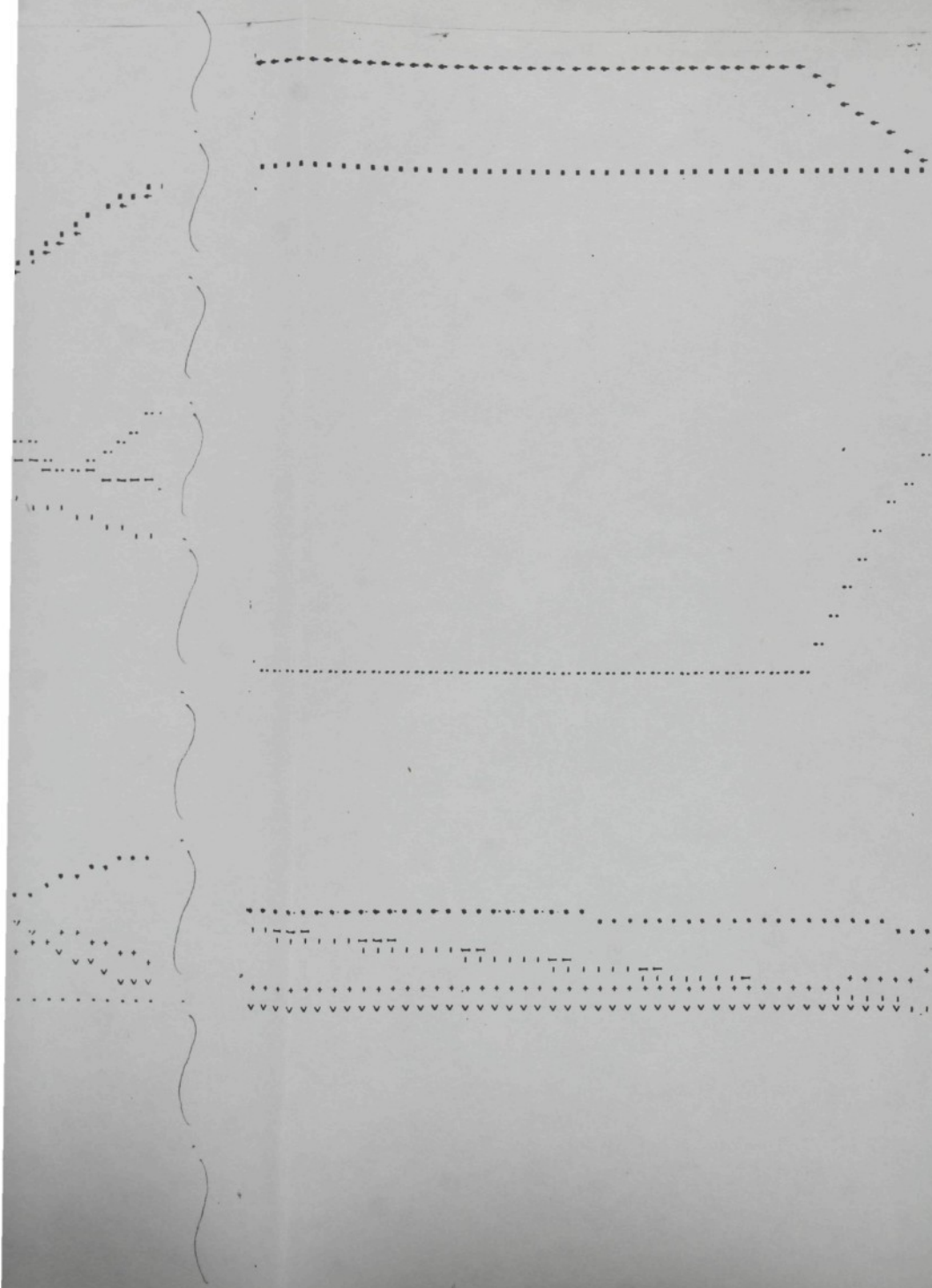
$\nu_{MAX} = 4500$

卷之三

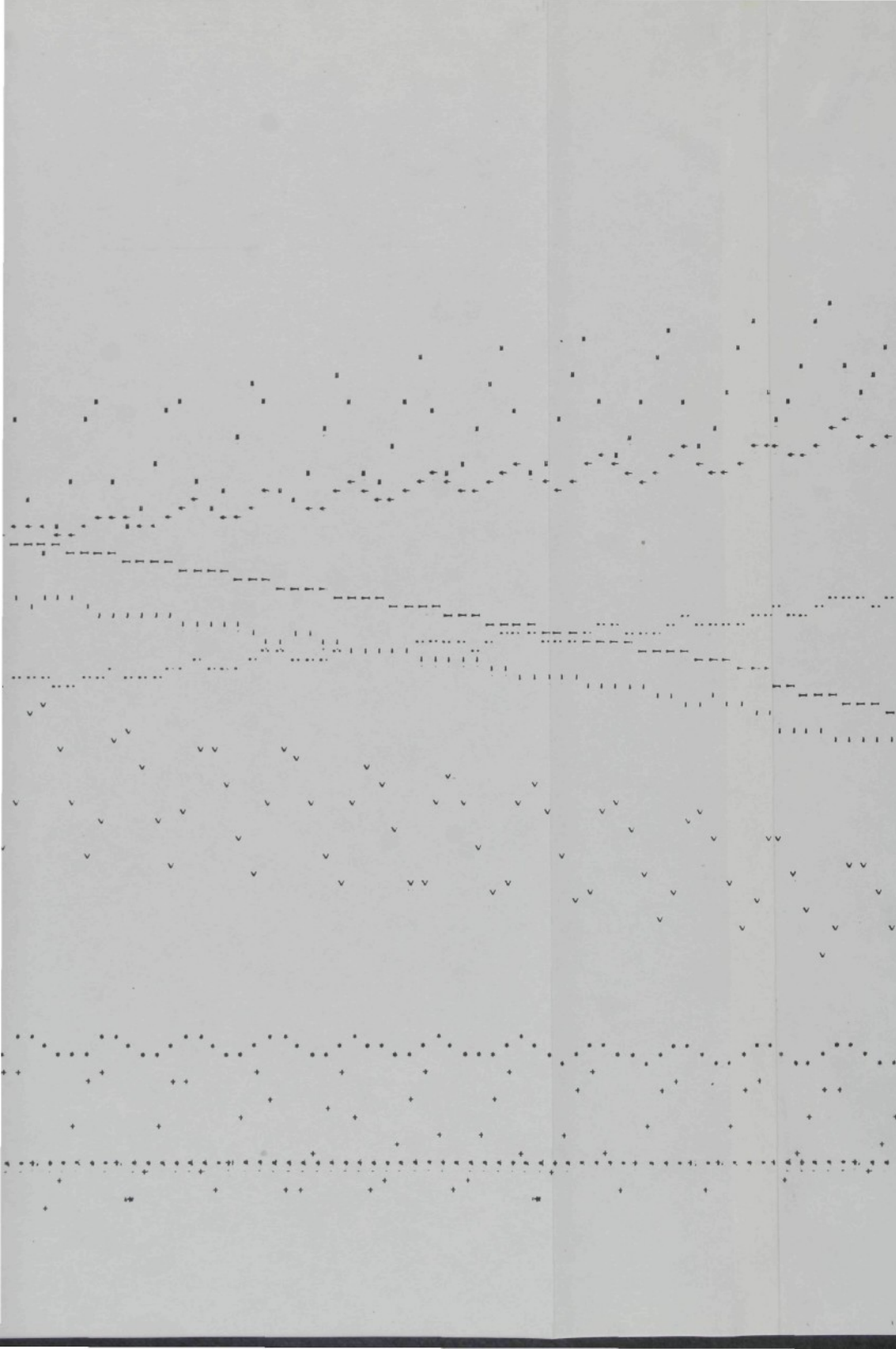




G - 1









G - 2

REPORT DATE: 10/16/94

NAME OF SOURCE: 2,300 SEC

DATA SET NUMBER: 00001 SFC

Příloha H

Výpis poslední verze programu simulace brzdění vozidla  
v jazyce MAT-4

::KVETEN 1974.  
::UKOL K3-62042 ::AUTOBRAZDY::  
::MINSK 22-AKCN1 CLEN CISLICOVE-DOPRAVN1 ZPOZDENI AC-PID REGULATOR  
::PROGRAM P 0160S-VERZE 7-SIMULACE BRZDENI AUTOMOBILU S REGULATOREM BRZONE SLY  
::TISK PRUBEZNE + UKLADANI NA MGP 112, 00 ADR 110 (PO 200 HODNOSTACH)  
::KONSTANTY K1-K8,K11-K18

QELA I(39):J(3):N(1):M(3):U(1)  
RAC X(12):Y(8):Z(14):L(20):V(35):F(335):D(25):S(3600):C(42):R(4):Q(8):W(6):B(14)  
RAC A(24):P(8):K(18):T(8):H(201)  
RUN RTISK:ALFA:EXP:MGP  
REF 85

1)KLIC 100:2} ::DATUM  
SKOK NA 3  
2)SNI 4 DER 4 RAD 3  
TEXT DATUM VYPOCTU :\* VST 010  
RAD  
  
3)SNI 1 DER 4 RAD ::PARAMETRY VOZIDLA  
VSTOP 121:15  
VSTOP 121  
CTI X\*X1\*X2  
X=X1-X2  
CTI A5\*A6\*A7\*A8  
CTI X4\*X5\*X6  
CKL 1=0:1:9  
CTI A161  
OPA 1  
CTI Q1\*Q2\*Q3\*Q4 ::NORMY  
Q=Q2/A5  
Q=Q2/A7  
Q=Q4/A6  
Q=Q4/A8  
X=X/2 X7=X7/X1 ::KONSTANTY VOZIDLA  
X=X6/9,X1 X8=X8,X7  
A1=X7,X3 A1=A1,A5  
A2=X7,X2 A2=A2,A7  
A3=X8,A5  
A4=X8,A7  
A5=9,X1  
A10=A9,X2  
A8=A9,X3  
A11=X6/X1  
A12=X7,X3 A12=A12,X4  
A13=X8,X4  
A14=X7,X2 A14=A14,X5  
A15=X8,X5  
A17=A17,Q4  
A18=A18,Q4 A18=A18/A16  
VSTOP 121  
RAD  
PUD 85 ::TYP REGULACE (INFORMACNI TEXT)  
M2V 0  
CKL 1=1:1:24  
M2V A1  
OPA 1  
M2V 0

4)SNI 2 DER 4 RAD ::CTENI PROKLUZ. CHARAKT.  
VSTOP D15:15  
VSTOP 015  
CTI N<sup>o</sup>M  
N1-N-1  
M1-M-1  
CYKL 1=0:1:N  
CTI L1  
L1=L1.0,01  
OPA I  
CYKL 1=0:1:M  
CTI VI  
OPA I  
JN,M  
CYKL 1=0:1:J  
CTI FI  
R=FI.0,0001  
OPA I  
VSTOP D15  
RAD

5)SNI 4 DER 4 RAD  
TEXT POCAT. RYCHLOST (KM/HOD): ☺ CTI R2 RAD  
JELI R2 SKOK NA 5:5:0  
XR2/3,6  
JELI X:VM1 SKOK NA 0:0:5  
TEXT BRZDNY MOMENT : ☺ CTI B4 B3-B4.Q4  
MEZ 3  
TEXT DOBA NABEHU (SEC): ☺ CTI C1 RAD  
SKOK NA 7  
TEXT RYCHL. JE VETSI NEZ VMAX U PROKLUZ. CHARAKT. ☺  
RAD  
SKOK NA 5

7)SNI 4 DER 4 RAD

TEXT KROK VYPOCTU (SEC):  $\Phi$  CTI C3  
RAD

TEXT KROK TISKU (KE KROKU VYPOCTU):  $\Phi$  CTI 15  
RAD

TEXT POCATEK TISKU (KE KROKU TISKU) :  $\Phi$  CTI 17  
17-15.17

RAD

TEXT BUDEM UKLADAT NA MGP? (ANO=1,NE=0):  $\Phi$  CTI 18 115=18 116=200 117=115,116  
RAD

JELI 18 SKOK NA 8:8:0

TEXT ZADEJ UDaje PRO MGP : $\Phi$  RAD

TEXT C. KOTOUCE :  $\Phi$  CTI 113 MEZ 5

TEXT CISLO MECHAN.:  $\Phi$  CTI 112 MEZ 5

TEXT POCAT. ADR.:  $\Phi$  CTI 110

RAD

8)SNI 4 DER 4 RAD

TEXT KONST. REG.:  $\Phi$

RAD

CYKL J=0:4:2

CYKL I=1:1:4

ZNT 62 ZNT 130(I+J) ZNT 15

ZNT 4

CTI K(I+J)

OPA I

RAD

OPA J

RAD

HODNOTA I(31:39)=29:25:16:10:1:21:28:12:3

9)SNI 4 DER 4 RAD

TEXT ZES. REG.: $\Phi$  RAD

TEXT K11=  $\Phi$  CTI K11 TEXT K12=  $\Phi$  CTI K12 TEXT K13=  $\Phi$  CTI K13

K17-K12/C3 RAD

TEXT K14=  $\Phi$  CTI K14 TEXT K15=  $\Phi$  CTI K15 TEXT K16=  $\Phi$  CTI K16

K18-K15/C3 RAD

D)D2-B3,C3 ::KONSTANTY VYPOCTU

D2-D2/C1

C-C3

D-C3/2

C5-A6/A5

D6-A8/A7

B-C3,A5

C10-C3,A7

RD 71 ::KONST.PRO AC

B)14=1 ::ZAHALVI PRO ULOZENI NA MGP A PRO UCHOVANI KRITERIALNICH VELICIN

SKOK NA 47

46)14=2 ::DER 3 NEBO DER 2

K11C 2:47

14=3

47) DER 14  
 RAD 5  
 SEPA 1  
 MEZ 15  
 TEXT AUTOMATIZACNI STREDISKO VSST LIBERE@  
 RAD 3  
 TEXT SIMULACE BRZDENI AUTOMOBILU S REGULATOREM BRZONE SILY NA CISLICOVEM POCITACI MINSK 22-VERZE 7@  
 RAD 2  
 TEXT TYP VOZIDLA : @ VYSTUP D21  
 RAD  
 MEZ 55  
 TEXT DATUM VYPOCTU : @ VYSTUP D10  
 RAD  
 MEZ 55  
 TEXT TRECI DVOJICE : @ VYSTUP D15  
 RAD  
 MEZ 55  
 TEXT VARIANTA : @ POD B5  
 RAD  
 TEXT POCAT. RYCHLOST :@ TISK R2,3:0 TEXT KM/HOD@  
 RAD  
 TEXT BRZDNY MOMENT :@ TISK B4,1:2 MEZ 5 TEXT DOBA NABEHU :@ TISK C1,1:1 TEXT SEC@  
 RAD 2  
 TEXT KONSTANTY ROVNICE REGULATORU :@ RAD  
 CYKL 1-1:1..8  
 ZNT 62 ZNT 130I ZNT 15  
 TISK K1,2:5  
 MEZ 2  
 OPA 1  
 RAD  
 TEXT ZESILENI REGULATORU :@ RAD  
 TEXT K11=@ TISK K11,5:3 MEZ 2 TEXT K12=@ TISK K12,2:5 MEZ 2 TEXT K13=@ TISK K13 MEZ 5  
 TEXT K14=@ TISK K14,5:3 MEZ 2 TEXT K15=@ TISK K15,2:5 MEZ 2 TEXT K16=@ TISK K16  
 RAD 2  
 TEXT CAS. KONST. AC (SEC) : @  
 CYKL 1-1:1..8  
 ZNT 33 ZNT 130I ZNT 15  
 TISK T1,1:3 MEZ 2  
 OPA 1  
 RAD  
 X=NORM M2 X=X\_C3  
 X1=NORM M3 X1=X1\_C3  
 TEXT DOPRAVNI ZPOZDENI SIGNALU Z AC (SEC) : TD1=@ TISK X,1:3 MEZ 3 TEXT TD2=@ TISK X1  
 RAD  
 TEXT REG. ROZSAH AC : A17=@ X=A17/Q4 TISK X,1:2 MEZ 2 TEXT A18=@ X=A18/Q4 TISK X  
 RAD 2  
 TEXT KROK VYPOCTU :@ TISK C3,1:4 TEXT SEC@  
 RAD 2  
 ZNT 5  
 TEXT CAS MB 1 BV VV EPS 1 OMEGA1 EPS 2 OMEGA2 LAMBDA1 LAMBDA2@  
 TEXT DX1 P1 Y1 DX2 P2 Y2@  
 RAD  
 CYKL 1=0:0..126  
 ZNT 15  
 OPA 1  
 ZNT 22  
 RAD  
 JEL 1 14:1 SKOK NA 0:46:0

Z) JELI 18 SKOK NA 21:21:0  
111=110+300

MGP 112 HLEDEJ ADR 111

Z) 11-0 ::POCATECNI HODNOTY PROMENNYCH

12=0

16=17

19=0

R-R2/3,6

R3=0

R4=1/3,6 ::PRO LETADLO R4=15/3,6

B=0

B9=0 B13=0

B10=0 B14=0

CYKL 1=0:1:15

Z=0

O P A I

W=F

W3=F W4=F

W5=0 W6=0

Y1=0 Y2=0

Y5=0 Y6=0

D4=0 D5=0

D8=0 D9=0

CYKL 1=0:1:202

H=0

O P A I

SKOK NA 34 ::VYPOCET V NULE

Z) 11=11+1 ::VYPOCET

Z1=Z3 Z2=Z4

W1=W3 W2=W4

P3=B

P5=B5 P6=B6

D6=D4 D7=D5

R1=R

X=B, C3

R-R1-X ::RYCHL. PREDBEZNE

JELI R SKOK NA 32:32:0

POD 72 ::VYPOCET YAC

POD 26 ::MN1,MN2=NASLAPOVY MOMENT

POD 22 ::MB1,MB2=SKUT. BRZDNY MOMENT

3.) CYKL U=0:1:2 ::ITERACE  
 U1=U+35  
 Z=Z1U  
 JELI Z:1 SKOK NA 58:0:0  
 POD U1  
 JELI P SKOK NA 54:54:0  
 64) P1=P P2=Z  
 Z=Z-0,05  
 POD U1  
 I9=I9+1  
 JELI P:P1 SKOK NA 0:54:64  
 JELI P SKOK NA 0:54:64  
 Y=Z  
 65) Z=Y+P2 Z=Z/2  
 POD U1  
 I9=I9+1  
 JELI P SKOK NA 38:54:0  
 P2=Z P1=P  
 SKOK NA 60  
 66) Z=Z+C  
 JELI Z:1 SKOK NA 37:37:0  
 Z=1  
 37) POD U1  
 P1=P  
 P2=Z  
 Z=Z-C Z=Z-C  
 JELI Z SKOK NA 0:38:38  
 Z=0  
 38) POD U1  
 X=P1-P  
 X1=P2-Z  
 A=X1/X  
  
 51) P1=P  
 D=A,F  
 D1=ABS D  
 JELI D1:0,0001 SKOK NA 54:54:0  
 Z=Z-D  
 JELI Z SKOK NA 0:53:52  
 Z=0  
 SKOK NA 53  
 52) JELI Z:1 SKOK NA 53:53:0  
 Z=1  
 53) POD U1  
 I9=I9+1  
 JELI Z:1 SKOK NA 59:0:0  
 JELI P SKOK NA 54:54:51  
 54) JELI Z SKOK NA 0:0:51  
 JELI P SKOK NA 51:0:0  
  
 55) Z3U=Z ::(66)8 - PUSTIT V PRIPADE, ZE SE ITERACE ZACYKLI - KLIC 1 ZAPNUT ::  
 WOU-W :: (NELZE VYROVNAT MOMENTY NA NAPRAVE V POZADOVANE PRESNOSTI 0,0001)  
 OPA U

POD 39  
 X=Y-B  
 X1=ABS X  
 VM B:Y ::BV  
 JELI 11 SKOK NA 33:33:0  
 X=B,P3  
 X,X,C4  
 R=R1-X ::RYCHLOST  
 JELI R SKOK NA 32:32:0  
 3)JELI X1:0,001 SKOK NA 28:28:0  
 JELI 19:100 SKOK NA 34:34:0 ::POJISTKA ITERACE BV  
 JELI 19:200 SKOK NA 0:0:28  
 X=B+Y  
 B=X/2  
 SKOK NA 34  
 2)JELI Z3:1 SKOK NA 17:0:0  
 B11=0  
 SKOK NA 18  
 1)X=1-Z3  
 X,X,R  
 B11-X/A5 ::OMEGA 1  
 B)JELI Z4:1 SKOK NA 19:0:0  
 B12=0  
 SKOK NA 56  
 B)X=1-Z4  
 X,X,R  
 B12-X/A7 ::OMEGA 2  
 5)POD 50 ::DX  
 P1=0 P2=0  
 JELI 11 SKOK NA 57:57:0  
 X=R1+R  
 X,X,C4  
 R3=R3+X ::DRAHA  
 X,D4+D6 ::REGULATOR PID  
 X,X,C4  
 D8=D8+X ::SUMA DX1,DT  
 X,D5+D7 X=X,C4 ::SUMA DX2,DT  
 X,D4-D6 X=X,K17  
 P1=D4+X  
 X,K13,D8  
 P1=P1+X P1=P1,K11 ::P1  
 X,D5-D7 X=X,K18  
 P2=D5+X  
 X,K16,D9  
 P2=P2+X P2=P2,K14 ::P2  
 POD 82 ::KITERIUM KVALITY REG.  
 5)MZV 11  
 MZV 19  
 I9=0  
 POD 45 ::TISK  
 SKOK NA 27  
 3)JELI 18 SKOK NA 48:48:0 ::KONEC VYPOCTU  
 MGP 112 ZAPIS Z S:12  
 MGP 112 ADRESA DO 111  
 MGP 112 HLEDEJ ADR 110

48) J=14  
 49) DER J RAD 2  
 13-16-17 13-13/15  
 X-NOR I1 T=X.C3 ::CAS  
 X-3,6.T R1=R2/X ::"BV"  
 TEXT OKAMZIK ZASTAVENI :> TISK T,2:3 TEXT SEC  
 MEZ 10  
 TEXT BRZONA DRAHA :> TISK R3,3:2 TEXT M  
 MEZ 10  
 TEXT STREDNI ZPOMALENI "BV":> TISK R1,1:3 TEXT M/SEC\*2  
 RAD 2  
 TEXT POCET HODNOT :> TISK 13,4  
 JELI 18 SKOK NA 24:24:0  
 RAD 2  
 TEXT UDAJE O SOUBORU NA MGP:>  
 RAD  
 TEXT C. KOTOUCE :> TISK 113,3 MEZ 5 TEXT CISLO MECHAN. :> TISK 112,2 MEZ 5  
 TEXT POCAT. ADR. :> TISK 110,5 MEZ 5 TEXT PRVNI VOLNA ADR. :> TISK 111,6  
 2) RAD 5  
 RAD 81 ::TISK KRITERIA  
 JELI J:1 SKOK NA 62:62:0  
 J1  
 SKOK NA 49  
 62) DER 4  
 RAD  
 TEXT POCET HODNOT :> TISK 13,4  
 JELI 18 SKOK NA 25:25:0  
 MEZ 5  
 TEXT PRVNI VOLNA ADR. NA MGP :> TISK 111,6  
 RAD 2  
 TEXT VLOZ DP SE ZAHLAVIM DO SNI 1-PUSK  
 25) RAD 2  
 63) STOP #77773331111  
 JELI 18 SKOK NA 63:63:0  
 MGP 112 HLEDEJ ADR 110  
 SNI 1  
 CYKL I=0:1:200  
 S1001=0  
 OPA 1  
 VSTUP S:5  
 KONTR I:J  
 S290-I15 ::POCET FUNKCI  
 S291-I3 ::POCET HODNOT  
 S292-C3 ::KROK VYPOCTU  
 S293-I5 ::KROK TISKU KE KROKU VYPOCTU  
 S294-I7 ::POCATEK TISKU KE KROKU VYPOCTU  
 S296-T ::OKAMZIK ZASTAVENI  
 S297-R3 ::BRZONA DRAHA  
 S298-R1 ::STREDNI ZPOMALENI  
 S299-I10 ::POC. ADR SOUBORU NA MGP  
 MGP 112 ZAPIS Z S:300  
 DER 4  
 TEXT ZAHLAVI TABULKY ULOZENO + OBSAZENO BUNEK :> TISK 1,3  
 RAD 2  
 SKOK NA 63

4) CYKL J=0:1:.M1 ::POD 40-VYPOCET PRILNAVOSTI  
 JELI R:V1J SKOK NA 41:41:0  
 (PA J  
 41) D1=V1J-VJ  
 CYKL J1=0:1:.N1  
 JELI Z:L1J1 SKOK NA 42:42:0  
 (PA J1  
 42) J3=J\_N  
 D=L1J1-LJ1  
 CYKL I=0:1:.2  
 $\lambda_F F_1(J_1+J_3)-F(J_1+J_3)$   
 $\lambda_X X/D$   
 $X_1 = Z - L J_1$   
 $\lambda_X X_1$   
 $X_3 I = X + F(J_1+J_3)$   
 $J_3 = J_3+N$   
 (PA I  
 $\lambda_X X_4 - X_3$   
 $\lambda_X X/D_1$   
 $X_1 = R - V J$   
 $\lambda_X X_1$   
 $\lambda_X X_3 + X$  ::PRILNAVOST  
 VCH

5) POD 40 ::POD 35-MOMENTY NA PREDNI NAPRAVE  
 $\lambda_A A_3, B$   
 $\lambda_A A_1, X$   
 $B_1 = X, W$  ::MT1  
 $\lambda_1 - Z$   
 $\lambda_B, X$   
 JELI I\_1 SKOK NA 65:65:0  
 $X_1 = Z - Z_1$   
 $X_1 = X_1.R$   
 $X_1 = X_1/C_3$   
 $\lambda_X X_1$   
 65) B5=X,C5 ::MS1  
 $B_7=A13,B$   
 $B_7=A12+B_7$  ::MV1  
 $P=B_1+B_5$   
 $P=P-B_7$   
 $P=P-B13$   
 VCH

5) POD 40 ::POD 36-MOMENTY NA ZADNI NAPRAVE  
 $\lambda_A A_4, B$   
 $\lambda_A A_2, X$   
 $B_2 = X, W$  ::MT2  
 $\lambda_1 - Z$   
 $\lambda_B, X$   
 JELI I\_1 SKOK NA 66:66:0  
 $X_1 = Z - Z_2$   
 $X_1 = X_1.R$   
 $X_1 = X_1/C_3$   
 $\lambda_X X_1$   
 66) B6=X,C6 ::MS2  
 $B_8=A15,B$   
 $B_8=A14+B_8$  ::MV2  
 $P=B_2+B_6$   
 $P=P-B_8$   
 $P=P-B14$   
 VCH

B) X=A9,W3 ::POD 39-VYPOCET B  
 X=A10,W4  
 X=X+X1  
 X1=W3-W4  
 X1=A11,X1  
 X=1-X1  
 Y=X/X1  
 VYCH

45) JELI 11:17 SKOK NA 61:0:0 ::POD 45-TISK+UKLADANI TABULKY NA MGP  
 JELI 11:16 SKOK NA 61:0:0  
 16=16+15  
 X1=B13/Q4 X2=B14/Q4 ::MB  
 X3=B5/Q4 X4=B6/Q4 ::EPSILON  
 X5=B11/Q5 X6=B12/Q6 ::OMEGA  
 X7=B/Q1 ::BV  
 X8=R/Q2 ::VV  
 KLIC 10:70) ::NEZADAN TISK  
 X=NORM 11  
 X=X,C3  
 TISK X,2:3  
 TISK X1,5\*X7\*X8\*X3\*X5\*X4\*X6\*Z3\*Z4\*D4\*P1\*H\*D5\*P2  
 SEPA 0  
 TISK H101  
 SEPA 1  
 RAD

70) JELI 18 SKOK NA 61:61:0 ::UKLADANI NA MGP  
 JELI 12:117 SKOK NA 0:30:30  
 S12-X1 S1012-X2 ::MB  
 S1112-X3 S1112-X4 ::EPSILON  
 S212-X5 S1212-X6 ::OMEGA  
 S312-Z3 S1312-Z4 ::LAMBDA  
 S412-W3 S1412-W4 ::F  
 S512-D4 S1512-D5 ::DX  
 S512-P1 S1612-P2 ::P  
 S712-Y1 S1712-Y2 ::Y  
 S812-X7 ::BV  
 S912-X8 ::VV  
 12=12+15  
 61)VYCH

3) MGP 112 ZAPIS Z S:117  
 12=0  
 KLIC 20:31)  
 SKOK NA 70  
 31) STOP #757575  
 SKOK NA 70

B1) RAD ::POD 81-TISK KRITERIA KVALITY REGULACE  
 TEXT KRITERIA KVALITY REGULACE ::  
 RAD  
 TEXT -----  
 RAD 3  
 X-NORM 114  
 X1=Z5/X X2=Z7/X X9=X1,X1 X2=X2-X9  
 X3=Z6/X X4=Z8/X X9=X3,X3 X4=X4-X9  
 X6=X,04 X7=X6,04  
 X8=Z13/X6 X10=Z11/X7 X5=X9,X9 X10=X10-X5  
 X11=Z14/X6 X12=Z12/X7 X5=X11,X11 X12=X12-X5  
 X5=W5/X X6=W6/X  
 X7=Z9/X X7=X7/C3 X7=X7/C3  
 X8=Z10/X X8=X8/C3 X8=X8/C3  
 TEXT "L1":: TISK X1,1:5  
 TEXT ROZPTYL SL1:: TISK X2,1:6  
 TEXT "STREDNI KVADR. DELTA L1":: TISK X7,2:5  
 TEXT "F1":: TISK X5,1:4  
 TEXT "MB1":: TISK X9,1:5  
 TEXT ROZPTYL SMB1:: TISK X10,1:6  
 RAD 3  
 TEXT "L2":: TISK X3,1:5  
 TEXT ROZPTYL SL2:: TISK X4,1:6  
 TEXT "STREDNI KVADR. DELTA L2":: TISK X8,2:5  
 TEXT "F2":: TISK X6,1:4  
 TEXT "MB2":: TISK X11,1:5  
 TEXT ROZPTYL SMB2:: TISK X12,1:6  
 RAD 3  
 CYKL I=0:0:.120 ZNT 24 OPA I  
 RAD 5  
 VYCH

B2) JELI R:R4 SKOK NA 83:83:0 ::POD 82-VYPOCET KRITERIALNICH VELOCIN KVALITY REGULACE  
 I14=11  
 Z5=Z5+Z3 Z6=Z6+Z4  
 X=Z3,Z3 Z7=Z7+X  
 X=Z4,Z4 Z8=Z8+X  
 X=Z3-Z1 X=X,X Z9=Z9+X  
 X=Z4-Z2 X=X,X Z10=Z10+X  
 W5=W5,W3 W6=W6,W4  
 Z13=Z13,B13 Z14=Z14,B14  
 X=B13,B13 Z11=Z11+X  
 X=B14,B14 Z12=Z12+X  
 B3)VYCH

B5) JELI B9:B3 SKOK NA 0:83:83 ::POD 26-NASLAPOVY MOMENT  
 B9=B9+D2 ::MN1  
 B10=B9/A16 ::MN2  
 JELI B9:B3 SKOK NA 83:83:0  
 B=B3  
 B10=B3/A16  
 VYCH

22) ::POD 22-SKUT. BRZDNY MOMENT  
 B13-A17.H ::MAC1  
 B13-B9-B13 ::MB1-SKUT.  
 JELI B13 SKOK NA 0:23:23  
 B13=0  
 23)B14=A18,H101 ::MAC2  
 B14-B10-B14 ::MB2-SKUT.  
 JELI B14 SKOK NA 0:83:83  
 B14=0  
 VYCH

71)SNI 4 DER 4 RAD ::POD 71-KONSTANTY AC=2.RAD,T1,T2-TD1,TD2=8.10.1973.  
 TEXT CAS. KONST. AC (SEC) :+ RAD  
 CYKL J=0:4::2  
 CYKL I=1:1::4  
 ZNT 33 ZNT 130(I+J) ZNT 15  
 ZNT 4  
 CTI T(I+J)  
 CPA I  
 I=J/4 I=I+1  
 TEXT TD+ ZNT 130I TEXT (KE KROKU VYPOCTU)-+ CTI M2(J/4)  
 RAD  
 CPA J  
 RAD  
 J=0 I=0  
 CYKL J1=0:0::2  
 CYKL I=I:2::2  
 T=T2I-T1I  
 X1=C3/T1I X1=EXP X1  
 X2=C3/T2I X2=EXP X2  
 X3=T2I/T X3=X3.X2 X=T1I/T X=X.X1 C12J=X3-X  
 C11J=I-C12J  
 X=X2-X1 C14J=X/T  
 X=T1I.T2I C13J=X.C14J  
 C15J=C14J  
 X3=T2I/T X3=X3.X1 X=T1I/T X=X.X2 C16J=X3-X  
 J=J+6  
 CPA I  
 I=4  
 J=J+8  
 CPA J1  
  
 MZV 0 MZV 0  
 CYKL J=0:20::2  
 CYKL I=0:1::12  
 MZV C11(I+J)  
 CPA I  
 MZV 0 MZV 0  
 CPA J  
 MZV 0 MZV 0  
 VYCH

72) CYKL I=0:1:2 : : POD 72-REALIZACE AC-TD1,TD2-8.10.1973.  
 J20.1  
 Y31-Y11  
 Y11-Y51  
 JELI P11 SKOK NA 0:0:78  
 P11--A211  
 JELI Y11 SKOK NA 76:76:0  
 73) P=P11+A231  
 XC17J.P  
 X1=C18J.Y31  
 X1=X.X1  
 XC19J.Y71  
 Y11=X1+X ::Y+  
 XC20J.P  
 X1=C21J.Y31  
 X1=X.X1  
 XC22J.Y71  
 Y51=X1+X ::Y+  
 JELI Y11 SKOK NA 0:75:76  
 Y11=0  
 75) Y51=0  
 76) P71=P11  
 OPA I  
 JELI M2 SKOK NA 67:67:0 :: DOPRAVNÍ ZPOZDENÍ  
 CYKL I=0:1:M2  
 H1-H11  
 OPA I  
 8) HM2=Y1  
 JELI M3 SKOK NA 68:68:0  
 CYKL I=0:1:M3  
 H1011-H1021  
 OPA I  
 8) H101M3=Y2  
 WCH  
  
 78) JELI P11:A191 SKOK NA 0:80:80  
 P11-P11-A211  
 JELI Y71 SKOK NA 73:0:79  
 JELI P11:P71 SKOK NA 73:76:0  
 79) P=P11-A231  
 XC11J.P  
 X1=C12J.Y31  
 X1=X.X1  
 XC13.Y71  
 Y11=X1+X ::Y-  
 XC14J.P  
 X1=C15J.Y31  
 X1=X.X1  
 XC16J.Y71  
 Y51=X1+X ::Y-  
 JELI Y11:1 SKOK NA 76:75:0  
 Y11=1  
 SKOK NA 75  
 80) P11-A191-A211  
 JELI Y11:1 SKOK NA 79:76:76

Příloha J

Výpis úprav podprogramů pro simulaci brzdění letadla

20) JELI 18 SKOK NA 21:21:0 ::UPRavy podprogramu pro verzi 7-LET (1.7.1981)  
 I11=1 10+300  
 MGP 112 HLEDEj ADR I11  
 21) I1=0 ::POCATECNI HODNOTY PROMENNYCH  
 I2=0  
 I6=17  
 I9=0  
 R= R2/3,6  
 R3=0  
 R4=15/3,6 ::ODSTAVENI REGULATORU PRI RYCHLOsti 15 KM/HOD  
 B=0  
 B9=0 B13=0  
 B10=0 B14=0  
 CYKL I=0:1:.15  
 ZI=0  
 OPA I  
 W=F  
 W3=F W4=F  
 W5=0 W6=0  
 Y1=0 Y2=0  
 Y5=0 Y6=0  
 D4=0 D5=0  
 D8=0 D9=0  
 CYKL I=0:1:.202  
 HI=0  
 OPA I  
 SKOK NA 34 ::VYPOCET V NULE

45) JELI 11:17 SKOK NA 61:0:0 ::POD 45-TISK+UKLADANI TABULKY NA MGP  
 JELI 11:16 SKOK NA 61:0:0  
 I6=16+15  
 X1=B13/Q4 X2=B14/Q4 ::MB  
 X3=B5/Q4 X4=B6/Q4 ::EPSILON  
 X5=B11/Q5 X6=B12/Q6 ::OMEGA  
 X7=R/Q1 ::BV  
 X8=R/Q2 ::VV  
 KLIK 10:70) ::NEZADAN TISK  
 X=NORM 11  
 X=X\_C3  
 TI SK X,2:3  
 TI SK X2,5\*X7\*X8\*X3\*X5\*X4\*X6\*X3\*24\*D4\*P1\*R\*D5\*F2 ::TISK X2-MB2 (BRZDNA POUZE ZADNI NAPRAVA)  
 SEPA 0  
 TI SK H101  
 SEPA 1  
 RAD

22) ::POD 22-SKUT. BRZDNy MOMENT  
 B13=0 ::MB1=0 (NEBRZDNA NAPRAVA)  
 23) B14=A13,H101 ::MAC2  
 B14=B10-B14 ::MB2-SKUT.  
 JELI B14 SKOK NA 0:93:83  
 B14=0  
 WCH

**Příloha K**

Výpisy podprogramů definic regulační odchylyky

5) JELI R:R4 SKOK NA 29:29:0 ::POD 50-VYPOCET DX1,DX2  
 $X_1=R,R$

CYKL 1=0:1:.2

$\Delta Z_1$   
 $\Delta L_4,1$

$X_2=R,B51 X_2=X2/A6J$

$X_3=B111,B$

$X_4=X_3$

JELI X SKOK NA 13:0:13

D41=1000 ::DX

SKOK NA 14

B) X2=X,C91

$X_4=W31-W1 X=X_1$

$X_4=X_2$

$X_4=K1J1,W31$

$X_4=X_4,Z31$

D41=X4-X ::DX

14)OPA 1

VYCH

2) D4=0 ::POD 29-ODSTAVENI REGULATORU

D5=0

VYCH

8) TEXT SOUSTAVA S AKCNIM CLENEM-VYKONA VYKONOVÁ REGULACE W-K1,M,L@

VYCH

START 1

5) JELI R:R4 SKOK NA 29:29:0 ::POD 50-VYPOCET DX1,DX2

$X_23=K1$

JELI X SKOK NA 0:13:13

D4=0

SKOK NA 14

B) D4=1000

14) X=Z4,K5

JELI X SKOK NA 0:15:15

D5=0

SKOK NA 16

E) D5=1000

16) VYCH

2) D4=0 ::POD 29-ODSTAVENI REGULATORU

D5=0

VYCH

8) TEXT SOUSTAVA S AKCNIM CLENEM-REGULACE 5 : DX-L-K1@

VYCH

START 1

5) JELI R:R4 SKOK NA 29:29:0 ::POD 50-VYPOCET DX1,DX2  
CYKL 1=0:1:.2

J4.!  
xK1J.Z31  
x+851/04  
xX1+X  
D41-X-K2J ::DX  
OPA I  
VYCH

2) D4=0 ::POD 29-ODSTAVENI REGULATORU  
D5=0  
VYCH

6) TEXT SOUSTAVA S AKCNIM CLENEM-REGULACE 6 : DX-EPS+K1,L+K2+  
VYCH

START 1

5) JELI R:R4 SKOK NA 29:29:0 ::POD 50-VYPOCET DX1,DX2  
CYKL 1=0:1:.2

J2.!  
J=4.!  
x851/A6J  
x-X-K1J  
JELI X SKOK NA 0:13:13  
xZ31-W2J1  
JELI X SKOK NA 0:13:13  
D41=0  
SKOK NA 14  
13) D41=1000  
14)OPA I  
VYCH

2) D4=0 ::POD 29-ODSTAVENI REGULATORU  
D5=0  
VYCH

6) TEXT SOUSTAVA S AKCNIM CLENEM-REGULACE 7 : TELDQX+  
VYCH

START 1

50) JELI R:R4 SKOK NA 29:29:0 ::POD 50-VYPOCET DX1,DX2  
CYKL 1=0:1:2

J4.1

X=Z31-Z11 X=Y/C3 X=X\_K1J

X=Z31+Y

D1=X-K2J ::DX

CFA 1

WCH

29) D4=0 ::POD 29-ODSTAVENI REGULATORU

D5=0

WCH

85) TEXT SOUSTAVA S AKCNIM CLENEM-REGULACE 8 : DX=L+K1.DL /DT-K2@  
WCH

START 1

50) JELI R:R4 SKOK NA 29:29:0 ::POD 50-VYPOCET DX1,DX2  
CYKL 1=0:1:2

J4.1

X=B111/Q51 X=K1J.X

X1=B51/Q4

X=X1-X

D1=X-K2J ::DX

CFA 1

WCH

29) D4=0 ::POD 29-ODSTAVENI REGULATORU

D5=0

WCH

85) TEXT SOUSTAVA S AKCNIM CLENEM-REGULACE 9 : DX=EPS-K1,OMEGA-K2@  
WCH

START 1

5) JELI R:R4 SKOK NA 29:29:0 ::POD 50-VYPOCET DX1,DX2=26.3.75.  
 K4=A6,C3 K8=A8,C3  
 CYKL I=0:1:.2  
 J4.1 K1 K2 (K4)  
 X851-P51 X=X,K4J X=X,K1J  
 D41-Z31-K2J D41=D41+X ::DX K5 K6 (K8)  
 OPA 1  
 VCH

2) D4=0 ::POD 29-ODSTAVENI REGULATORU  
 D5=0  
 VCH

6) TEXT SOUSTAVA S AKCNIM CLENEM-REGULACE 10 : DX=L+K1,(EPS)'-K2@  
 VCH

START 1

5) JELI R:R4 SKOK NA 29:29:0 ::POD 50-VYPOCET DX1,DX2=26.3.75.  
 K4=A6,C3 K8=A8,C3  
 CYKL I=0:1:.2  
 J4.1 K1 K2 (K4)  
 X851-P51 K5 K6 (K8)  
 JELI X SKOK NA 0:0:13  
 X0  
 SKOK NA 14  
 13;X=X,K4J X=X,K1J  
 14) D41-Z31-K2J D41=D41+X ::DX  
 OPA 1  
 VCH

2) D4=0 ::POD 29-ODSTAVENI REGULATORU  
 D5=0  
 VCH

6) TEXT SOUSTAVA S AKCNIM CLENEM-REGUL. 10A : DX=L+K1,(+EPS)'-K2@  
 VCH

START 1

5) JELI R:R4 SKOK NA 29:29:0 ::POD 50-VYPOCET DX1,DX2-25.3.75.

K4=A6.C3 K8=A8.C3

CYKL I=0:1:.2

J4..1

X=K1J.R X1=K2J.B111 X=X-X1

JELI X SKOK NA 0:13:13

X=B51-P51 X=X/K4J X=X-K3J

JELI X SKOK NA 0:13:13

D41+C

SKOK NA 14

13) D41+1000

14) OPA !

WCH

K1 K2 K3 (K4)

K5 K6 K7 (K8)

6) D4=0 ::POD 29-ODSTAVENI REGULATORU

D5=0

WCH

85) TEXT SOUTAVA S AKCNIM CLENEM-REGULACE 11 : DX=DL V D(EPS) \*♦

WCH

START 1

9) JELI R:R4 SKOK NA 29:29:0 ::POD 50-VYPOCET DX1,DX2-26.3.75.  
 CYKL 1=0:1:2  
 J4..1 J1..2..1  
 JELI D4I SKOK NA 0:0:13 K1 K2 K3 (K4)  
 X=B5I/A6J1  
 X1-K1J.B11I  
 X-X-X1 X=X-K2J K5 K6 K7 (K8)  
 JELI X SKOK NA 16:0:0  
 D4I=1000 K4J-B11I  
 SKOK NA 16  
 13) X=X3J.K4J X=B11I-X  
 JELI X SKOK NA 16:0:0  
 D4I=0  
 16)OPA !  
 WCH

2) D4=0 ::POD 29-ODSTAVENI REGULATORU  
 D5=0  
 WCH

5) TEXT SOUSTAVA S AKONIM CLENEM-REGULACE 12 : KUBRICHT 1@  
 WCH

START 1

9) JELI R:R4 SKOK NA 29:29:0 ::POD 50-VYPOCET DX1,DX2-26.3.75.  
 CYKL 1=0:1:2  
 J4..1 K1 K2 K3 K4  
 JELI D4I SKOK NA 0:0:13 X-K1J,R X1-K2J.B11I K5 K6 K7 K8  
 X-X-X1 JELI X SKOK NA 16:0:0  
 D4I=1000 SKOK NA 16  
 13) X=X3J.R X1=K4J.B11I  
 X-X-X1 JELI X SKOK NA 16:0:0  
 D4I=0  
 16)OPA !  
 WCH

2) D4=0 ::POD 29-ODSTAVENI REGULATORU  
 D5=0  
 WCH

5) TEXT SOUSTAVA S AKONIM CLENEM-REGULACE 13 : KUBRICHT 2@  
 WCH

START 1

5) JELI R;R4 SKOK NA 29:29:0 ::POD 50-VYPOCET DX1,DX2-27.6.1975.  
 JELI 11 SKOK NA 0:0:13  
 K3-K2/C3 K7-K6/C3  
 $\chi_{\text{K1..R}} \quad X1=A5..B11 \quad D4=X-X1 \quad K4=D4$  K1 K2 (K3) (K4)  
 $\chi_{\text{K5..R}} \quad X1=A7..B12 \quad D5=X-X1 \quad K8=05$  K5 K6 (K7) (K8)  
 SKOK NA 14  
 13) CYKL I=0:1:2  
 $J_{\text{2..1}} \quad J_{\text{1..4..1}}$   
 $\chi_{\text{K1J1..R}} \quad X1=A5J..B11$   
 $\chi_{\text{X..X1}}$   
 $X1=X-K4J1 \quad X1=X1..K3J1$   
 $D4I=X+X1 \quad ::DX$   
 $K4J1=X$   
 CPA 1  
 14) VYCH

6) D4=0 ::POD 29-ODSTAVENI REGULATORU  
 D5=0  
 VYCH

5) TEXT SOUSTAVA S AKCNIM CLENEM-REG. 14 : DX=(K1..VV-VK)+K2.(-) \*Φ  
 VYCH

START 1

5) JELI 11 SKOK NA 0:0:13 ::POD 50-VYPOCET DX1,DX2-27.6.1975.  
 $K=A7..B12$   
 $K7-K3..C3$   
 $\chi_{\text{K1..K}} \quad X1=A5..B11 \quad D4=X-X1 \quad K4=D4$  (K)  
 $\chi_{\text{K5..K}} \quad X1=A7..B12 \quad D5=X-X1 \quad K8=05$  K1 K2 K3 (K4)  
 SKOK NA 16  
 13) K=K-K7  
 $X1=A5..B11 \quad X2=A7..B12$  K5 K6 (K7) (K8)  
 JELI K:X1 SKOK NA 0:0:14  
 $K=X1$   
 14) JELI K:X2 SKOK NA 0:0:15  
 $K=X2$   
 5) JELI R;R4 SKOK NA 29:29:0  
 CYKL I=0:1:2  
 $J_{\text{2..1}} \quad J_{\text{1..4..1}}$   
 $\chi_{\text{K1J1..K}} \quad X1=A5J..B11$   
 $\chi_{\text{X..X1}}$   
 $X1=X-K4J1 \quad X1=X1..K2J1 \quad X1=X1/C3$   
 $D4I=X+X1 \quad ::DX$   
 $K4J1=X$   
 CPA 1  
 15) VYCH

6) D4=0 ::POD 29-ODSTAVENI REGULATORU  
 D5=0  
 VYCH

5) TEXT SOUSTAVA S AKCNIM CLENEM-REGULACE 15 : VIZ REG.14-\*VV\*Φ  
 VYCH

START 1

5) JELI R:R4 SKOK NA 29:29:0 ::POD 50-VYPOCET DX1,DX2=4.7.1975.  
 K4-K2/A6 K8-K6/AB  
 CYKL I=0:1:.2  
 $\downarrow$ 2.1 J1=4.1  
 $\times$ K1J1.R X1=A5J.B11| K1 K2 (K4)  
 $\times$ X-X1 K5 K6 (K8)  
 $\times$ X-K4J1.B51  
 $\downarrow$ 41-X+X1 ::DX  
 CPA 1  
 WCH

2) D4=0 ::POD 29-ODSTAVENI REGULATORU  
 D5=0  
 WCH

85) TEXT SOUSTAVA S AKCNIM CLENEM-REG. 14E : DX=(K1.VV-VK)+K2.EPS@  
 WCH

START 1

5) JELI I1 SKOK NA 0:0:13 ::POD 50-VYPOCET DX1,DX2=4.7.1975.  
 K0 K7-K3.C3  
 K4-K2/A6 K8-K6/AB  
 SKOK NA 16 (K)  
 13) K-K-K7  
 16) X1=A5.B11 X2=A7.B12 K1 K2 K3 (K4)  
 JELI K:X1 SKOK NA 0:0:14 K5 K6 (K7) (K8)  
 K:X1  
 14) JELI K:X2 SKOK NA 0:0:15  
 K:X2  
 15) JELI R:R4 SKOK NA 29:29:0  
 CYKL I=0:1:.2  
 $\downarrow$ 4.1  
 $\times$ K1J1.K X-X-X1  
 $\times$ X-K4J1.B51  
 $\downarrow$ 41-X+X1 ::DX  
 CPA 1  
 WCH

2) D4=0 ::POD 29-ODSTAVENI REGULATORU  
 D5=0  
 WCH

85) TEXT SOUST. S AKCNIM CLENEM-REG. 15E : DX=(K1."VV"-VK)+K2.EPS@  
 WCH

START 1

Příloha L

Výpis programu pro tisk tabulek vybraných  
veličin simulace

::1.10.1973.

::P-0160T-TISK VYBRANYCH FUNKCI Z MGP@UKOL K3-62042 ::AUTOBRDY@

CELA I(7):J(1):L(1):A(1):K(1):N(3):B(16):P(1)

RAC S(4095):C(6)

RUN RTISK:ALFA:MGP

REF 22

1)SNI 4 DER 4 RAD

TEXT SOUBOR JE ULOZEN NA MGP : \* CTI L MEZ 5

TEXT OD ADRESY : \* CTI A A1=A+300

RAD

2)MGP L HLEDEJ ADR A

MGP L CTI DO S:300

I2-S290 13=4095/12

N-S291 N1=I2.N

C3-S292

I5-S293

I7-S294

C5-S296

C6-S297

I-S299

JELI I:A SKOK NA 0:5:0

DER 4 RAD

TEXT CHYBNA ADRESA SOUBORU-ZADEJ JINOU ADRESU@

RAD

SKOK NA 1

5)SNI 4 DER 4 RAD

TEXT POSET FUNKCI VE VYBERU (MAX 12) : \* CTI 11 RAD

TEXT ZVOL FUNKCE (1-12) : \*

CYKL I=0:1:.11

CTI BI

OPA I

RAD

6)SNI 4 DER 4 RAD

TEXT KROK VYBERU (VZHLEDOM K ULOZENYM VETAM) : \* CTI K

K1=I2.K

I=I5.K

C1-NORM I

C1-C1.C3 ::CASOVY KROK VYBERU

7)SNI 4 DER 4 RAD

TEXT POCATEK VYBERU : \* CTI P P1=P..12

RAD

I=P..15 I=I+17

C=NORM I

C=C.C3 ::CAS POCATKU VYBERU

0)SNI 2  
 VSTUP S300  
 M)L1+2  
 KLC 2:12) ::DER 3 NEBO 2  
 L1+3  
 2)DER L1  
 WSTUP S  
 TEXT CAS MB ♦  
 VYSTUP S300  
 RAD  
 CYKL 1=0:0:.126  
 ZNT 15  
 OPA I  
 ZNT 22  
 RAD

16)I=A1+P1  
 Sc  
 J=0 16+0  
 MGP L HLEDEJ ADR I  
 N3=0  
 N2=N1  
 JELI N;13 SKOK NA 17:17:0  
 N2=13,I2  
 17)MGP L CTI DO S1:N2  
 B)JELI J:N2 SKOK NA 0:19:19  
 TISK S,2:3  
 CYKL 1=0:1:.11  
 J=J+B1  
 TISK SJ1,5  
 OPA I  
 RAD  
 SS+C1  
 J=J+K1  
 I6=I6+1  
 SKOK NA 18  
 B)J=J-N2  
 N3=N3+N2  
 I=N1-N3  
 JELI I SKOK NA 20:20:0  
 JELI I:N2 SKOK NA 0:17:17  
 N2=1  
 SKOK NA 17  
 2)DER L1 RAD 2  
 TEXT OKAMZIK ZASTAVENI :♦ TISK C5,2:3 TEXT SEC♦  
 MEZ 10  
 TEXT BRZONA DRAHA :♦ TISK C6,3:2 TEXT M♦  
 RAD 2  
 TEXT POCET VYBRANYCH HODNOT :♦ TISK I6,4  
 RAD 5  
 2)DER 4 RAD  
 TEXT POCET VYBRANYCH HODNOT :♦ TISK I6,4  
 RAD 2  
 2)STOP ♦777733331111  
 SKOK NA 1  
 START 1

Příloha M

Výpis programu pro tisk grafických průběhů vybraných  
veličin simulace

::2.10.1973.

::P-0160GR-MGP GRAF FUNKCI S VYBEREM PRI CTENI Z MGP  
 ::MAX 16 FUNKCI-BRZDENI   @UKOL K3-62042 @AUTOBZRZY@  
 ::KLIC 2 - DER 3 NEBO 2 (STEJNY RÖZMER)

::KLIC 10 - PRO VOLBU MERITKA NEZADANO ZJISTENI MIN A MAX HODNOTY

CELA 1(8):J(1):L(1):R(1):A(16):S(16):M(17):N(4):D(320):U(1):K(1)  
 RAC B(3):T(340):F(4095):X(16):Y(2):C(5):P  
 RUN RTISK:ALFA:MGP

REF 38

1)SNI 4 DER 4 RAD

TEXT SOUBOR JE ULOZEN NA MGP : \* CTI L MEZ 5

TEXT OD ADRESY : \* CTI A

RAD

2)MGP L HLEDEJ ADR A

MGP L CTI DO D:300

I2-D290 I3-4096/I2

N-D291 N1-I2.N

C3-D292

I8-D293

I7-D294

G5-D296

B3-D297

I-D299

JELI 1:A SKOK NA 0:11:0

DER 4 RAD

TEXT CHYBNA ADRESA SOUBORU-ZADEJ JINOU ADRESU@

RAD

SKOK NA 1

11)SNI 4 DER 4 RAD

TEXT POSET FUNKCI VE VYBERU (MAX 12) : \* CTI 11 RAD

TEXT ZVOL FUNKCE (1-12) : \*

CYKL 1-1:1:-1

CTI AI

JELI AI:I2 SKOK NA 12:12:0

DER 4 RAD

TEXT INDEX ZVOLENE FCE JE VETSI NEZ CELKOVY POSET FCI V TABULCE-ZADEJ NOVE FCE@

RAD

SKOK NA 11

12)AI-AI-1

JELI 1:1 SKOK NA 29:29:0

CYKL J-2:1:-1

JELI A(J-1):AI SKOK NA 13:0:13

DER 4 RAD

TEXT INDEX SE OPAKUJE-ZADEJ NOVA DATA@

RAD

SKOK NA 11

13)OPA J

2)OPA I

RAD

1) SNI 4 DER 4 RAD

TEXT KROK VYBERU (VZHLEDOM K ULOZENYM VETAM) :  $\oplus$  CTI K  
K1=12,K

I=A,B,K

C1=NORM 1

C1=C1,C3 ::CAS. KROK VYBERU

C,NORM 17

C,C,C3 ::CAS POCATKU VYBERU

6) SNI 2

VSTUP D300

16) KLIC 10:23) ::ZJISTENI MIN A MAX HODNOTY

B= $\oplus$ 7777777777777777

B1= $\oplus$ 7777777777777777

J=0

I=A+300

MGP L HLEDEJ ADR I

N3=0

N2=N1

JELI N1:N13 SKOK NA 17:17:0

N2=13,12

17) MGP L CTI DO F=N2

B) JELI J:M2 SKOK NA 0:21:21

CYKL I=1:1:-1 1

P=F(J+A1)

JELI B:P SKOK NA 0:19:19

B,P

8) JELI B1:P SKOK NA 20:20:0

B1,P

ZDOPA I

J,J,K1

SKOK NA 18

21) J=J-N2

N3=N3+N2

I=N1-N3

JELI I SKOK NA 22:22:0

JELI I:N2 SKOK NA 0:17:17

N2=1

SKOK NA 17

22) DER 4 RAD

MEZ 8

TEXT Y MIN= $\oplus$  TISK B1,4 MEZ 4

TEXT Y MAX= $\oplus$  TISK B

23) SNI 4 DER 4 RAD

TEXT MERITKO Y MIN= $\oplus$  CTI Y MEZ 4

TEXT Y MAX= $\oplus$  CTI Y1 MEZ 4

TEXT RAD= $\oplus$  CTI R

RAD

I=A+300

MGP L HLEDEJ ADR I

2) L1=2  
KLIC 2:26) ::DER 3 NEBO 2  
L1=3  
2) DER L1 RAD  
J126  
VYSTUP D  
RAD  
TEXT GRAF FUNKCI :  
VYSTUP D300  
RAD 2  
TEXT PRUBEHY Y TISTENY ZNAKY:  
MEZ  
TEXT Y1 2 3 4 5 6 7 8 9 10 11 12 13 14 15 16  
RAD  
MEZ 26 ZNT 15  
MEZ 2 ZNT 17  
MEZ 2 ZNT 24  
MEZ 2 ZNT 18  
MEZ 2 ZNT 5  
MEZ 2 ZNT 26  
MEZ 2 ZNT 14  
MEZ 2 ZNT 44  
MEZ 2 ZNT 55  
MEZ 3 ZNT 13  
MEZ 3 ZNT 19  
MEZ 3 ZNT 22  
MEZ 3 ZNT 11  
MEZ 3 ZNT 37  
MEZ 3 ZNT 52  
MEZ 3 ZNT 49  
RAD 2  
TEXT Y MIN.  
TIISK Y,4  
MEZ 70  
TEXT Y MAX.  
TIISK Y1  
RAD 3  
CYKL I=0:0:J  
TEXT .  
OPA I  
RAD  
2) R1=125  
XNORM R1  
Y2=Y1-Y  
Y2=X/Y2

2) DER L1

I=A+300

MGP L HLEDEJ ADR I

J=0 16=0

N3=0

N2=N1

JELI N:I3 SKOK NA 33:33:0

N2=13,I2

33) MGP L CTI DO F:N2

34) JELI J:N2 SKOK NA 0:35:35

CYKL I:0:I2,I1

X=F(J+A1)

OPA I

POD 3

16=15+1

J=J+K1

SKOK NA 34

35) J=J+N2

N3=N3+N2

I=N1-N3

JELI I SKOK NA 36:36:0

JELI I:N2 SKOK NA 0:33:33

N2=I

SKOK NA 33

36) DER L1 RAD 2

TEXT POCATEK TISKU GRAFU : TISK C,2:3 TEXT SEC MEZ 10

TEXT OKAMZIK ZASTAVENI : TISK C5 TEXT SEC MEZ 10

TEXT BRZDNA DRAHA: TISK B3,3:2 TEXT MEZ

RAD 2

TEXT POSET VYTISTENYCH RADKU GRAFU : TISK 16,4

RAD 5

37) DER 4 RAD

TEXT POSET VYTISTENYCH RADKU GRAFU : TISK 16,4

RAD 2

38) STOP #777733331111

SKOK NA 1

3) XI 1=0 ::POD 3-GRAF  
S=15  
S1=17  
S2=24  
S3=18  
S4=5  
S5=26  
S6=14  
S7=44  
S8=55  
S9=13  
S10=13  
S11=22  
S12=11  
S13=37  
S14=52  
S15=49  
S 1=7  
CYKL J1=0:1:-11  
P=XJ1-?  
P=P.Y2  
P=P+0.5  
M1J1=ENT P  
OPA J1  
4) I4=0  
CYKL J1=0:1:-11  
JELI M2J1:M1J1 SKOK NA 0:5:5  
VM M2J1:M1J1  
VM S1J1:SJ1  
I4=1  
5) OPA J1  
JELI I4 SKOK NA 0:0:4  
I4=0  
I5=0  
CYKL J1=0:1:-11  
JELI M1J1 SKOK NA 7:0:6  
JELI I4 SKOK NA 0:0:7  
I4=1  
ZNT SJ1  
SKOK NA 7  
6) JELI M1J1:R1 SKOK NA 0:0:7  
JELI I5 SKOK NA 0:0:9  
I5=1  
M=M1J1  
JELI I4 SKOK NA 8:8:0  
M=M-1  
SKOK NA 8  
9) M=M1J1-MJ1  
M=M-1  
8) JELI M SKOK NA 7:10:0  
MEZ M  
10) ZNT SJ1  
7) OPA J1  
RAD R  
VCH  
START 1

Příloha P

Přehled řešených rovnic a jejich realizace  
v programu simulace

Klaster	Veličiny	- Definice	$P_4$ úpravy neto zjednodušení	Interní realizace v programu	Poznámka
1	Demonstrativní moment na kotelech	$M_{T_1} + M_{S_1} - M_{V_1} - M_{B_1} = 0$ $M_{T_2} + M_{S_2} - M_{V_2} - M_{B_2} = 0$		$B1 + B5 - B7 - B13 = 0$ $B2 + B6 - B8 - B14 = 0$	
2	Součinitel pohybu	$\mu = F(\lambda, v_v)$ ... tabuľka	$F_1 = F(\lambda_1, v_v)$ $F_2 = F(\lambda_2, v_v)$		Líneárna interpolácia funkcie 2 premeničiek: $v \dots$ rýchlosť riezy $v_{ij}$ (m/s)z L... body z hromu $\lambda_i$ obdobie počítat a time, po ktorom $F \dots$ matice funktovali hodnot $F(\lambda_i, v_{ij})$ (vzameť m, n)
3	Následovný pravidlo moment	$M_{U_1}(t < t_B) = M_{U_1, \max} \cdot \frac{t}{t_B}$ $M_{U_1}(t \geq t_B) = M_{U_1, \max}$ $M_{U_2} = M_{N_1} \cdot \frac{t}{k_B}$	$M_{N_1}(j < \frac{t_B}{\Delta t}) = M_{U_1}(j) + M_{U_1, \max} \frac{\Delta t}{t_B}$ $M_{N_1}(j \geq \frac{t_B}{\Delta t}) = M_{U_1, \max}$ $M_{N_2} = M_{N_1} \cdot \frac{1}{k_B}$	$B9 = B9 + D2$ $B10 = \frac{B9}{A16}$	
4	Hodnot odvádzajúci akčiu členom	$M_{AC_1} = R_{AC_1} \cdot N_H \cdot V_1$ $M_{AC_2} = R_{AC_2} \cdot N_H \cdot V_2$		$B13 = A17 \cdot H1$ $B14 = A18 \cdot H101$	
5	Stavujúci pravidlo moment na kote	$M_{B_1} = M_{N_1} - M_{AC_1}$ $M_{B_2} = M_{N_2} - M_{AC_2}$		$B13 = B9 - B13$ $B14 = B10 - B14$	
6	Rovnice PID regulátora	$\dot{x}_1 = k_1 [Ax_1 + k_2 \cdot \frac{d(Ax_1)}{dt} + k_3 \cdot \int_{t_j}^t (Ax_1) dt]$ $\dot{x}_2 = k_4 [Ax_2 + k_5 \cdot \frac{d(Ax_2)}{dt} + k_6 \cdot \int_{t_j}^t (Ax_2) dt]$	$\dot{x}_1 = k_1 \left[ Ax_1 + k_2 \frac{\Delta x_1(j) - Ax_1(j-1)}{\Delta t} + k_3 \sum_{j=1}^N \frac{\Delta x_1(j) + Ax_1(j-1)}{2} dt \right]$ $\dot{x}_2 = k_4 \left[ Ax_2 + k_5 \frac{\Delta x_2(j) - Ax_2(j-1)}{\Delta t} + k_6 \sum_{j=1}^N \frac{\Delta x_2(j) + Ax_2(j-1)}{2} dt \right]$	$D8 = D8 + (D4 + D6) \cdot C4$ $P1 = KH \left[ D8 + K12 \cdot \frac{D8 - D6}{C3} + K13 \cdot D8 \right]$ $D9 = D9 + (D5 + D7) \cdot C4$ $P2 = K14 \left[ D5 + K15 \cdot \frac{D8 - D7}{C3} + K16 \cdot D9 \right]$	

Název veličiny	Definice	Přeponování nové zjednodušení	Interní realizace v programu	Poznámka
7 Transláční pohybů vozidla	$b_v = \frac{g \cdot \ell_2}{\ell} \cdot F(\lambda_1, v_v) + \frac{g \cdot \ell_1}{\ell} \cdot F(\lambda_2, v_v)$ $b_v = \frac{H_1 \cdot F_1 + H_2 \cdot F_2}{1 - H_3 \cdot (F_1 - F_2)}$	$b_v = \frac{H_1 \cdot F_1 + H_2 \cdot F_2}{1 - H_3 \cdot (F_1 - F_2)}$	$B = \frac{A9 \cdot W3 + A10 \cdot W4}{1 - A11 \cdot (W3 - W4)}$	- předěláný vzorec - přesné
8 Transláční rychlost vozidla	$v_v = v_0 - \int_{t_0}^{t_j} b_v \cdot dt$	$v_v(j) = v_0 - b_v(j-1) \cdot \Delta t$ $v_v(j) = v_0(j-1) - [b_v(j) + b_v(j-1)] \cdot \frac{\Delta t}{2}$	$R = R1 - B \cdot C3$ $R = R1 - (B + P3) \cdot C4$	- předěláný vzorec - přesné
9 úhlová rychlosť kola	$\omega_1 = \omega_0 - \int_{t_0}^{t_j} \varepsilon_1 \cdot dt = \frac{v_0(1-\lambda_1)}{r_{d_1}}$ $\omega_2 = \omega_0 - \int_{t_0}^{t_j} \varepsilon_1 \cdot dt = \frac{v_0(1-\lambda_2)}{r_{d_2}}$	$\omega_1 = \omega_0 - \int_{t_0}^{t_j} \varepsilon_1 \cdot dt = \frac{v_0(1-\lambda_1)}{r_{d_1}}$ $\omega_2 = \omega_0 - \int_{t_0}^{t_j} \varepsilon_1 \cdot dt = \frac{v_0(1-\lambda_2)}{r_{d_2}}$	$B11 = \frac{R \cdot (I - Z3)}{A5}$ $B12 = \frac{R \cdot (I - Z4)}{A7}$	
10 řídící kola	$\lambda = \frac{v_v - v_{d_v} \cdot w}{v_v}$		iterace Z3 iterace Z4	
11 Třecí moment obrátka pneumatiky	$M_{T_1} = \frac{G \cdot r_{d_1}}{2 \ell} \cdot (L_2 + \frac{b_v \cdot h}{g}) \cdot F_1(\lambda_1, v_v)$ $M_{T_2} = \frac{G \cdot r_{d_2}}{2 \ell} \cdot (L_1 - \frac{b_v \cdot h}{g}) \cdot F_2(\lambda_2, v_v)$	$M_{T_1} = (A1 + B1 \cdot b_v) \cdot F_1(\lambda_1, v_v)$ $M_{T_2} = (A2 - B2 \cdot b_v) \cdot F_2(\lambda_2, v_v)$	$B1 = (A1 + A3 \cdot B) \cdot W3$ $B2 = (A2 - A4 \cdot B) \cdot W4$	
12 Schraťovací moment kola	$M_{S_1} = \frac{I_1}{r_{d_1}} \left[ (1-\lambda_1) \cdot b_v + \frac{d\lambda_1}{dt} \cdot v_v \right] - I_1 \cdot \varepsilon_1$ $M_{S_2} = \frac{I_2}{r_{d_2}} \left[ (1-\lambda_2) \cdot b_v + \frac{d\lambda_2}{dt} \cdot v_v \right] - I_2 \cdot \varepsilon_2$	$M_{S_1} = C5 \left[ (1-\lambda_1) \cdot b_v + \frac{\lambda_1(j) - \lambda_1(j-1)}{\Delta t} \cdot v_v \right]$ $M_{S_2} = C6 \left[ (1-\lambda_2) \cdot b_v + \frac{\lambda_2(j) - \lambda_2(j-1)}{\Delta t} \cdot v_v \right]$	$B5 = C5 \cdot [(I - Z3) \cdot B + (Z3 - Z1) \frac{R}{C5}]$ $B6 = C6 \cdot [(I - Z4) \cdot B + (Z4 - Z2) \frac{R}{C6}]$	
13 Moment odporu valenční	$M_{V_1} = \frac{G}{2 \ell} \left( \ell_2 + \frac{h \cdot b_v}{g} \right) \cdot r_{C_1}$ $M_{V_2} = \frac{G}{2 \ell} \left( \ell_1 - \frac{h \cdot b_v}{g} \right) \cdot r_{C_2}$	$M_{V_1} = C1 + D1 \cdot b_v$ $M_{V_2} = C2 - D2 \cdot b_v$	$B7 = A12 + A13 \cdot B$ $B8 = A14 - A15 \cdot B$	

Název	veličiny	Definice	Definice	Pro úpravu násobek zjednodušení	Interní realizace v programu	Poznámka
14	Definice regulace odchyly:	$\Delta x = u - \frac{dF(\lambda, v_v)}{(E \cdot v_v - \omega \cdot b_v) \cdot v_v^2} \cdot v_v^2$	$\Delta x_1 = k_{21} \cdot F_1(j) \cdot \lambda_1 - \frac{F_1(j) - F_2(j-1)}{\Delta t} \cdot v_v^2$ $\Delta x_2 = k_{22} \cdot F_2(j) \cdot \lambda_2 - \frac{F_2(j) - F_2(j-1)}{\Delta t} \cdot v_v^2$	$D4 = k1 \cdot W3 \cdot Z3 - \frac{(W3-W1) \cdot R^2}{(A6 \cdot R - B1 \cdot B) \cdot C9}$ $D5 = k5 \cdot W4 \cdot Z4 - \frac{(W4-W2) \cdot R^2}{(A8 \cdot R - B12 \cdot B) \cdot C10}$		
Regulace 1	$\Delta x = \varepsilon - k_1$	$\Delta x_1 = \frac{H_{S1}}{N_H} - k_1$ $\Delta x_2 = \frac{H_{S2}}{N_H} - k_5$	$\Delta x_1 = \frac{H_{S1}(j)}{N_H} - k_1 \cdot \frac{H_{S1}(j) - H_{S1}(j-1)}{\Delta t} - k_2$ $\Delta x_2 = \frac{H_{S2}(j)}{N_H} - k_5 \cdot \frac{H_{S2}(j) - H_{S2}(j-1)}{\Delta t} - k_6$	$D4 = \frac{B5}{Q4} - k1 \cdot \frac{B5 - P5}{Q4 \cdot C3} - k2$ $D5 = \frac{B6}{Q4} - k5 \cdot \frac{B6 - P6}{Q4 \cdot C3} - k6$		
Regulace 2	$\Delta x = \varepsilon - k_1 \cdot \frac{d\varepsilon}{dt} - k_2$	$\Delta x_1 = k_1 \cdot F_1(j) - \left  \frac{dF(\lambda, v_v)}{dt} \right $ $\Delta x_2 = k_5 \cdot F_2(j) - \left  \frac{dF(\lambda, v_v)}{dt} \right $	$\Delta x_1 = k_1 \cdot F_1(j) - \frac{F_1(j) - F_1(j-1)}{\Delta t}$ $\Delta x_2 = k_5 \cdot F_2(j) - \frac{F_2(j) - F_2(j-1)}{\Delta t}$	$D4 = k1 \cdot W3 - ABS \frac{W3 - W1}{C3}$ $D5 = k5 \cdot W4 - ABS \frac{W4 - W2}{C3}$		
Regulace 3	$\Delta x = k_1 \cdot F(\lambda, v_v) - \left  \frac{dF(\lambda, v_v)}{dt} \right $	$\Delta x_1 = \frac{H_{S1}}{N_H} - k_1 \cdot b_v - k_2$ $\Delta x_2 = \frac{H_{S2}}{N_H} - k_5 \cdot b_v - k_6$	$\Delta x_1 = \frac{H_{S1}}{N_H} - k_1 \cdot b_v - k_2$ $\Delta x_2 = \frac{H_{S2}}{N_H} - k_5 \cdot b_v - k_6$	$D4 = \frac{B5}{Q4} - k1 \cdot B - k2$ $D5 = \frac{B6}{Q4} - k5 \cdot B - k6$		
Regulace 4	$\Delta x = \lambda - k_1$	$\Delta x_1 = \frac{H_{S1}}{N_H} + k_1 \cdot \lambda - k_2$ $\Delta x_2 = \frac{H_{S2}}{N_H} + k_5 \cdot \lambda - k_6$	$\Delta x_1 = \lambda_1 - k_1$ $\Delta x_2 = \lambda_2 - k_5$	$D4 = Z3 - k1$ $D5 = Z4 - k5$		
Regulace 5	$\Delta x = \varepsilon + k_1 \cdot \lambda - k_2$	$\Delta x_1 = \frac{H_{S1}}{N_H} + k_1 \cdot \lambda - k_2$ $\Delta x_2 = \frac{H_{S2}}{N_H} + k_5 \cdot \lambda - k_6$	$\Delta x_1 = \lambda_1 - k_1$ $\Delta x_2 = \lambda_2 - k_5$	$D4 = \frac{B5}{Q4} - k1 \cdot Z3 - k2$ $D5 = \frac{B6}{Q4} - k5 \cdot Z4 - k6$		
Regulace 6	$\Delta x = A \vee B$	$A_1 = \frac{H_{S1}}{I_1} - k_1$ $A_2 = \frac{H_{S2}}{I_2} - k_5$	$B_1 = \lambda_1 - k_2$ $B_2 = \lambda_2 - k_6$	$A_1 = \frac{B5}{A6} - k1$ $A_2 = \frac{B6}{A8} - k5$	$B_2 = Z3 - k2$ $B_2 = Z4 - k6$	$D4 = 0 \text{ nebo } D4 = 1000$ $D5 = 0 \text{ nebo } D5 = 1000$
Regulace 7	$A = 1 \quad \text{neut}$ $B = 1 \quad \text{neut}$					
TELIX						

<p><i>Regulace 8</i></p> $\Delta x = \lambda + k_1 \cdot \frac{d\lambda}{dt} - k_2$ $\Delta x_1 = \lambda_1(j) + k_1 \cdot \frac{\lambda_1(j) - \lambda_1(j-1)}{\Delta t} - k_2$ $\Delta x_2 = \lambda_2(j) + k_5 \cdot \frac{\lambda_2(j) - \lambda_2(j-1)}{\Delta t} - k_6$	$\Delta x_4 = Z_3 + R_1 \cdot \frac{Z_3 - Z_1}{C_3} - R_2$ $\Delta x_5 = Z_4 + R_5 \cdot \frac{Z_4 - Z_2}{C_3} - R_6$	
<p><i>Regulace 9</i></p> $\Delta x = \varepsilon - k_1 \cdot \omega - k_2$ $\Delta x_1 = \frac{M_{S1}}{N_H} - k_1 \cdot \frac{\omega_1}{N_H \omega_1} - k_2$ $\Delta x_2 = \frac{M_{S2}}{N_H} - k_5 \cdot \frac{\omega_2}{N_H \omega_2} - k_6$	$\Delta x_4 = \frac{B_5}{Q_4} - R_1 \cdot \frac{B_11}{Q_5} - R_2$ $\Delta x_5 = \frac{B_6}{Q_4} - R_5 \cdot \frac{B_12}{Q_6} - R_6$	

Název veličiny	- Definice	- Po uvedené metce zjednodušení	Interní realizace v programu	Předmět
15) Kritická' veličina b) průměrná dráha	$\bar{s} = \int_0^{t_2} v_y \cdot dt$ 	$s(j) = \lambda(j-1) + [v_y(j) + v_y(j-1)] \frac{\Delta t}{2}$	$R3 = R3 + (R + RI) \cdot C4$	
c) střední zpracování	$\bar{b}_y = \frac{v_y}{t_2}$	$R1 = \frac{R2}{3,6 \cdot T}$		
d) střední hodnota sloučené hodnot	$\bar{\lambda} = \int \lambda dt$	$\bar{\lambda}_1 = \frac{\sum_{j=1}^{n_R} \lambda_1(j)}{n_R}$ $\bar{\lambda}_2 = \frac{\sum_{j=1}^{n_R} \lambda_2(j)}{n_R}$	$X1 = \frac{Z5}{I14}$ $X3 = \frac{Z6}{I14}$	
e) rozptyl sloučených hodnot	$S_\lambda^2 = \frac{\int (1-\bar{\lambda})^2 dt}{t_R} = \frac{\int \lambda^2 dt}{t_R} - \bar{\lambda}^2$	$S_{\lambda_1}^2 = \frac{\sum_{j=1}^{n_R} \lambda_1^2(j)}{n_R} - \bar{\lambda}_1^2$ $S_{\lambda_2}^2 = \frac{\sum_{j=1}^{n_R} \lambda_2^2(j)}{n_R} - \bar{\lambda}_2^2$	$X2 = \frac{Z7}{I14} - (X1)^2$ $X4 = \frac{Z8}{I14} - (X3)^2$	
f) střední kvadratická změna sloučených hodnot	$\left(\frac{d\bar{\lambda}}{dt}\right)^2 = \frac{\int \left(\frac{d\lambda}{dt}\right)^2 dt}{t_R}$	$\left(\frac{d\lambda_1}{dt}\right)^2 = \frac{\sum_{j=1}^{n_R} [\lambda_1(j) - \lambda_1(j-1)]^2}{n_R \cdot \Delta t^2}$ $\left(\frac{d\lambda_2}{dt}\right)^2 = \frac{\sum_{j=1}^{n_R} [\lambda_2(j) - \lambda_2(j-1)]^2}{n_R \cdot \Delta t^2}$	$X7 = \frac{Z9}{I14 \cdot (C3)^2}$ $X8 = \frac{Z10}{I14 \cdot (C3)^2}$	
g) střední hodnota součinitelů přičítání	$\bar{F}(\lambda, v_y) = \frac{\int F(\lambda, v_y) \cdot dt}{t_R}$	$\bar{F}_1 = \frac{\sum_{j=1}^{n_R} F_1(j)}{n_R}$ $\bar{F}_2 = \frac{\sum_{j=1}^{n_R} F_2(j)}{n_R}$	$X5 = \frac{W5}{I14}$ $X6 = \frac{W6}{I14}$	

<p>h) střední poměrny bezdrátový moment</p> $\overline{N_B} = \frac{\int_0^{t_R} \frac{N_B}{N_H} \cdot dt}{t_R}$	$\overline{N_{B_1}} = \frac{\sum_{j=1}^{n_R} M_{B_1}(j)}{n_R \cdot N_H}$ $\overline{M_{B_2}} = \frac{\sum_{j=1}^{n_R} M_{B_2}(j)}{n_R \cdot N_H}$	$\chi 9 = \frac{Z13}{I14 \cdot Q_4}$ $\chi 11 = \frac{Z14}{I14 \cdot Q_4}$
<p>i) rozdíl poměrných bezdrátových momentů</p> $\Delta_{N_B}^2 = \frac{\int_0^{t_R} \left( \frac{N_B}{N_H} - \overline{N_B} \right)^2 dt}{t_R} = \frac{\int_0^{t_R} \left( \frac{N_B}{N_H} \right)^2 dt}{t_R} - \overline{N_B}^2$	$\Delta_{M_{B_1}}^2 = \frac{\sum_{j=1}^{n_R} M_{B_1}(j)^2}{n_R \cdot N_H^2} - \overline{M_{B_1}}^2$ $\Delta_{M_{B_2}}^2 = \frac{\sum_{j=1}^{n_R} M_{B_2}(j)^2}{n_R \cdot N_H^2} - \overline{M_{B_2}}^2$	$\chi 10 = \frac{Z11}{I14 \cdot (Q_4)^2} - (\chi 9)^2$ $\chi 12 = \frac{Z12}{I14 \cdot (Q_4)^2} - (\chi 11)^2$
<p>16 Počet aktuálního času (poměrny power)</p> $S = [P(j-1) - P_0 \cdot \text{sign } Y_{AC}(j-1) \cdot P_r]$ $Y_{AC}(j) = C_1 \cdot S + C_2 \cdot Y_{AC}(j-1) + C_3 \cdot \dot{Y}_{AC}(j-1)$ $\dot{Y}_{AC}(j) = C_4 \cdot S + C_5 \cdot Y_{AC}(j-1) + C_6 \cdot \ddot{Y}_{AC}(j-1)$	$Y1\oplus = C11 \cdot p + C12 \cdot Y3 + C13 \cdot Y7$ $\dot{Y}1\oplus = C14 \cdot p + C15 \cdot Y3 + C16 \cdot Y7$ $Y1\ominus = C17 \cdot p + C18 \cdot Y3 + C19 \cdot Y7$ $\dot{Y}1\ominus = C20 \cdot p + C21 \cdot Y3 + C22 \cdot Y7$ $Y2\oplus = C31 \cdot p + C32 \cdot Y4 + C33 \cdot Y8$ $\dot{Y}2\oplus = C34 \cdot p + C35 \cdot Y4 + C36 \cdot Y8$ $Y2\ominus = C37 \cdot p + C38 \cdot Y4 + C39 \cdot Y8$ $\dot{Y}2\ominus = C40 \cdot p + C41 \cdot Y4 + C42 \cdot Y8$	

Příloha R

Interní význam a použití proměnných v programech  
simulace (verze 7)

Interní význam a použití proměnných v programech simulace (verze 7)

A ... pracovní proměnná v iteračním cyklu

$$A1 \dots A_1 = \frac{G \cdot r_{d1} \cdot l_2}{2 \cdot l}$$

$$A2 \dots A_2 = \frac{G \cdot r_{d2} \cdot l_1}{2 \cdot l}$$

$$A3 \dots B_1 = \frac{G \cdot r_{d1} \cdot h}{2 \cdot l \cdot g}$$

$$A4 \dots B_2 = \frac{G \cdot r_{d2} \cdot h}{2 \cdot l \cdot g}$$

$$A5 \dots r_{d1}$$

$$A6 \dots I_1$$

$$A7 \dots r_{d2}$$

$$A8 \dots I_2$$

$$A9 \dots H_1 = \frac{g \cdot l_2}{l}$$

$$A10 \dots H_2 = \frac{g \cdot l_1}{l}$$

$$A11 \dots H_3 = \frac{h}{l}$$

viz výpočet  $M_T$

$$A12 \dots C_1 = \frac{G \cdot l_2 \cdot r_{c1}}{2 \cdot l}$$

$$A13 \dots D_1 = \frac{G}{g} \cdot \frac{h}{2 \cdot l} \cdot r_{c1}$$

$$A14 \dots C_2 = \frac{G \cdot l_1 \cdot r_{c2}}{2 \cdot l}$$

$$A15 \dots D_2 = \frac{G}{g} \cdot \frac{h}{2 \cdot l} \cdot r_{c2}$$

viz výpočet  $M_V$

A16 ...  $k_B$  - přebrzdění přední nápravy vzhledem k zadní

A17 ...  $R_{AC1}$   
A18 ...  $R_{AC2}$  } regulační rozsahy akčních členů

A19 ...  $k_{p1}$   
A20 ...  $k_{p2}$  } koef. přebytku síly elektromagnetů akčních členů

A21 ...  $P_{01}$   
A22 ...  $P_{02}$  } poměrné předpětí pružiny akčních členů

A23 ...  $P_{T1}$   
A24 ...  $P_{T2}$  } poměrná třecí síla při pohybu akčních členů

-----  
B ...  $b_V$  - translační zrychlení (zpoždění) vozidla (viz též P3)

B1 ...  $M_{T1}$   
B2 ...  $M_{T2}$  } třecí momenty kola

B3 ...  $M_{Nmax}$  - maximální hodnota nášlapového momentu

B4 ...  $\frac{M_{Nmax}}{N_M}$  - maximální poměrná hodnota nášlapového momentu [1]

B5 ...  $M_{S1} \sim \varepsilon_1$  (viz též P5)  
B6 ...  $M_{S2} \sim \varepsilon_2$  (viz též P6) } setrvačný moment kola

B7 ...  $M_{V1}$   
B8 ...  $M_{V2}$  } valivý moment kola

B9 ...  $M_{N1}$   
B10 ...  $M_{N2}$  } průběžná hodnota nášlapového momentu

B11 ...  $\omega_1$   
B12 ...  $\omega_2$  } úhlová rychlosť kola

B13 ...  $M_{AC1}, M_{B1}$   
B14 ...  $M_{AC2}, M_{B2}$  } moment akčního člena, skutečný brzdný moment

-----  
C ... počáteční krok pro výpočet  $\lambda$  v iteračním cyklu ( $C = C3$ )

C1 ...  $t_B$  - doba náběhu brzdrového momentu  $M_{N1}$  [sec]

C2 ... volné

C3 ... časový krok výpočtu [sec]

- C4 ...  $\frac{C3}{2}$  - konstanta pro numerickou integraci
- C5 ...  $\frac{I_1}{r_{d1}} = \frac{A_6}{A_5}$   
 C6 ...  $\frac{I_2}{r_{d2}} = \frac{A_8}{A_7}$
- } konstanty pro výpočet  $M_{si}$
- C7 ... } volné  
 C8 ... }
- C9 ...  $C3 A_5$   
 C10 ...  $C3 A_1$
- } konstanty pro výpočet jmenovatele  $\Delta x_i$   
 u výkonové regulace
- C11, C12, C13 ... výpočet  $Y_{AC1} +$   
 C14, C15, C16 ... výpočet  $Y_{AC1} +$   
 C17, C18, C19 ... výpočet  $Y_{AC1} -$   
 C20, C21, C22 ... výpočet  $Y_{AC1} -$
- } konstanty stavových vzorců,  
 viz rovnice /2.8/ až /2.16/
- C23, C24, C25 ... výpočet  $Y_{AC2} +$   
 C26, C27, C28 ... výpočet  $Y_{AC2} +$   
 C29, C30, C31 ... výpočet  $Y_{AC2} -$   
 C32, C33, C34 ... výpočet  $Y_{AC2} -$
- } konstanty stavových vzorců,  
 viz rovnice /2.8/ až /2.16/
- C35 až C42 ... rezerva (nevyužito)
- 
- D ... } pracovní při interpolaci a v iteračním cyklu  
 D1 ... }
- D2 ... časový přírůstek nášlapového momentu  $D_2 = B_3 \frac{C_3}{C_1}$
- D3 ... volné
- D4 ...  $x_1(j)$   
 D5 ...  $x_2(j)$
- } regulační odchylka v j-tém výpočtovém kroku
- D6 ...  $x_1(j-1)$   
 D7 ...  $x_2(j-1)$
- } regulační odchylka v předchozím výpočtovém kroku

$$\left. \begin{array}{l} D8 \dots \sum_0^j (D4 + D6) \cdot C4 \\ D9 \dots \sum_0^j (D5 + D7) \cdot C4 \end{array} \right\} \text{výpočet integrační složky regulátoru PID}$$

D10 až D14 ... datum výpočtu (ALFA - VSTUP)

D15 až D25 ... třecí dvojice, druh vozovky (ALFA - VSTUP)

---

F0 až F335 ... tabulka hodnot funkce přilnavosti  $F(\lambda, vv)$

H0 až H100 ... pracovní pro časový posuv (zpoždění) signálu z AČ1

H101 až H201 ... pracovní pro časový posuv (zpoždění) signálu z AČ2

---

I ... pracovní proměnná univerzální (nejčastěji proměnná v cyklu)

I1 ... počítadlo kroků výpočtu

I2 ... blokové počítadlo hodnot ukládaných na MGP

I3 ... počet vytištěných - uložených řádků tabulky I3 =  $\frac{I6 - I7}{I5}$

I4 ... číslo použitého výstupního zařízení (2 = DER2, 3 = ACPU)

I5 ... krok tisku ke kroku výpočtu

I6 ... itadlo pro okamžiky tisku

I7 ... počátek tisku ke kroku výpočtu

I8 ... rozhodovací konstanta pro ukládání na MGP (0 = NE, 1 = ANO)

I9 ... počet průchodů iteračním cyklem (kontrolní pro MZV)

I10 ... počáteční adresa souboru na MGP

I11 ... první volná adresa na MGP

I12 ... číslo mechaniky MGP

I13 ... číslo kotouče MGP

I14 ... nR - počet provedených výpočtových kroků do odstavení  
regulátoru (viz. kriteria kvality regulace)

I15 ... počet funkcí v tabulce na MGP (počet sloupců tabulky - 18)

I16 ... blokové počítadlo vět (řádků) tabulky v paměti

I17 ... I17 = I15 . I16 - velikost bloku v operační paměti počítače  
pro ukládání tabulky na MGP

I18 ... }  
 I19 ... } volné (nevyužito)  
 I20 ... }

I21 až I30 ... text pro typ vozidla (ALFA-VSTUP)

I31 až I39 ... desítkové hodnoty znaků číslic (1, 2, 3, ..., 9)

---

J ... }  
 J1 ... } pracovní v cyklech, v iteračním cyklu použity při  
 J2 ... } interpolaci hodnoty přilnavosti  
 J3 ... }

---

K0 až K8 ... konstanty v definicích regulační odchylky

K9 ... } voľné (rezerva)  
 K10 ... }

---

K11 ... zesílení P-složky regulátoru PID  
 K12 ... zesílení D-složky regulátoru PID  
 K13 ... zesílení I-složky regulátoru PID } přední náprava

K14 ... zesílení P-složky regulátoru PID  
 K15 ... zesílení D-složky regulátoru PID  
 K16 ... zesílení I-složky regulátoru PID } zadní náprava

K17 ...  $\frac{K12}{C3}$   
 K18 ...  $\frac{K15}{C3}$  } konstanty pro výpočet D-složky regulátoru PID

---

L0 až L20 ... body zlomu  $\lambda$  [0, 100]

---

M ... počet rychlostních řezů vv skluzové charakteristiky  $F(\lambda, vv)$

M1 ... (M-1) - počet rychlostních intervalů vv

M2 ... dopravní zpoždění signálu z akčního člena YAC1 ke kroku výpočtu

M3 ... dopravní zpoždění signálu z akčního člena YAC2 ke kroku výpočtu

---

N ... počet bodů zlomu  $\lambda$  v tabulce skluzové charakteristiky

N1 ... (N-1) - počet lineárních úseků v rychlostním řezu skluzové charakteristiky  $F(\lambda, vv)$

---

P ... pracovní v iteračním cyklu

P1 ... }      pracovní v iteračním cyklu, signál z regulátoru PID  
 P2 ... }

P3 ... bv(j-1) - paměť translačního zrychlení (zpoždění) vozidla

P4 ... volné (nevyužito)

P5 ... Ms1(j-1) ~  $\varepsilon_1(j-1)$  }      paměť setrvačníkového momentu kola  
 P6 ... Ms2(j-1) ~  $\varepsilon_2(j-1)$  }

P7 ... P1(j-1) }      poměrná síla urychlující píst akčního  
 P8 ... P2(j-1) }      člena v (j-1) kroku výpočtu

---

Q ... volné (nepoužito)

Q1 ... norma bv [m/sec<sup>2</sup>]

Q2 ... norma vv [m/sec]

Q3 ... norma s [m]

Q4 ... norma Ms [kpm]

$$Q5 \dots \frac{Q2}{r_{d1}} = \frac{Q2}{A5} - \text{norma } \omega_1 [1/\text{sec}]$$

$$Q6 \dots \frac{Q2}{r_{d2}} = \frac{Q2}{A7} - \text{norma } \omega_2 [1/\text{sec}]$$

$$Q7 \dots \frac{Q4}{I_1} = \frac{Q4}{A6} - \text{norma } \varepsilon_1 [1/\text{sec}^2]$$

$$Q8 \dots \frac{Q4}{I_2} = \frac{Q4}{A8} - \text{norma } \varepsilon_2 [1/\text{sec}^2]$$

R ... translační rychlosť vozidla v j-tém kroku  
 R1 ... translační rychlosť vozidla v (j-1) kroku (po výpočtu  $b_v$ )  
 R2 ... počáteční rychlosť vozidla  
 R3 ... brzdná dráha  
 R4 ... rychlosť pro odstavení regulátoru [m/sec]

---

S0 až S3600 ... pole (blok) pro ukládání tabulek na MGP (200 vět)

---

T ... pracovní, na konci výpočtu doba brzdění  $t_z$   
 T1 ... } časové konstanty akčního členu přední nápravy  
 T2 ... } pro pohyb dopředu  $(+)$  (odbržďování)  
 T3 ... } časové konstanty akčního členu přední nápravy  
 T4 ... } pro pohyb zpět  $(-)$  (přibržďování)  
 T5 ... } časové konstanty akčního členu zadní nápravy  
 T6 ... } pro pohyb dopředu  $(+)$  (odbržďování)  
 T7 ... } časové konstanty akčního členu zadní nápravy  
 T8 ... } pro pohyb zpět  $(-)$  (přibržďování)

---

U ... } pracovní proměnné iteračního cyklu  
 U1 ... }

---

V0 až V35 ... rychlostní řady  $v_v$  skluzové charakteristiky  $F(\lambda, v_v)$

---

W ... pracovní pro výpočet hodnoty přilnavosti  $\mu = F(\lambda, v_v)$   
 W1 ...  $\mu_1(j-1)$  } přilnavost v (j-1) kroku  
 W2 ...  $\mu_2(j-1)$  }  
 W3 ...  $\mu_1(j)$  } přilnavost v j-tém kroku  
 W4 ...  $\mu_2(j)$  }  
 W5 ...  $\Sigma W3$  } nápočty pro střední hodnotu přilnavosti  $\bar{\mu}$   
 W6 ...  $\Sigma W4$  }

---

X0 až X12 ... univerzální pracovní proměnné

$Y \dots$  pracovní pro výpočet  $bv$  v iteračním cyklu  
 $Y_1 \dots Y_{AC1}(j)$  } poměrný zdvih akčního členu v  $j$ -tém kroku  
 $Y_2 \dots Y_{AC2}(j)$   
 $Y_3 \dots Y_{AC1}(j-1)$  } poměrný zdvih akčního členu v  $(j-1)$  kroku  
 $Y_4 \dots Y_{AC2}(j-1)$   
 $Y_5 \dots \dot{Y}_{AC1}(j)$  } rychlosť zdvihu akčního členu v  $j$ -tém kroku  
 $Y_6 \dots \dot{Y}_{AC2}(j)$   
 $Y_7 \dots \dot{Y}_{AC1}(j-1)$  } rychlosť zdvihu akčního členu v  $(j-1)$  kroku  
 $Y_8 \dots \dot{Y}_{AC2}(j-1)$

---

$Z \dots$  pracovní při iteraci  
 $Z_1 \dots \lambda_1(j-1)$  } skluz v  $(j-1)$  kroku  
 $Z_2 \dots \lambda_2(j-1)$   
 $Z_3 \dots \lambda_1(j)$  } skluz v  $j$ -tém kroku  
 $Z_4 \dots \lambda_2(j)$   
 $Z_5 \dots \Sigma Z_3$  } nápočty pro střední hodnotu skluzu  $\bar{\lambda}$   
 $Z_6 \dots \Sigma Z_4$   
 $Z_7 \dots \Sigma Z_3^2$  } nápočty pro rozptyl skluzu  $S_{\lambda}^2$   
 $Z_8 \dots \Sigma Z_4^2$   
 $Z_9 \dots \Sigma (Z_3-Z_1)^2$  } nápočty pro střední kvadratickou změnu skluzu  
 $Z_{10} \dots \Sigma (Z_4-Z_2)^2$   
 $Z_{11} \dots \Sigma B_{13}$  } nápočty pro střední brzdový moment  $\bar{M_B}$   
 $Z_{12} \dots \Sigma B_{14}$   
 $Z_{13} \dots \Sigma B_{13}^2$  } nápočty pro rozptyl brzdového momentu  $S_{MB}^2$   
 $Z_{14} \dots \Sigma B_{14}^2$

Příloha S

Ukázka průběžného tisku vypočtených veličin při simulaci  
a tabulka kriteriálních hodnot

卷之三十一

ACAT, RUCHDST : 50 KMHOD  
 02Znay. HMEHT : 0,80 m/s NAFHII : 0,7 SFR  
 KUNSPONTI RYVNICE REGULATORY :  
 0,3000 K2 = 0,08200 Y3 = 0,00000 Y4 = 0,00000 Y5 = 0,33000 Y6 = 0,08700 K7 = C,00000 K8 = C,00000  
 KUNSPONTI REGULATORY :  
 0,11000,000 K12 = 0,00000 Y13 = 0,00000 Y14 = 0,00000 Y15 = 0,00000 Y16 = 0,00000  
 CAS. VORST. AC (SEC) : T1 = 0,020 T2 = 0,040 T3 = 0,020 T4 = 0,040 T5 = 0,020 T6 = 0,040 T7 = 0,020 T8 = 0,040  
 DOPRANNI ZPOMNI SIGNALU Z AC (SEC) : T1 = 0,05 T2 = 0,05 T3 = 0,05 T4 = 0,05 T5 = 0,05 T6 = 0,05 T7 = 0,05 T8 = 0,05  
 EG. ROZAH AC : T1 = 1,00 T2 = 0,72 T3 = 0,72 T4 = 0,72 T5 = 0,72 T6 = 0,72 T7 = 0,72 T8 = 0,72

PROBLEMS FOR GRADE 1 105

卷之三十一

PPVNI VRLLA ARPA : 43302